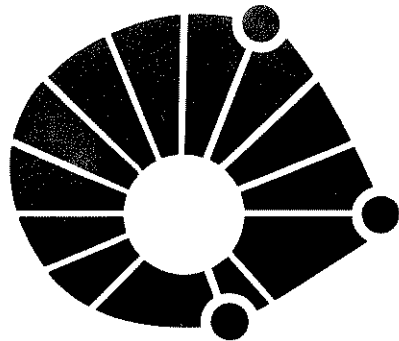


**ESTUDO DA NATUREZA  
DE COORDENAÇÃO  
POR ANÁLISE VIBRACIONAL  
DE COMPLEXOS DE SbCl<sub>5</sub>  
E LIGANTES  
O - E N - DOADORES**



# **UNICAMP**

**UNIVERSIDADE ESTADUAL DE CAMPINAS**  
**INSTITUTO DE QUÍMICA**

**ESTUDO DA NATUREZA  
DE COORDENAÇÃO  
POR ANÁLISE VIBRACIONAL  
DE COMPLEXOS DE  $SbCl_5$   
E LIGANTES  
O - E N - DOADORES**

**OSWALDO LUIZ ALVES**  
Tese de Doutoramento

**PROF. DR. YOSHITAKA GUSHIKEM**  
Orientador

**CAMPINAS**  
1977

**UNICAMP  
BIBLIOTECA CENTRAL**

AGRADECIMENTOS

- ao Prof. Dr. Yoshitaka Gushikem pela dedicada orientação e presença constante durante a realização deste trabalho;
- ao saudoso Prof. Dr. Jayr de Paiva Campello pela oportunidade de fazer parte do corpo docente do Instituto de Química,
- ao Prof. Dr. Yoshiyuki Hase pelas valiosas discussões e sugestões;
- aos Profs. Drs. Oswaldo Sala e Yoshio Kawano, do Laboratório de Espectroscopia Molecular (IQ-USP), pela gentileza em nos permitir usar o equipamento de Raman;
- aos colegas de trabalho, em especial aos Profs. Inez Valéria P. Yoshida e Celso U. Davanzo pelo incentivo e colaboração na obtenção de alguns especímenes;
- aos técnicos do Laboratório, Neusa e Rinaldo Moraes, e ao pessoal da vidaria, pelo atendimento às nossas solicitações;
- ao Sr. Willian Kalaf, pela presteza e excelente trabalho datilográfico;
- à FAPESP - Fundação de Amparo à Pesquisa do Estado de S.Paulo, pelas bolsas concedidas;
- à FINEP - Financiadora de Estudos e Projetos, pelo auxílio financeiro concedido.

*Aos meus pais, Oswaldo e Ney,  
pelos incentivos e sacrifícios.*

*A Agenor e Marietta, pelo carinho.*

A Zô, minha esposa, presença constante,  
que nos momentos de tormenta jamais  
permitiu que a nau perdesse o rumo.

ÍNDICE

1.	<u>INTRODUÇÃO</u>	1
1.a.	Preliminares.....	1
1.b.	Espectro Vibracional .....	13
1.c.	Objetivos.....	23
1.d.	Bibliografia .....	25
2.	<u>PARTE EXPERIMENTAL</u> .....	31
2.a.	Solventes .....	31
2.b.	Ligantes (sintetizados)	32
	Trifenilfosfinóxido (TTPO) .....	32
	Bisdimetilaminoclorofosfinóxido (DMAP) .....	32
	Bisclorodimetilaminofosfinóxido (DDP) .....	33
	Dimetilsulfona ( $DMSO_2$ ) .....	33
	Cloreto de Selenila ( $SeOCl_2$ ) .....	34
2.c.	Pentacloreto de Antimônio ( $SbCl_5$ ).....	36
2.d.	Preparação dos Complexos .....	40
2.e.	Espectros Infra-Vermelho .....	46
2.f.	Espectros Raman .....	48
2.g.	Bibliografia .....	50
3.	<u>ATRIBUIÇÃO DAS FREQUÊNCIAS</u> .....	52
3.a.	Preliminares .....	52
3.b.	Regras de Seleção .....	53
	Frequências Observadas e atribuições tentativa dos ligantes.....	59

Freqüências Observadas e atribuições tentativa dos complexos .....	75
3.c. Bibliografia.....	95
4. <u>ANÁLISE DE COORDENADAS NORMAIS</u> .....	97
4.a. Preliminares .....	97
4.b. Coordenadas Internas e Coordenadas de Simetria.	98
4.c. Campo de Força Molecular.....	101
4.d. Resultados .....	102
4.e. Bibliografia .....	128
5. <u>DISCUSSÃO E CONCLUSÃO</u> .....	130
5.a. Freqüências de Grupo.....	130
5.a.1. Ligantes contendo grupo $\rightarrow P=O$ .....	130
5.a.2. Ligantes contendo grupo $>C=O$ .....	137
5.a.3. Ligantes contendo $>S=O$ , $>Se=O$ e $SO_2$ ..	139
5.a.4. Ligantes contendo grupo $- C\equiv N$ .....	141
5.b. Influência dos ligantes sobre as freqüências de estiramento (SbCl) .....	144
5.c. Correlações entre constantes de força e poder doador dos ligantes .....	149
5.c.1. Ligantes O-doadores .....	149
5.c.2. Ligantes N-doadores .....	159
5.d. Conclusão .....	161
5.e. Bibliografia .....	162
6. <u>SUMÁRIO</u> .....	165
6.a. Sumário.....	165
6.b. Summary .....	166

**7. APÊNDICES**

Apêndice I .....	167
Espectro Raman dos complexos - Região de M-X	
Apêndice II .....	183
Espectro Infra-vermelho dos complexos - Região de M-X	

## 1. INTRODUÇÃO

O Antimônio (Sb), número atômico 51, juntamente com Fósforo, Arsênio, Bismuto e Nitrogênio constitue o grupo VB da tabela periódica. O Sb se combina com os halogênios dando origem a halatos dos tipos  $SbX_3$  ( $X = F, Cl, Br$  e  $I$ ) e  $SbX_5$  ( $X = F, Cl$  e  $I$ ). As propriedades de receptor de par de elétrons (ácido de Lewis) do  $SbCl_5$  são conhecidas há muito tempo sendo descrito na literatura química um número muito grande de complexos envolvendo uma extensa variedade de doadores de elétrons (bases de Lewis).

### 1.a. Preliminares

Segundo Lindqvist (1) a primeira descrição de complexos envolvendo  $SbCl_5$  foi feita em 1867 por Weber (2) usando  $POCl_3$  como ligante. Todavia, em trabalho publicado posteriormente, Webster (3) cita que o referido complexo foi primeiramente publicado em 1865 pelo mesmo autor (4).

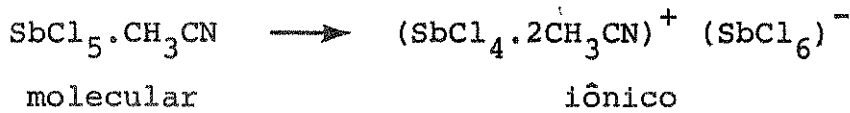
Pelo fato da literatura registrar duas competentes revisões feitas por Lindqvist e Webster, respectivamente em 1963 e 1965, torna-se a esta altura desnecessário apresentar aqui a relação dos complexos preparados até estas datas. Contudo cabe um comentário: de maneira geral, no período de 1860-1950, grande parte do interesse deste campo estava focalizada na preparação de compostos originais, os quais eram estabelecidos por análise química, pontos de fusão e medidas de condutividade. Até esta altura pouca atenção era dada aos aspectos de ligação química ou estrutura.

Nesta introdução faremos uma sucinta abordagem dos principais estudos realizados com estes complexos procurando ressal-

tar os resultados que julgamos de maior relevância, bem como relacionar os complexos originais preparados mais representativos. Estes complexos envolvem o  $SbCl_5$  e ligantes como fosforilas, carbonilas, selenilas, sulfóxidos, N-óxidos, nitrilas, etc., não cobertos pelas citadas revisões. Em separado faremos um histórico dos principais estudos onde a espectroscopia infra-vermelho ou Raman, ou ainda ambas, foram utilizadas na investigação destes complexos.

Na tabela 1.1 são apresentados os complexos, suas estequiometrias, como foram isolados e as respectivas referências bibliográficas.

Durante muito tempo, grande parte dos estudos efetuados com estes complexos foram feitos visando estabelecer o seu comportamento em solução. Através de medidas de condutividade Kolditz e col. (55,56) verificaram que o alto valor de condutividade do complexo  $SbCl_5 \cdot CH_3CN$  em solução de acetonitrila se devia a presença de uma espécie iônica. A variação da condutividade com o tempo mostrou que havia uma mudança do tipo:



Foram estudados vários sistemas e obtido um grande número de evidências experimentais de transferência de ions cloreto da molécula doadora (57,58,59,60).

Um número considerável de medidas calorimétricas foram feitas principalmente pelo grupo do Instituto de Química da Universidade de Uppsala (Suécia). Nestes trabalhos foi estudada a

Tabela 1.1

Sumário dos complexos mais representativos  
preparados após o ano de 1965.

Ligante	Razão $SbCl_5/L$	Isolamento	Referência
$(CH_3)_2N)_3PO$	1:1	sólido	5,6,7
$(C_6H_5)_3PO$	1:1	sólido	5,8,9
$C_6H_5F_2PO$	1:1	sólido	10
$(C_6H_5)_2ClPO$	1:1	sólido	10
$C_6H_5Cl_2PO$	1:1	sólido	10
$(C_2H_5O)_3PO$	1:1	solução	11
$CH_3OCl_2PO$	1:1	sólido	12
$(CH_3O)_2ClPO$	1:1	sólido	12
$(CH_3O)_3PO$	1:1	sólido	13
$Cl_3PO$	1:1	sólido	13
$CH_3NHCl_2PO$	1:1	sólido	14
$HCOOC_2H_5$	1:1	solução	15
$C_6H_5COOH$	1:1	solução	16
p- $CH_3-C_6H_4COOH$	1:1	solução	16
$(CH_3)_3-2,4,6-C_6H_2COOH$	1:1	solução	16
$C_6H_5CH=CHCOOH$	1:1	sólido	16
$HCON(CH_3)_2$	1:1	sólido	17
$(CH_3)CON(CH_3)_2$	1:1	solução	18,19
$(CH_3)_2NCON(CH_3)_2$	1:1	solução	18,20
$C_2H_5COCH_3$	1:1	sólido	21
$C_6H_5COCH_3$	1:1	sólido	21
$(C_6H_5)_2CO$	1:1	sólido	21
$H_2CO$	1:1	sólido	22
$C_6H_5CONH_2$	1:1	sólido	23
p- $CH_3O-C_6H_4COCl$	1:1	sólido	24
p- $CH_3-C_6H_4COCl$	1:1	sólido	24
$C_6H_5COCl$	1:1	sólido	24
$R-COOCH_2H_5$			
$R=CH_3, CH_3CH_2$	1:1	solução	25
$R=isopropil$	1:1	solução	25

Tabela 1.1 - continuação

Ligante	Razão $SbCl_5/L$	Isolamento	Referência
$R=ClCH_2, Cl_2CH, Cl_3$	1:1	solução	25
$(NH_2)_2CO$	1:1	sólido	23, 26
$(CH_3CO)_2O$	1:1	solução	27
$(CH_3)_2NHCONH(CH_3)$	1:1	solução	28
$(CH_3)_2NCOOC_2H_5$	1:1	solução	19
$(CH_3)_2NCONHCH(CH_3)_2$	1:1	solução	19
$(C_2H_5)_2CO$	1:1	solução	19
$(CH_3)_2NCOCCl_3$	1:1	solução	19
$RCONHCOR'$	1:1	sólido	29
$R=C_6H_5$			
$R'=C_6H_5, Me, Pr, Iso-But$			
$R=R'=Me$			
$RCONHCOR'$	2:1	sólido	29
$R=R'=Me, Pr, But, Iso-But,$ pentil, etc.			
$HCONH_2$	1:1	sólido	30
$HCONHCH_3$	1:1	sólido	30
$XCN, X=Cl, Br, I$	1:1	sólido	31
$HCN, DCN$	1:1	sólido	32
$RCN$	1:1	sólido	33
$R=C(CH_3)_3, CCl_3, C_6H_5,$ $C_2H_5, CH_2Cl$			
$CH_3CM$	1:1	sólido	34
$NC(CH_2)CN$	2:1, 1:1	sólido	33
$NC(CH_2)_2CN$	2:1	sólido	33
$NC(CH_2)_3CN$	2:1, 1:1	sólido	33
$NC(CH_2)_4CN$	2:1, 1:1	sólido	33
$(CH_3)_2SO$	1:1	sólido	17
$H_2O$	1:1	sólido	17, 35
$C_5H_5N$	1:1	sólido	36
$2-CH_3-C_5H_5N$	1:1	sólido	36
$C_5H_5NO$	1:1	sólido	5, 37
$2-CH_3-C_5H_4NO$	1:1	sólido	37
$3-CH_3-C_5H_4NO$	1:1	sólido	37

Tabela 1.1 - continuação

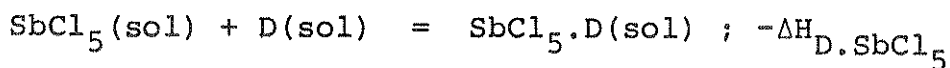
Ligante	Razão $SbCl_5/L$	Isolamento	Referência
$COCl_2$	1:1	líquido	38
$SO_3$	1:1	sólido	39
$SeOCl_2$	1:1	sólido	40
$SeO_3$	1:1	sólido	41
$SOCl_2$	1:1	líquido	42
$VOCl_3$	1:1	sólido	43
$C_2Cl_4O_2CO$	1:1	sólido	44
FASO	1:1	sólido	45
$(CH_3)_3NO$	1:1	sólido	46
$CH_3OH$	1:1	sólido	47
$C_6H_5CH=CHCOC_6H_4X$ (para)			
X= $CH_3O, CH_3, C_6H_5, H, Cl$	1:1	sólido	48
$C_6H_5COCH=CHC_6H_4X$ (para)			
X= $CH_3O, CH_3, C_6H_5, Cl$	1:1	sólido	48
$p-CH_3OC_6H_4CH=CHCOC_6H_4X$ (para)			
X= $CH_3O, CH_3, C_6H_5, Cl, NO_2$	1:1	sólido	48
$p-CH_3OC_6H_4COCH=CHC_6H_4X$ (para)			
X= $CH_3, C_6H_5, Cl, NO_2$	1:1	sólido	48
Benzantrona	1:1	solução	49
$C_7H_8(C_{14}H_{10}O)$			
Metil-antrona	1:1	solução	49
$CH_3(C_{14}H_{10}O)$			
Antrona	1:1	solução	49
$C_{14}H_{10}O$			
Nitroantrona	1:1	solução	49
$NO_2(C_{14}H_{10}O)$			
Naftaldeído $C_{10}H_7O$	1:1	sólido	50
Benzaldeído $C_7H_6O$	1:1	sólido	50
Salicáldeido $C_7H_6O_2$	1:1	sólido	50
Cinamaldeído	1:1	sólido	50
$C_6H_5CH=CHCHO$	1:1	sólido	50
Furaldeído $C_5H_4O_2$	1:1	sólido	50
Tetrahidrofurano $C_4H_8O$	1:1	sólido	51
Isatina $C_8H_5NO_2$	1:1	sólido	51

Tabela 1.1 - continuação

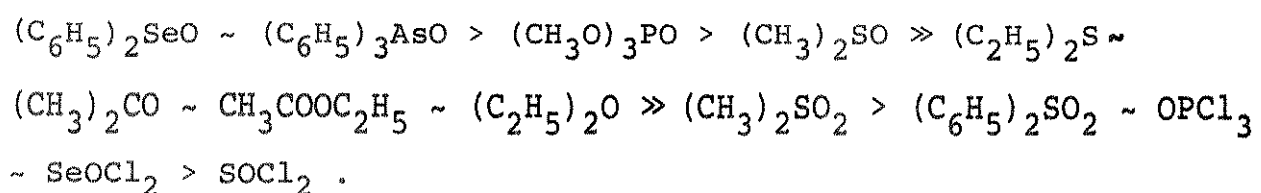
Ligante	Razão $SbCl_5/L$	Isolamento	Referência
Benzofenona $C_6H_5COC_6H_5$	1:1	sólido	51
Ftalimida $C_8H_5NO_2$	1:1	sólido	51
Coumarina $C_9H_6O_2$	1:1	sólido	51
Pivalato de Metila	1:1	solução	52
Gama-butirolactona	1:1	solução	52
Trifluoracetato de Metila	1:1	solução	52
1,2 carbonato de propanodiol	1:1	sólido	10
Dioxano	1:1	sólido	53
Quinolina	1:1	sólido	53
Oxalato de Dietila	2:1	sólido	54
Malonato de Dimetila	2:1	sólido	54
Malonato de Dietila	2:1	sólido	54
Succinato de Dietila	1:1	sólido	54
Adipato de Dietila	1:1	sólido	54
Adipato de Di-n-butila	1:1	sólido	54

Para os ligantes com maior grau de complexidade foram apresentados os seus nomes mais comuns e, em alguns casos, suas fórmulas.

reação (61, 62, 63, 64):



com uma grande variedade de D (doadores) em 1,2 dicloroetano. Estes estudos qualitativos serviram para indicar a seguinte ordem dos calores destas reações:



Gutmann e col. realizaram medidas calorimétricas quantitativas com um grande número de doadores usando o  $\text{SbCl}_5$  como receptor de referência em 1,2 dicloro-etano (10, 65, 66). Para alguns equilíbrios os valores foram obtidos através de medidas espectrofotométricas ou de Ressonância Nuclear Magnética sendo observada uma linearidade entre  $-\Delta H_{\text{D.SbCl}_5}$  e  $K_{\text{D.SbCl}_5}$  (onde  $K_{\text{D.SbCl}_5}$  é igual a constante de formação do  $\text{SbCl}_5 \cdot \text{D}$ ). Foram feitas outras medidas usando-se como receptor  $\text{SbCl}_3$ ,  $\text{I}_2$ ,  $\text{SbBr}_3$ ,  $(\text{CH}_3)_3\text{SnCl}$  e fenol. De posse de todos estes resultados Gutmann definiu o "donor number" para a molécula D como sendo a quantidade numérica do valor de  $-\Delta H_{\text{D.SbCl}_5}$  (67)

$$D_{\text{N.SbCl}_5} \equiv -\Delta H_{\text{D.SbCl}_5}$$

Segundo Gutmann (68) o "donor number" é, aproximadamente, uma propriedade molecular do doador (D), a qual é facilmente determinada experimentalmente (Tabela 1.2). Considera ainda que apesar desta medida ser semi-quantitativa ela expressa a quantidade total da interação do receptor com o doador, incluindo tanto a contribui-

Tabela 1.2

"Donor Number" de alguns ligantes

Molécula (D)	$D_{NSbCl_5}$ (68)
1,2 dicloroetano	-
Cloreto de sulfurila	0,1
Carbonato de tetracloroetileno(44)	0,2
Cloreto de tionila	0,4
Cloreto de acetila	0,7
Cloreto de benzoila	2,3
Nitrometano	2,7
Nitrobenzeno	4,4
Anidrido acético	10,5
Tricloreto de fosforila	11,7
Benzonitrila	11,9
Cloreto de selenila	12,2
Dimetilsulfona(44)	~13,5-14,0
Acetonitrila	14,1
Sulfolano	14,8
Carbonato de 1,2 propanodiol	15,1
Cianeto de benzila	15,1
Sulfito de etileno	15,3
Iso-butironitrila	15,4
Propionitrila	16,1
Carbonato de etileno	16,4
Difluoreto do ácido fenilfosfônico	16,4
Acetato de metila	16,5
N-butironitrila	16,6
Acetona	17,0
Acetato de etila	17,1
H <sub>2</sub> O	18,0
Dicloreto do ácido fenilfosfônico	18,5
Éter dietílico	19,2
Tetrahidrofurano	20,0
Cloreto do ácido difenilfosfinico	22,4
Trimetilfosfato	23,0
Tributilfosfato	23,7
NNDimetilformamida	26,6
NNDimetilacetamida	27,8
Tetrametiluréia	29,6
Dimetilsulfóxido	29,8
NNdietilformamida	30,9
NNdietilacetamida	32,2
Trifenilfosfinóxido(44 )	32,5
Trimetilfosfinóxido(44)	~33,0
Piridina	33,1
Hexametilfosforamida	38,8

Os ligantes seguidos por um número não constam da tabela da referência (68), sendo provenientes de outras referências.

ção devida a interação dipolo-dipolo, a ion-dipolo quanto ainda os efeitos causados pela disponibilidade do par de elétrons livres.

Jain e Soundararajan (69) realizaram medidas de momento dipolar de complexos de pentacloreto de antimônio com uma série de ligantes contendo diferentes grupos funcionais, em benzeno. Estes autores concluiram que, para complexos com estequiometria 1:1, existe uma dependência entre o momento dipolar e a polaridade dos ligantes cujo átomo doador é o oxigênio. Paul e col. (26,27) também realizaram medidas de momento dipolar para os mais diferentes sistemas.

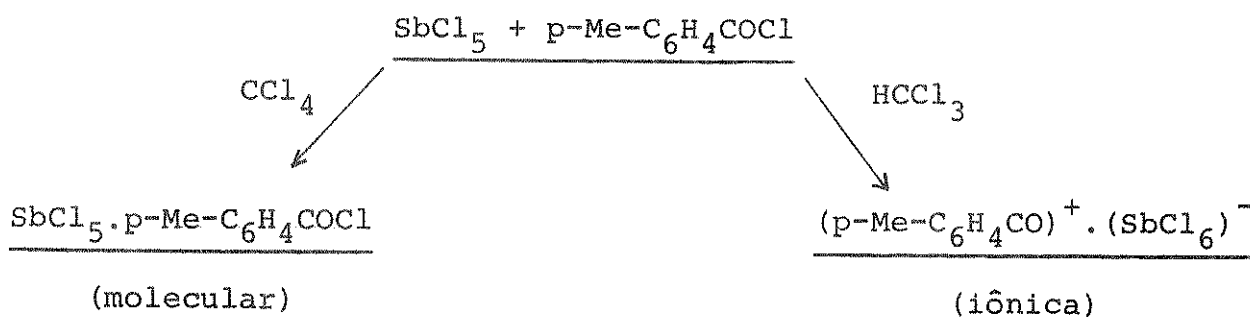
As medidas de Raio-X foram de inestimável valia na determinação do oxigênio como átomo doador no complexo  $SbCl_5 \cdot POCl_3$  nos idos de 1955. A esta altura havia uma controvérsia sobre a ligação no referido composto. A interação seria via átomo de oxigênio do oxihaleto, dando o complexo molecular, ou via doação de um íon cloreto dando a espécie  $(OPCl_2^+ \cdot SbCl_6^-)$  (70,71,72). A determinação da estrutura molecular mostrou que a primeira hipótese era a correta à semelhança de outros compostos similares posteriormente estudados. Apesar da grande quantidade de complexos moleculares envolvendo  $SbCl_5$ , ainda é bem pequeno o número de estruturas determinadas por esta técnica. Na tabela 1.3 apresentamos um sumário dos resultados publicados. Cabe destacar aqui um resultado interessante. Chevrier e col. (73) mostraram que quando da reação de cloreto de p-toluíla com  $SbCl_5$ , dependendo da polaridade do solvente empregado, poderíamos ter a formação de duas espécies bem definidas, ou seja:

Tabela 1.3

Estruturas de Raio -X determinadas

Complexo SbCl <sub>5</sub> .L	Grupo Espacial	Z	Referência
SbCl <sub>5</sub> .POCl <sub>3</sub>	Pnma	4	74, 75, 76
SbCl <sub>5</sub> .TMPO	Pnma		74, 77
SbCl <sub>5</sub> .S <sub>4</sub> N <sub>4</sub>	P2 <sub>1</sub> /c	4	78
SbCl <sub>5</sub> .DPSO			1, 79
SbCl <sub>5</sub> .DMSO <sub>2</sub>			1
SbCl <sub>5</sub> .DMF	P2 <sub>1</sub> /n	4	81
SbCl <sub>5</sub> .SeOCl <sub>2</sub>	P2 <sub>1</sub> /c	8	40, 82
SbCl <sub>5</sub> .CH <sub>3</sub> CN	Pnma	4	83
SbCl <sub>5</sub> .C <sub>6</sub> H <sub>5</sub> COCl	P2 <sub>1</sub> /m	2	84
SbCl <sub>5</sub> .mCH <sub>3</sub> -C <sub>6</sub> H <sub>5</sub> COCl	P2 <sub>1</sub> /m		84
SbCl <sub>5</sub> .FAsO	P2 <sub>1</sub> /c	4	45
SbCl <sub>5</sub> .C <sub>2</sub> Cl <sub>4</sub> O <sub>2</sub> CO	P2 <sub>1</sub> /n	4	44
SbCl <sub>5</sub> .p-CH <sub>3</sub> -C <sub>6</sub> H <sub>5</sub> COCl	Pbcm	4	73
(p-CH <sub>3</sub> -C <sub>6</sub> H <sub>5</sub> CO) <sup>+</sup> (SbCl <sub>6</sub> ) <sup>-</sup>	P2 <sub>1</sub> /c	4	73

Z = número de moléculas por cela unitária.

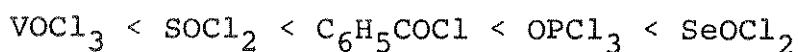


cujas estruturas foram determinadas pela técnica de Raio -X. Deveremos lembrar a importância do composto iônico como intermediário da reação de Friedel-Crafts (80).

Alguns pesquisadores estudaram o sistema  $\text{SbCl}_5 \cdot L$  em solução usando a técnica de Ressonância Nuclear Magnética. Por exemplo, Bernander e Olofsson (85) investigaram a interação entre  $\text{H}_2\text{O}$  e  $\text{SbCl}_5$  em soluções de 1,2 dicloro-etano para várias razões  $\text{SbCl}_5 : \text{H}_2\text{O}$ . Os autores concluem que para razões  $\text{SbCl}_5 : \text{H}_2\text{O} < 1$  o complexo molecular  $\text{SbCl}_5 \cdot \text{H}_2\text{O}$  é formado quantitativamente. Para razões  $> 1$  e  $< 2$  uma segunda molécula de água é adicionada formando um composto estável provavelmente ligado por pontes de hidrogênio de fórmula  $\text{SbCl}_5 \cdot 2\text{H}_2\text{O}$ . O mesmo autor fez estudos semelhantes para os ligantes DMA,  $n\text{-Pr}_2\text{O}$ , MePrCO e EtOAc onde admite a formação de complexos ternários do tipo  $L \cdot \text{H}_2\text{O} \cdot \text{SbCl}_5$  (86).

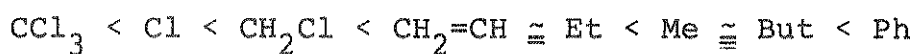
Os complexos moleculares do pentacloreto de antimônio também foram estudados pela técnica de Ressonância de Quadrupolo Nuclear (NQR) devida aos núcleos  $^{121}\text{Sb}$ ,  $^{123}\text{Sb}$ ,  $^{35}\text{Cl}$  e  $^{37}\text{Cl}$ . Schneider e DiLorenzo (87) estudaram os complexos  $\text{SbCl}_5 \cdot \text{CH}_3\text{CN}$  e  $\text{SbCl}_5 \cdot \text{POCl}_3$  concludendo que o complexo com acetonitrila não era iônico, e sim, molecular, como foi mais tarde confirmado por medidas de Raio -X (83). Com relação ao complexo com o  $\text{POCl}_3$  os autores mostraram que as ressonâncias observadas mostravam uma boa concor-

dância com o número de átomos de cloro cristalográficamente não equivalentes, de modo a confirmar a estrutura proposta por Bränden (75,76). Na mesma época Rogers e Ryan (88) estudaram os complexos de Sb(V), Fe(III), Sn(IV) e Ti(IV) com  $\text{POCl}_3$  obtendo os mesmos resultados experimentais, para o  $\text{SbCl}_5$ , publicados por Schneider e DiLorenzo. Os autores relacionaram as freqüências observadas com as estruturas eletrônicas dos complexos e o poder receptor dos cloretos metálicos. Poleshchuk e col. (53) estudaram os espectros NQR de vários complexos do tipo  $\text{SbCl}_5 \cdot L$  ( $L = \text{DMF}, \text{HMTP}, \text{THF}$ , etc.). Para os complexos com acetonitrila e  $\text{ClCN}$  foram feitos cálculos de orbitais moleculares usando-se o método CNDO/2. Segundo os autores há um aumento considerável na densidade eletrônica dos átomos de cloro do receptor. Ardjomande e Lucken (89) fizeram medidas de Ressonância de Quadrupolo Nuclear do  $^{35}\text{Cl}$  para vários complexos envolvendo derivados halogenados da piridina e diferentes receptores, inclusive o  $\text{SbCl}_5$ . Neste trabalho os autores procuram discutir como a perturbação produzida pela entrada do ligante é distribuída entre os diferentes átomos da molécula doador e, como esta perturbação varia com a molécula do receptor. Em 1977, Burgard e col. (90) publicaram os espectros NQR dos complexos  $\text{SbCl}_5 \cdot \text{DMF}$ ,  $\text{SbCl}_5 \cdot \text{OSCl}_2$ ,  $\text{SbCl}_5 \cdot \text{OSeCl}_2$  e  $\text{SbCl}_5 \cdot \text{VOCl}_3$ . Baseando-se numa comparação com espectros já conhecidos os autores propuseram a seguinte escala de poder doador:



A espectroscopia Mössbauer se mostrou efetivamente útil no estudo destes tipos de complexos. Friedt e col. (91,92) estudaram uma série de complexos contendo grande variedade de ligantes, tais como,  $\text{OPCl}_3$ , DMF, TTPO, DMSO, TMNO e nitrilas. Segundo

estes autores as interações quadrupolares deduzidas do espectro Mössbauer estão em perfeita concordância com os dados de espectroscopia NQR já publicados. Para o caso dos complexos com as nitrilas os resultados foram discutidos em combinação com o espectro vibracional. Foi estabelecida a partir dos dados de interação quadrupolar e "isomer shift", a seguinte classificação do poder doador para os ligantes R-CN:



Burger e Fluck (93), num trabalho isolado, estudaram usando espectroscopia eletrônica de Raio-X (ESCA), o efeito da coordenação de vários ligantes com  $\text{SbCl}_5$ . Os resultados obtidos pela investigação das mudanças de estrutura eletrônica do receptor mostraram existir uma correlação clara com o "donor number" de Gutmann.

Através da técnica de Ressonância Nuclear Magnética (RNM) de  $^{121}\text{Sb}$  e  $^1\text{H}$  Stilbs e Olofsson (94) estudaram a ocorrência de reações de ionização para os sistemas  $\text{SbCl}_5\cdot\text{TMU}$ ,  $\text{SbCl}_5\cdot\text{DMSO}$  em 1,2 dicloroetano e  $\text{SbCl}_5\cdot\text{HMTP}$  em  $(\text{C}_6\text{H}_5)\text{NO}_2$ . Nestes sistemas o íon  $\text{SbCl}_6^-$  pode ser observado diretamente por RNM de  $^{121}\text{Sb}$ .

#### 1.b. Espectro Vibracional

Os espectros vibracionais dos complexos moleculares do tipo  $\text{SbCl}_5\cdot\text{L}$  foram registrados para uma grande variedade de compostos nos mais variados graus de detalhe.

Inicialmente os espectros eram interpretados em termos dos deslocamentos de freqüência que ocorriam no ligante após a

complexação, já que este resultado poderia dar uma boa indicação do sítio de coordenação, isto é, do átomo doador. Através desta observação pode ser estabelecido, por exemplo, que o oxigênio era o átomo doador nos complexos com DMA e DMF e que, a coordenação nos complexos envolvendo ácidos e ésteres carboxílicos, se dava através do oxigênio carbonílico (64,95).

Zackrisson e col. (96,97) investigaram os espectros infra-vermelho e Raman do complexo  $SbCl_5 \cdot PO(CH_3)_3$  no estado sólido e, soluções de  $SbCl_5$  em  $POCl_3$ , observando deslocamentos negativos da freqüência de estiramento P=O. A esta altura já chamavam a atenção para o fato que o poder doador do átomo de oxigênio não era refletido diretamente pela magnitude deste deslocamento. Tal argumento era baseado no fato que para o doador  $SOCl_2$ , já estabelecido como um doador fraco, não era observado nenhum deslocamento de freqüência (98) enquanto que, para o  $POCl_3$ , era observado um deslocamento de freqüência maior que para o  $PO(CH_3)_3$  (99) (para o mesmo receptor), embora o  $PO(CH_3)_3$  sem dúvida fosse um doador muito mais forte que o  $POCl_3$  (100).

Acreditamos ser oportuno fazermos algumas considerações:

- a. os complexos com  $SbCl_5$ , em sua maioria, são bastante higroscópicos o que dificulta sobremaneira a obtenção dos espectros infra-vermelho.
- b. no início da década de 60 os espectrofotômetros infra-vermelho que operavam abaixo de  $400\text{ cm}^{-1}$  não eram muito usados.
- c. a espectroscopia Raman, usando como fontes "lasers", ainda estava por vir, de modo que a obtenção dos espectros era bastante difícil e poucos laboratórios no mundo estavam aparelhados para realizá-la.

Estes fatores talvez tenham determinado uma espécie de li-

mitação no estudo vibracional destes complexos nos primeiros anos da década de 60, já que sabemos que o esqueleto do receptor sofre profunda mudança na estereoquímica após a complexação e que, as freqüências mais relevantes, se localizam abaixo de  $400\text{ cm}^{-1}$ . Pode-se verificar que os trabalhos realizados na ocasião, principalmente, se referiam às mudanças ocorridas no ligante pela complexação, exceto talvez, o trabalho de Beattie e Webster (101) onde foi examinado o espectro infra-vermelho ( $600-250\text{ cm}^{-1}$ ) dos complexos  $\text{SbCl}_5 \cdot \text{CH}_3\text{CN}$ ,  $\text{SbCl}_5 \cdot \text{C}_5\text{H}_5\text{N}$  e  $\text{SbCl}_5 \cdot \text{PCl}_5$  (iônico).

Os complexos  $\text{SbCl}_5 \cdot \text{F-C}_6\text{H}_5\text{COCl}$ ,  $\text{SbCl}_5 \cdot \text{PDC}$ ,  $\text{SbCl}_5 \cdot \text{F-C}_6\text{H}_5\text{POCl}_2$  e  $(\text{C}_6\text{H}_5)_2\text{POCl}$  tiveram seus espectros infra-vermelho ( $4000-600\text{ cm}^{-1}$ ) registrados por Gutmann e col. (10) em 1966. Foi feita uma atribuição das freqüências e observação de deslocamentos negativos das freqüências de estiramento  $\text{X=O}$  ( $\text{X} = \text{P, C}$ ) como segue :  $\text{F-C}_6\text{H}_5\text{POCl}_2$  ( $90\text{ cm}^{-1}$ ), PDC ( $50\text{ cm}^{-1}$ ),  $\text{F-C}_6\text{H}_5\text{POCl}_2$  ( $90\text{ cm}^{-1}$ ) e  $(\text{C}_6\text{H}_5)_2\text{POCl}$  ( $165\text{ cm}^{-1}$ ).

Van der Veer e Jellinek (8) trabalhando com uma série de compostos envolvendo como ligantes TPPS e TTPO, prepararam os complexos  $\text{SbCl}_5 \cdot \text{TPPS}$  e  $\text{SbCl}_5 \cdot \text{TTPO}$ , os quais foram caracterizados por infra-vermelho ( $4000-400\text{ cm}^{-1}$ ), no estado sólido. Foram observados deslocamentos negativos de  $151\text{ cm}^{-1}$  para o complexo com TTPO e,  $96\text{ cm}^{-1}$ , para o TPPS.

Ainda em 1966, Paul e col. (102) estudaram complexos de  $\text{SbCl}_5$  com várias amidas, como por exemplo, formamida, acetamida, benzamida, etc.; foram feitas medidas de espectro infra-vermelho em solução ( $4000-400\text{ cm}^{-1}$ ) e atribuição das principais freqüências dos ligantes.

Em 1967, Olofsson (25) determinou, calorimetricamente, as entalpias de formação em 1,2 dicloroetano para complexos de  $\text{SbCl}_5$

com derivados halogenados do acetato de etila e ésteres etílicos dos ácidos propiônico, isobutírico e piválico. Os deslocamentos de freqüência observados para o estiramento C=O, nos espectros em solução, mostraram uma boa correlação com as entalpias de formação, de tal maneira que, o autor sugere que estes deslocamentos podem ser usados para estimar o poder doador. Posteriormente Olofsson estudou outros sistemas de maneira similar (52).

Paul e Chadha (26) estudaram complexos de uréia com alguns ácidos de Lewis, inclusive o SbCl<sub>5</sub>. O exame dos espectros infra-vermelho da amostra sólida (4000-400 cm<sup>-1</sup>) mostrou que a freqüência atribuída ao estiramento C=O sofria um deslocamento negativo, enquanto que a freqüência atribuída ao estiramento C-N, um deslocamento positivo, após a complexação. Os autores concluem que ocorre uma grande perturbação na freqüência de estiramento C=O, que passa de >C=O para >>C-O-M, e da freqüência C-N que adquire um caráter de ligação dupla parcial >>C=N.

Com o interesse de estudar o comportamento do grupo carboxílico frente aos ácidos de Lewis, Susz e col. (103) investigaram os complexos envolvendo SbCl<sub>5</sub> com os ácidos benzóico, p-toluídico, mesitóico e cinêmico. Os espectros infra-vermelho foram obtidos para as amostras sólidas e em solução de CCl<sub>4</sub>, que permitiram concluir que a coordenação se dava pela carbonila.

Em um trabalho semelhante, Susz (24) estudou os complexos de derivados de cloretos de benzoila p-substituídos (H, CH<sub>3</sub> e CH<sub>3</sub>O) com SbCl<sub>5</sub> e verificou a existência de uma correlação linear entre os deslocamentos de freqüência de estiramento C=O, corrigidas pelo método das perturbações dos níveis quase degenerados (104), com a constante de Hammett  $\sigma$ .

Gates e Steele (105) investigaram os espectros infra-ver-

melho e Raman dos complexos  $SbCl_5 \cdot CH_3COCl$  e  $SbCl_5 \cdot CD_3COCl$  no estado sólido. Os espectros Raman, na região de baixa freqüência, mostraram que a unidade  $SbCl_6^-$  estava presente em ambos os complexos, permitindo a afirmação da existência da espécie  $(CH_3CO)^+ (SbCl_6)^-$ .

Em 1968, Smitskamp, Olie e Gerdin (106) publicaram os espectros Ramam do complexo  $SbCl_5 \cdot POCl_3$  no estado sólido, fundido, em solução de  $POCl_3$  e 1,2 dicloroetano usando as linhas de excitação 546,0 e 435,8 nm de uma lâmpada de Hg. Os autores observaram um deslocamento negativo para o estiramento P=O e um deslocamento positivo para as freqüências atribuídas aos estiramentos simétrico e assimétrico P-Cl.

Iqbal e Waddington (38) descreveram o isolamento do complexo líquido  $SbCl_5 \cdot COCl_2$  e examinaram o seu espectro infra-vermelho ( $4000-200\text{ cm}^{-1}$ ). Apesar das poucas evidências, os autores sugerem que o par isolado do oxigênio da carbonila é doado para o antimônio.

Os complexos  $SbCl_5 \cdot DMSO$ ,  $SbCl_5 \cdot DMF$  e  $SbCl_5 \cdot H_2O$  tiveram os seus espectros infra-vermelho (abaixo de  $500\text{ cm}^{-1}$ ) e Raman (excitação com a linha 632,8 nm de um laser de He-Ne) estudados por Burgard, Kaufmann e Rohmer (17). Foram feitas atribuições tentativa das freqüências observadas em base de uma simetria  $C_{4v}$  ao redor do átomo de antimônio.

Kawai e Kanesaka, em 1969 (107,108), estudaram os espectros infra-vermelho de complexos do tipo  $SbCl_5 \cdot NCX$  ( $X = H, D, Cl$  e Br). Estes espectros já tinham sido obtidos e parcialmente interpretados por Allenstein e Schmidt (31). Para o caso dos haletos cianogênicos foi feita a atribuição de todas as freqüências fundamentais, compreendidas na região de  $4000-250\text{ cm}^{-1}$ . Para o ca-

so de X = H,D a atribuição de freqüências, o efeito isotópico e o deslocamento da freqüência de estiramento C≡N foram discutidos em base de uma análise de coordenadas normais, usando-se o Campo de Força de Urey-Bradley Modificado (MUBFF).

Continuando seus estudos com complexos envolvendo como ácido de Lewis o SbCl<sub>5</sub>, Paul e Chadha (50,21) isolaram uma série de complexos, utilizando como ligantes aldeídos e cetonas. Como no caso dos outros "oxo-doadores" a ligação se dava via oxigênio da carbonila.

Hildbrand e Kaufmann (109) investigaram os espectros infra-vermelho e Raman do complexo SbCl<sub>5</sub>.OP(OCH<sub>2</sub>)<sub>3</sub>CCH<sub>3</sub>, os quais foram interpretados em termos de uma simetria local C<sub>4v</sub> para o esqueleto SbCl<sub>5</sub>O.

Estudando a reação entre SbCl<sub>5</sub> com SO<sub>3</sub> e HSO<sub>3</sub>Cl Lehmann e Riesel (39) isolaram o complexo SbCl<sub>5</sub>.OSO<sub>2</sub>. Neste trabalho são discutidas algumas possibilidades de como a coordenação ocorre. Através dos dados do espectro Raman (1400-100 cm<sup>-1</sup>) os autores concluem que a coordenação se dá através do oxigênio.

Em 1970 Van der Veer e Jellinek isolaram o complexo SbCl<sub>5</sub>.POBr<sub>3</sub> observando no espectro infra-vermelho uma banda forte, em 510 cm<sup>-1</sup>, que foi atribuída ao estiramento assimétrico fósforo-bromo (P-Br). Segundo os autores não há troca de halogênios, pois não foi observada nenhuma freqüência devida ao estiramento fósforo-cloro (110).

Yushko, Tolmachev e Lavrushin (48) estudaram o espectro infra-vermelho de uma série muito grande de complexos envolvendo o SbCl<sub>5</sub> com calconas e metóxi-calconas. As constantes de força C=O e as distâncias interatômicas foram relacionadas com a estrutura dos ligantes, sendo encontrada uma correlação entre a freqüência da

carbonila e a constante de Taft dos grupos presentes.

Burgard e McCordick estudaram o espectro Raman e infra-vermelho dos complexos  $SbCl_5 \cdot CH_3CN$  e  $SbCl_5 \cdot ClCN$ , na região de baixas freqüências. Segundo estes autores os espectros estão de acordo com um modelo de simetria local  $C_{4v}$  proposto anteriormente por outros autores (111).

Em 1971, Susz e col. (22,112), na seqüência de estudos com ácidos de Lewis isolou e estudou o efeito sobre a freqüência carbonila de complexos do tipo  $SbCl_5 \cdot L$  ( $L$  = antraquinona, cloral, benzaldeído, naftaldeído, etc.). Para o complexo  $SbCl_5 \cdot$  cloral foi feita uma análise de coordenadas normais considerando somente parte da molécula.

Singh estudou o espectro infra-vermelho de um grande número de complexos de  $SbCl_5$  com doadores nitrogenados heteroaromáticos, como por exemplo, 2-aminopiridina, quinolina, etc.. O autor, baseado em deslocamentos sistemáticos e regulares, das freqüências mais altas devidas aos modos do anel no plano, estabeleceu uma ordem de poder doador para os ligantes estudados (113).

Ainda, em 1971, Yoshida e Miyara (114), isolaram o complexo  $SbCl_5 \cdot DCP$  (difenilciclopropenona) e registraram seu espectro infra-vermelho. Observaram que as bandas do ligante livre em 1850 e  $1640\text{ cm}^{-1}$ , após a complexação, se deslocaram para 1860 e  $1502\text{ cm}^{-1}$  respectivamente, sugerindo que a coordenação se dava pela carbonila.

Em 1973, Muller (115), isolou os compostos  $K[SbCl_5NCO]$ ,  $K[SbCl_5CN]$  e  $K[SbCl_5N_3]$ . Os espectros infra-vermelho e Raman foram interpretados usando um modelo de simetria  $C_{4v}$  para os vizinhos diretos do átomo de antimônio.

Byler e Shriver, em 1974, estudaram os espectros infra-ver-

melho e Raman, de complexos do tipo  $SbX_5 \cdot CH_3CN$  ( $X = Cl, F$ ). Para o caso do complexo  $SbF_5 \cdot CH_3CN$  foi verificado que as regras de seleção para uma simetria local  $C_{4v}$ , para a metade  $SbF_5N$ , são idênticas aquelas baseadas no grupo de permutação  $E_{24}$  onde é considerada a rotação livre dos grupos metila (116). Para o complexo  $SbCl_5 \cdot CH_3CN$  os autores fizeram uma atribuição completa das freqüências observadas, cálculo de análise de coordenadas normais e distribuição de energia potencial (PED), para a espécie  $a_1$  ( $C_{4v}$ ) (117).

Os espectros infra-vermelho e Raman dos complexos  $SbCl_5 \cdot DMSO-h_6$  e  $SbCl_5 \cdot DMSO-d_6$  foram estudados por Burgard e Leroy (118), que ainda realizaram uma análise de coordenadas normais utilizando o método do Campo de Valência Geral, em base de uma simetria  $C_s$ . Os resultados foram discutidos comparativamente com o ion  $SbCl_6^-$ .

Schmidt (35) mostrou que o pentacloreto de antimônio forma complexos sólidos do tipo  $SbCl_5 \cdot nH_2O$  ( $n = 1, 2, 3$  e  $4$ ) na temperatura ambiente. Os espectros infra-vermelho (sólido) e Raman (sólido e solução em 1,2 dicloroetano) foram obtidos. Através destes dados é discutida a possibilidade do composto  $SbCl_5 \cdot H_2O$  ter simetria  $C_{4v}$  ou pseudo  $D_{3h}$ . O mesmo autor publicou outro trabalho onde apresenta e discute o espectro infra-vermelho do complexo  $SbCl_5 \cdot C_2H_5OH$ , estabelecendo comparações com moléculas do tipo  $Sb(OC_2H_5)_5$ ,  $Sb(OC_2H_5)_5 \cdot NH_3$  e  $(SbCl_4OC_2H_5)_2$ , entre outras (47).

Em 1975 Paul e col. (11) obtiveram o espectro infra-vermelho do solvato  $SbCl_5 \cdot TEP$  ( $TEP = triethylfosfato$ ) observando deslocamento de freqüência, negativo, do estiramento P=O.

Brunette, Heinburger e Leroy mostraram, usando espectroscopia Raman, evidências da formação do complexo molecular  $SbCl_5 \cdot VOCl_3$ . Segundo os autores é excluída a possibilidade de um composto iô-

nico ou uma associação molecular envolvendo ligações de cloro na forma de pontes (43).

O complexo  $SbCl_5 \cdot OP(Cl_2)(NHCH_3)$  (diclorofosforilmetilamina) foi isolado e estudado, por espectroscopia Raman e infra-vermelho, por Shihada (14). O autor, baseado no deslocamento negativo da freqüência P=O ( $101\text{ cm}^{-1}$ ), conclue que a coordenação se dá via oxigênio da fosforila.

Em 1976, Ortwein e Schmidt (119), através do uso de espectroscopia Raman e infra-vermelho sugerem que o álcool metílico forma compostos do tipo  $SbCl_5 \cdot nCH_3OH$  ( $n = 1-3$ ), sendo que, para  $n$  maior que 3, temos a formação de produtos iônicos do tipo  $H^+[(CH_3OH)_n SbCl_5 OCH_3]^-$ .

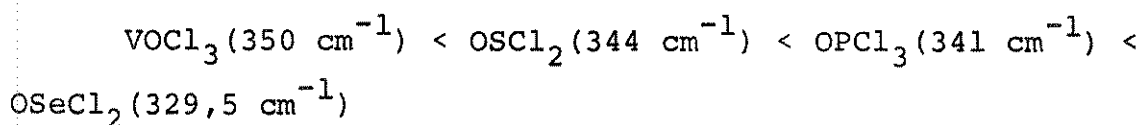
Pressl e Schmidt (12) preparam e estudaram os espectros Raman e infra-vermelho dos compostos  $SbCl_5 \cdot OP(OCH_3)_3$ ,  $SbCl_5 \cdot OPCl(OCH_3)_2$  e  $SbCl_5 \cdot OPCl_2(OCH_3)$  discutindo os resultados comparativamente com o complexo  $SbCl_5 \cdot POCl_3$ .

Ainda, em 1976, Ruoff e Schmidt (120) estudaram o espectro vibracional dos complexos  $SbCl_5 \cdot H_2NCHO$ ,  $SbCl_5 \cdot CH_3NHCHO$  e  $SbCl_5 \cdot (CH_3)_2NCHO$  focalizando a discussão nas vibrações devidas aos estiramentos metal-halogênio.

Massaguer e col. (37) preparam os complexos  $SbCl_5 \cdot PyO$ ,  $SbCl_5 \cdot 2PicO$ ,  $SbCl_5 \cdot 3PicO$  e  $SbCl_5 \cdot 4PicO$ . Os autores reportam e atribuem as freqüências infra-vermelho mais significativas, e sugerem que as bandas situadas na região de  $600-250\text{ cm}^{-1}$  são consistentes com uma simetria  $C_{4v}$ .

Ainda no mesmo ano, Leroy e col. (121) estudaram os espectros vibracionais dos complexos  $SbCl_5 \cdot OSCl_2$ ,  $SbCl_5 \cdot OSeCl_2$ ,  $SbCl_5 \cdot DMF-h_7$ ,  $SbCl_5 \cdot DMF-d_7$ ,  $SbCl_5 \cdot OP(CH_3)_3$  e  $SbCl_5 \cdot OPCl_3$ . Segundo os autores os modos Sb-Cl podem ser correlacionados com o po-

der doador dos ligantes, já que verificaram que estas freqüências se deslocam para região de energia mais baixa quando o poder doador aumenta. Usando a posição da banda mais intensa no espectro Raman, os autores sugerem a seguinte classificação:



Em 1977 Leroy e col. (33) publicaram os espectros Raman e infra-vermelho de complexos envolvendo  $\text{SbCl}_5$  com nitrilas e dinitrilas. Os dados espetrais foram analisados em base de uma simetria  $C_{4v}$ . Os autores ainda sugerem uma classificação das nitri<sub>l</sub>as e dinitrilas em relação ao seu poder doador.

Recentemente Gushikem, Alves e Hase (122) obtiveram o espetro Raman do complexo  $\text{SbCl}_5 \cdot \text{POCl}_3$  para a amostra sólida e fundida. Em base de uma simetria  $C_s$  os autores realizaram o tratamento de análise de coordenadas normais usando o Campo de Força de Urey-Bradley Modificado. Foi feita a separação das constantes de força de estiramento M-Cl, em axial e equatorial, tendo em vista a diferente influência trans ao longo das ligações  $\text{Cl}_{\text{eq}}-\text{Sb}-\text{Cl}_{\text{eq}}$  e  $\text{Cl}_{\text{ax}}-\text{Sb}-\text{L}$ .

### 1.c. Objetivos

É sabido que o pentacloreto de antimônio, dada a sua extrema reatividade, sempre apresenta problemas com a umidade, daí a manipulação do mesmo requerer cuidados especiais. A literatura não dá detalhes para a manipulação do  $SbCl_5$ , tanto puro como em solução de solventes orgânicos, bem como da sua reação com os diversos ligantes. De modo geral, os complexos são sintetizados fazendo-se uso de técnicas convencionais, em câmara seca ou "glove-bags".

Neste trabalho nosso primeiro objetivo é desenvolver uma técnica onde todas as etapas sejam realizadas em sistema de vácuo/ $N_2$  seco, de maneira que a "contaminação" pela umidade seja reduzida ao mínimo. Isto ganha relevância na medida em que os complexos, uma vez preparados, dificilmente são purificáveis usando-se técnicas de recristalização ou mesmo sublimação.

Com este propósito faremos algumas modificações, ou construção de novos equipamentos de vidro, com o intuito de conduzir os experimentos de uma maneira eficiente e seqüencial.

Os demais objetivos pretendidos na elaboração desta tese se prendem à obtenção dos espectros vibracionais dos complexos sintetizados, à atribuição das freqüências observadas e, por último, à análise de coordenadas normais fazendo-se uso de um modelo aproximado.

Como colocado anteriormente, os espectros vibracionais foram principalmente analisados em termos das freqüências do ligante, sendo mais recentes os estudos que abrangem a região de energia mais baixa, ou seja, a região de absorção devida ao esqueleto do receptor. É de interesse atual da Química de Compostos de Coordenação, que a análise vibracional dê mais ênfase às vibrações de-

vidas às ligações metal-ligante. Partindo-se desta premissa, o sistema  $SbCl_5 \cdot L$  apresenta características favoráveis a este tipo de estudo, por mostrar uma distribuição de bandas que possibilita uma análise em termos de um modelo de simetria localizada  $C_{4v}$ . As constantes de força calculadas, uma vez reproduzindo as freqüências observadas, poderão vir a confirmar as atribuições realizadas bem como, talvez, nos permitam tirar informações sobre o comportamento das ligações metal-ligante, metal-halogênio, na medida em que varíamos a habilidade de coordenação dos ligantes.

1.d. Bibliografia

1. I. Lindqvist, "Inorganic Adduct Molecules of Oxo-compounds", Springer-Verlag, Berlin (1963).
2. R. Weber, Ann. Physik., 132, 452 (1867).
3. M. Webster, Chem. Soc. Rev., 87 (1965).
4. R. Weber, Pogg. Ann., 125, 78 (1865).
5. N. Nishii, Y. Matsumura e R. Okawara, J. Organometal. Chem., 30, 59 (1971).
6. J. Massaguer e J. Sordo, Acta Cient. Compostelana, 8, 115 (1971).
7. J. Massaguer e J. Sordo, An. Quim., 69, 1255 (1973).
8. W. Van der Veer e F. Jellinek, Rec. trav. chim., 85, 842 (1966).
9. I. Lindqvist, E. G. Olofsson, Acta Chem. Scand. 13, 1753 (1959).
10. V. Gutmann, E. Wychera e F. Mairinger, Monatsh. Chem., 97, 1265 (1966).
11. R. C. Paul, O. D. Sharma e J. C. Bhatia, Indian J. Chem., 13, 692 (1975).
12. D. K. Pressl e A. Schmidt, Z. anorg. allgem. Chem., 422, 266 (1976).
13. K. Burger e E. Fluck, Inorg. and Nucl. Chem. Lett., 10, 171 (1974).
14. A. F. Shihada, Z. anorg. allgem. Chem., 411, 135 (1975).
15. R. C. Paul, S. L. Chadha e J. L. Vashisht, Indian J. Chem., 7, 275 (1969).
16. B. Petitpierre e B. P. Susz, Helv. Chim. Acta, 50, 392 (1967).
17. M. Burgard, G. Kaufmann e R. Rohmer, C. R. Acad. Sci. Paris, Ser. C, 267, 689 (1968).
18. G. Olofsson, Acta. Chem. Scand., 18, 1022 (1964).
19. P. Stilbs, Tetrahedron, 29, 2269 (1973).
20. P. Stilbs e G. Olofsson, Acta Chem. Scand. 28, 647 (1974).
21. R. C. Paul, S. L. Chadha, J. Inorg. Nucl. Chem., 31, 1679 (1969).
22. F. Filippini e B. P. Susz, Helv. Chim. Acta, 54, 835 (1971).
23. R. C. Paul, S. K. Rehani e S. L. Chadha, Indian J. Chem., 8, 848 (1970).

24. J. C. Jaccard e B. P. Susz, *Helv. Chim. Acta*, 50, 97 (1967).
25. G. Olofsson, *Acta Chem. Scand.*, 21, 1892 (1967).
26. R. C. Paul e S. L. Chadha, *Spectrochim. Acta, Parte A*, 23, 1243 (1967).
27. R. C. Paul, R. N. Sawhney e S. L. Chadha, *Indian J. Chem.*, 5, 631 (1967).
28. P. Stilbs, *Tetrahedron Lett.*, 227 (1972).
29. T. N. Sumarokova, I. G. Litvyak, E. M. Vorob'eva, *Zh. Obshch. Khim.*, 45, 2001 (1975); *C. A.* 83: 187669.
30. R. Schmidt, *Spectrochim. Acta*, 32A, 1165 (1976).
31. E. Allenstein e A. Schmidt, *Ber.* 97, 1286 (1964).
32. E. Allenstein e A. Schmidt, *Ber.* 97, 1863 (1964).
33. M. Masson, Z. A. Payne e M. J. F. Leroy, *Spectrochim. Acta*, 33A, 37 (1977).
34. D. M. Byler e D. F. Shriver, *Inorg. Chem.*, 13, 2697 (1974).
35. R. Ortwein e A. Schmidt, *Z. anorg. allgem. Chem.*, 408, 42 (1974).
36. S. S. Singh, C. B. S. Sengar, *Indian J. Chem.*, 7, 812 (1969).
37. J. R. Masaguer, M. V. Castaño, M. R. Bermejo e J. Sordo, *Inorg. Chim. Acta*, 19, 139 (1976).
38. Z. Iqbal e T. C. Waddington, *J. Chem. Soc. A*, 1745 (1968).
39. H. Lehmann e L. Riesel, *Z. anorg. allgem. Chem.* 371, 274 (1969).
40. Y. Hermodsson, *Acta Chem. Scand.*, 21A, 1313 (1967).
41. J. Touzin e M. Jaros, *Z. Chem.*, 11, 469 (1971).
42. M. Burgard, J. P. Brunette e M. J. F. Leroy, *Inorg. Chem.*, 15, 1225 (1976).
43. J. P. Brunette, R. Heinburger e M. J. F. Leroy, *Inorg. Nucl. Chem. Lett.*, 10, 903 (1974).
44. H. Kietabl, H. Vollenkle e A. Wittmann, *Monatsh. Chem.*, 103, 1360 (1972).
45. R. J. Holliday, R. W. Broach, L. B. Handy, A. W. Cordes e L. Thomas, *Inorg. Chem.*, 11, 1849 (1972).
46. F. Choplin, M. Burgard, J. Hildebrand e G. Kaufmann, *Colloq. Int. Cent. Nat. Rech. Sci.*, n° 191, 213 (1970); *C.A.* 77: 81697m.
47. R. A. Laber e A. Schmidt, *Z. anorg. allgem. Chem.*, 409, 129 (1974).

48. V. K. Yushko, V. N. Tolmachev e V. F. Lavrushin, Zh. Obshch. Khim. 40, 1518 (1970); C.A. 74: 63812q.
49. R. C. Paul e S. S. Sendhu, Indian J. Chem., 6, 373 (1968).
50. R. C. Paul, H. R. Singal e S. L. Chadha, J. Chem. Soc. A, 1849 (1969).
51. R. C. Paul, S. K. Rehani e S. L. Chadha, Indian J. Chem., 8, 848 (1970).
52. G. Olofsson, Acta Chem. Scand., 21A, 2143 (1967).
53. O. Kh. Poleshchuk, Yu. K. Maksyutin, I. G. Orlov, Izv. Akad. Nauk. SSRR, Ser. Khim., 109 (1974); C.A. 80: 102050k  
O. F. Sychev e O. Kh. Poleshchuk, Izv. Akad. Nauk. SSRR. Ser. Fiz. 39, 2675 (1975); C.A. 84: 185117u.
54. K. C. Malhotra e S. M. Sehgal, Indian J. Chem., 12, 982 (1974).
55. L. Kolditz, C. Kurschner e U. Celov, Z. anorg. allgem. Chem. 329, 172 (1964).
56. L. Kolditz e H. Preiss, Z. anorg. allgem. Chem., 310, 242 (1961).
57. I. Lindqvist, Acta. Chem. Scand., 12, 135 (1958).
58. D. W. Meek e R. S. Drago, J. Am. Chem. Soc., 83, 4322 (1961).
59. M. Baaz e V. Gutmann, Monatsh. Chem., 90, 426 (1959).
60. J. Lewis e R. G. Wilkins, Chem. Soc. Esp. Publ. nº 10, 123 (1957).
61. I. Lindqvist e M. Zackrisson, Acta Chem. Scand., 14, 453 (1960).
62. I. Lindqvist e B. Fjellström, Acta Chem. Scand., 14, 2055 (1960).
63. M. Zackrisson, Acta Chem. Scand., 15, 1785 (1961).
64. M. Zackrisson, Acta Chem. Scand., 15, 1784 (1961).
65. V. Gutmann, A. Steininger e E. Wichera, Monatsh. Chem., 97, 460 (1966).
66. V. Gutmann, "Halogen Chemistry", Ed. V. Gutmann, vol. II, Academic Press, London, 399 (1967).
67. V. Gutmann e E. Wichera, Inorg. Nucl. Chem. Lett., 2, 257 (1966).
68. V. Gutmann, "Coordination Chemistry in Non-Aqueous Solutions", Springer-Verlag, Wien (1968).
69. S. R. Jain e S. Soundarajan, Z. anorg. allgem. Chem., 337, 214 (1965).

70. V. Gutmann, Oesterr. Chem. Ztg., 56, 126 (1955).
71. Proceedings of International Conference on Coordination Compounds, Amsterdā, p. 46, 55 e 61 (1955).
72. W. L. Groeneveld, Rec. trav. chim., 75, 594 (1956).
73. B. Chevrier, J. M. Le Carpentier e R. Weiss, J. Am. Chem. Soc., 94, 5718 (1972).
74. C. I. Bränden e I. Lindqvist, Acta Chem. Scand., 17, 353 (1963).
75. I. Lindqvist, C. I. Bränden, Acta Chem. Scand., 12, 134 (1958).
76. I. Lindqvist, C. I. Bränden, Acta Cryst., 12, 642 (1959).
77. C. I. Branden e I. Lindqvist, Acta Chem. Scand., 15, 167 (1961).
78. D. Neubauer e J. Weiss, Z. anorg. allgem. Chem., 303, 28 (1960).
79. A. Hansson e M. Vanngard, U.S. Dept. Comm., Office Tech. Serv. AD, 264, 819 (1961); C.A. 58: 8476f.
80. G. A. Olah, "Friedel-Crafts and Related Reactions", Interscience, New York, 289 (1963).
81. L. Brun e C. I. Bränden, Acta Cryst., 20, 749 (1966).
82. Y. Hermodsson, Proc. Conf. Coord. Chem., 8th, Vienna, 328 (1964).
83. H. Binas, Z. anorg. allgem. Chem., 352, 271 (1967).
84. R. Weiss e B. Chevrier, Chem. Commun., 4, 145 (1967) ; Acta Cryst. Sect B, 28, 2667 (1972).
85. L. Bernanden e G. Olofsson, Acta Chem. Scand., 27, 1034 (1973).
86. G. Olofsson e I. Olofsson, Tetrahedron, 29, 1711 (1973).
87. R. F. Schneider e I. V. DiLorenzo, J. Chem. Phys., 47, 2343 (1967).
88. M. T. Rogers e J. A. Ryan, J. Phys. Chem., 72, 1340 (1968).
89. S. Ardjomande e E. A. C. Lucken, J. Chem. Soc., Perkin Trans., 453 (1975).
90. J. Brunette, M. Burgard, M. J. F. Leroy e E. A. C. Lucken, J. Mol. Struct., 36, 269 (1977).
91. J. M. Friedt, G. K. Shenoy e M. Burgard, J. Chem. Phys., 59, 4468 (1973).
92. J. M. Friedt e G. K. Shenoy, J. Chem. Soc. Dalton, 1374 (1974).

93. K. Burger e E. Fluck, Inorg. Nucl. Chem. Lett., 10, 171 (1974).
94. P. Stilbs e G. Olofsson, Acta Chem. Scand., 28, 647 (1974).
95. M. Zackrisson e I. Lindqvist, J. inorg. nucl. Chem., 17, 69 (1961).
96. P. O. Kinnel, I. Lindqvist e M. Zackrisson, Acta Chem. Scand., 13, 1159 (1959).
97. M. Zackrisson e K. I. Aldén, Acta Chem. Scand., 14, 994 (1960).
98. J. C. Sheldon, S. Y. Tyree, J. Am. Chem. Soc., 81, 2290 (1959).
99. J. C. Sheldon, S. Y. Tyree, J. Am. Chem. Soc., 80, 4775 (1958).
100. P. O. Kinnel, I. Lindqvist e M. Zackrisson, Acta Chem. Scand. 13, 190 (1959).
101. I. R. Beattie e M. Webster, J. Chem. Soc., 38 (1963).
102. R. C. Paul, B. R. Sreenathan e S. L. Chadha, J. inorg. nucl. Chem., 28, 1225 (1966).
103. Vide ref. 16.
104. H. Herzberg, "Molecular Spectra and Molecular Structure", vol. 1, Van-Noststrand, New York, p. 282 (1950).
105. P. N. Gates e D. Steele, J. Mol. Struct., 1, 349 (1967-1968).
106. C. C. Smitskamp, K. Olie e H. Gerdink, Z. anorg. allgem. Chem., 359, 318 (1968).
107. K. Kawai e I. Kanesaka, Spectrochim. Acta, 25A, 263 (1969).
108. K. Kawai e I. Kanesaka, Spectrochim. Acta, 25A, 1265 (1969).
109. J. Hildebrand e G. Kaufmann, Spectrochim. Acta, 26A, 1407 (1970).
110. W. Van der Veer e F. Jellinek, Rec. trav. chem., 89, 833 (1970).
111. M. Burgard e J. MacCordick, Inorg. Nucl. Chem. Lett., 6, 599 (1970).
112. R. Giallonardo e B. P. Susz, Helv. Chim. Acta, 54, 2402 (1971).
113. S. S. Singh, Labdev, Parte A, 9, 198 (1971).
114. Z. Yoshida e H. Miyara, Bull. Chem. Soc. Japan, 44, 3219 (1971).
115. U. Muller, Z. anorg. allgem. Chem., 396, 187 (1973).

116. D. M. Byler e D. F. Shriver, Inorg. Chem., 12, 1412 (1973).
117. D. M. Byler e D. F. Shriver, Inorg. Chem., 13, 2697 (1974).
118. M. Burgard e M. J. F. Leroy, J. Mol. Struct., 20, 153 (1974).
119. R. Ortwein e A. Schmidt, Z. anorg. allgem. Chem. 420, 240 (1976).
120. K. J. Ruoff e A. Schmidt, Spectrochim. Acta, 32A, 1165 (1976).
121. M. Burgard, J. P. Brunette e M. J. F. Leroy, Inorg. Chem., 15, 1225 (1976).
122. Y. Gushikem, O. L. Alves e Y. Hase, J. Coord. Chem., 6, 179 (1977).

## 2. PARTE EXPERIMENTAL

### 2.a. Solventes

Os solventes utilizados, tanto na síntese dos complexos quanto na preparação de alguns ligantes, foram purificados e secos de acordo com os métodos sucintamente descritos nas linhas que se guem.

Clorofórmio (Carlo Erba-RP). Lavagem com água; secagem com cloreto de cálcio anidro; secagem com  $P_2O_5$  durante uma noite; destilação sob peneira molecular 4 Å; guardado sob resguardo da luz. T.E.  $61,7^{\circ}C$ .

Tetracloreto de Carbono (Carlo Erba-RPE). Secagem com cloreto de cálcio anidro; secagem com  $P_2O_5$  por uma noite; destilação sob peneira molecular 4 Å; guardado sob resguardo da luz. T.E.  $76,5^{\circ}C$ .

Éter Etílico (Carlo Erba-Reagent). Secagem com cloreto de cálcio; 1a. destilação; secagem com fitas de sódio; 2a. destilação; armazenado sob fitas de sódio. T.E.  $34,5^{\circ}C$ .

Álcool Etílico (comercial). Refluxo com CaO (calcinado) por 6 horas; 1a. destilação; tratamento com magnésio e iodo e refluxo; 2a. destilação. T.E.  $78,5^{\circ}C$ .

Benzeno (Carlo Erba-RP). Destilou-se 1a. vez; secagem por uma noite com  $P_2O_5$ ; 2a. destilação. T.E.  $80,1^{\circ}C$ .

Ligroína (Éter de Petróleo, f.  $80-110^{\circ}C$ , comercial). Destilação, fração  $80-110^{\circ}C$ ; secagem com cloreto de cálcio anidro; 2a. destilação; guardado sob fitas de sódio.

## 2.b. Ligantes

Os ligantes usados nas sínteses dos complexos, ou foram sintetizados, ou foram purificados a partir do produto comercial.

Trifenilfosfinóxido (TTPO). Foi preparado de acordo com método de Michaelis e Von Saden (1). 26,2 g (~0,1 mol) de trifenilfosfina (Fluka) e 16,0 g (~0,1 mol) de bromo (Carlo Erba) foram dissolvidos em benzeno, separadamente. As duas soluções foram resfriadas a 0°C e a solução de bromo foi adicionada lentamente à de trifenilfosfina. Formou-se um precipitado amarelo alaranjado que fumega ao ar. Filtrou-se rapidamente, lavou-se com benzeno e em seguida com éter de petróleo. Tratou-se o precipitado com 50 ml de água contendo 8 g de hidróxido de sódio. Aqueceu-se sob agitação até a fervura e observou-se a formação de um sólido branco. O trifenilfosfinóxido foi purificado por sucessivas recristalizações (2) usando-se benzeno e ligroína secos. Foram obtidos cristais em forma de prisma, os quais foram secos durante vários dias em vácuo. Rendimento 85%; P.F. 154°C; P.F. (Lit.) 152-154°C (1,3).

Bisdimetilaminoclorofosfinóxido (DMAP). Foi preparado de acordo com procedimento proposto por Lester (4) refluxando-se levemente 47,5 g (0,31 moles) de cloreto de fosforila ( $\text{POCl}_3$ ) com 113 g (0,63 moles) de hexametilfosforamida, secos, na temperatura de 100°C, por duas horas. Em seguida foi feita uma destilação fracionada usando-se uma coluna tipo Vigreaux, de aproximadamente 50 cm, sendo recolhido um líquido incolor na temperatura de 110°C e pressão de 10 mm Hg (5). Posteriormente, este líquido foi novamente destilado nas mesmas condições da primeira destilação. Rendimento ~80%. Análise de cloro (6): %Cl (teor.) = 20,8, % (exp.) =

21,2; RNM(lit.),  $\tau = 7,30$  Hz,  $J_{P-H} = 12,9$  Hz (7,8,9); RNM(obs.),  $\tau = 7,30$  Hz,  $J_{P-H} = 13,0$  Hz. (\*)

Bisclorodimetilaminofosfinóxido (DDP). Foi preparado de acordo com Michaelis (10,11). 50 g (~0,60 moles) de cloridrato de dimetilamina (Carlo Erba) - purificado por recristalização em álcool etílico e seco sob vácuo - foi posto para reagir com 177 g (~1,16 moles) de cloreto de fosforila purificado e seco. A mistura de reação foi refluxada por 24 horas na temperatura de  $110^{\circ}\text{C}$  com evolução de ácido clorídrico. Em seguida resfriou-se a mistura em banho de gelo. Destilou-se o excesso de  $\text{POCl}_3$ , à  $140^{\circ}\text{C}$ , na pressão ambiente. Circulou-se água gelada no condensador e o  $\text{POCl}_3$  remanescente foi removido pela redução gradual da pressão a té ca. 20 mm Hg (\*\*). Foi recolhida a fração que destilou na faixa de  $43\text{-}46^{\circ}\text{C}$ , à pressão de 1 mm Hg. Em seguida foi feita nova destilação usando-se uma coluna do tipo Vigreaux, de aproximadamente 50 cm, sendo recolhido um líquido incolor que destilou à  $45^{\circ}\text{C}$ , na pressão de 1 mm Hg, de acordo com a literatura (7,12). Rendimento ~70%. Análise de cloro (6): %Cl (teor.) = 43,7, %Cl (exp.) = 44,0; RNM (lit),  $\tau = 7,13$  Hz,  $J_{P-H} = 15,8$  (7,8,9,12); RNM(obs.),  $\tau = 7,10$  Hz,  $J_{P-H} = 15,8$  Hz.

Dimetilsulfona ( $\text{DMSO}_2$ ). Foi sintetizada de acordo com Allan e col. (13) com algumas modificações. À uma mistura contendo 39 g (0,50 moles) de dimetilsulfóxido (Carlo Erba) e 40 ml de ácido acético glacial (Carlo Erba) foram adicionados 80 ml de Pe-

(\*) Os espectros RNM foram obtidos num aparelho marca Varian, mod. T60, usando-se  $\text{CCl}_4$  como solvente e TMS como padrão interno.

(\*\*) Todas as destilações à vácuo foram feitas usando-se um regulador de pressão (Todd Vacuum Pressure Regulator, Todd Scientific Company, USA) acoplado à linha de vácuo.

ridrol (Fischer) 30%. Deixou-se esta mistura em repouso por 5 dias, e, em seguida refluxou-se por 3 horas. Destilou-se o ácido acético até que a mistura apresentasse um aspecto bem viscoso. Resfriou-se em banho de água havendo de imediato a precipitação de um sólido branco. Separou-se este sólido, dissolveu-se em álcool etílico à quente e deixou-se precipitar por uma noite. Foram obtidos cristais alongados (3-5 cm) que foram decantados e lavados com éter. Procedeu-se a outras duas recristalizações, sendo finalmente os cristais secos à vácuo por 12 horas. Rendimento ~70%. P.F. (obs.) = 108-109°C, P.F. (lit.) = 108-109°C (14).

Cloreto de Selenila ( $\text{SeOCl}_2$ ). Foi preparado de acordo com Smith e Jackson (15). 17,0 g (0,15 moles) de  $\text{SeO}_2$  foi colocado para reagir com ácido clorídrico gasoso. O óxido de selênio absorveu rapidamente o HCl formando o  $\text{SeO}_2 \cdot 2\text{HCl}$  (líquido). Passou-se HCl em excesso. Em seguida foi feita a desidratação do ácido dicloroselenoso formado, com ácido sulfúrico concentrado. O ácido foi agitado com  $\text{H}_2\text{SO}_4$  em um funil de separação sendo extraída a camada mais pesada. Repetiu-se este procedimento por 3 vezes. Como a desidratação não é completa neste ponto, o produto é novamente misturado com pequena quantidade de  $\text{H}_2\text{SO}_4$  conc. e aquecido até a temperatura de 50°C. Neste ponto há a formação de 2 camadas que aparecem após a quebra de uma emulsão inicial. A solução foi então transferida para um funil de separação onde as camadas foram separadas. Este procedimento foi repetido até que quando se misturasse o  $\text{H}_2\text{SO}_4$  não ocorresse a formação de emulsão. Nesta etapa o produto apresenta uma coloração vermelha. Passou-se, então, cloro gasoso ( $\text{Cl}_2$ ) até que o produto apresentasse coloração amarela. Destilou-se o produto à vácuo (18 mm Hg) duas vezes. Finalmente o produto foi redestilado, na mesma pressão,

sendo recolhido em "break-seals" previamente calibrados que foram selados à vácuo. O produto final apresentou uma coloração amarela e elevada higroscopicidade. Rendimento 60% ( $\text{SeO}_2$ ). P.F.(obs.) =  $10,8^\circ\text{C}$ , P.F. (lit.) =  $10,9-11,0^\circ\text{C}$  (15).

Cloreto de Fosforila (Carlo Erba) -  $\text{POCl}_3$ . Foi destilado à  $105^\circ\text{C}$  e, em seguida seco com  $\text{P}_2\text{O}_5$  donde foi destilado à pressão reduzida para os "break-seals" previamente calibrados (14,16).

Hexametilfosforamida (Carlo Erba) - HMTP. Foi seca usando-se peneira molecular  $4 \text{ \AA}$  por 2 dias. Em seguida foi fracionada sendo coletada a fração que destilou à  $99^\circ\text{C}$  na pressão de 6 mm Hg. O produto foi guardado sobre peneira molecular  $4 \text{ \AA}$  (17).

Trimetilfosfinóxido (K & K Lab.) - TMPO. Foi seco durante oito horas com aquecimento em banho de óleo ( $80^\circ\text{C}$ ) sob vácuo. Em seguida, foi sublimado e guardado em frasco colocado dentro de dessecador com  $\text{P}_2\text{O}_5$ .

Dimetilsulfóxido (Carlo Erba) - DMSO. Foi seco por uma noite sobre hidróxido de sódio (pastilhas) e posteriormente fracionado usando-se uma coluna empacotada com anéis de Raschig (~50 cm). O produto destilou à  $83^\circ\text{C}$  na pressão de 17 mm Hg (18).

Acetonitrila (Carlo Erba) - AN. Foi seca durante uma noite com  $\text{P}_2\text{O}_5$ . Em seguida foi refluxada com o mesmo secante por uma hora e destilada usando-se uma coluna do tipo Vigreux (~50 cm). Foi coletada a fração que destilava à  $80-81^\circ\text{C}$  na pressão ambiente sendo guardada sobre peneira molecular  $4 \text{ \AA}$  (19).

Benzonitrila (Carlo Erba) - BN. Foi seca durante uma noite com sulfato de magnésio e fracionada à vácuo usando-se uma coluna (~50 cm) empacotada com anéis de Raschig. Foi coletada a fração que destilou na temperatura de  $69^\circ\text{C}$  e pressão de 10 mm Hg (20).

Acrilonitrila (Carlo Erba) - ACN. Foi seca durante uma noite com cloreto de cálcio e fracionada de maneira similar ao ligeante anterior com exceção ao vácuo. P.E. 77°C (21).

N,N-Dimetilformamida (Baker) - DMF. Foi destilada uma primeira vez e deixada sobre hidróxido de potássio por 4 dias. Posteriormente, foi novamente destilada sendo recolhida a fração que destilou à 40°C na pressão de 10 mm Hg (22,23).

N,N-Dimetilacetamida (Merck) - DMA. Foi purificada fazendo-se um refluxo com CaO (calcinado e seco) por 24 horas. Em seguida o produto foi fracionado à vácuo usando-se uma coluna empacotada com anéis de Raschig. Foi recolhida a fração que destilou à 58°C na pressão de 11 mm Hg, sendo em seguida guardada sob peneira molecular 4 Å (24).

Tetrametilureia (Carlo Erba) - TMU. Foi seca com  $P_2O_5$  e em seguida destilada à vácuo em coluna empacotada com anéis de Raschig sendo recebida sobre peneira molecular do tipo 4 Å. T.E. 62°C, 12 mm Hg (23).

## 2.c. Pentacloreto de Antimônio

O pentacloreto de antimônio (Carlo Erba) foi purificado por destilação à pressão reduzida usando-se o sistema de vácuo/nitrogênio seco, mostrado na figura 2.1, e o sistema de destilação da figura 2.2. Na tabela 2.1 são mostradas algumas das propriedades do pentacloreto de antimônio.

Para realização desta purificação deixa-se o sistema mostrado na figura 2.2 evacuando durante uma hora. Em seguida, gira-se a torneira da linha de vácuo para a posição do  $N_2$  e introduz-se nitrogênio seco no sistema. Nestas condições é retirada a tam-

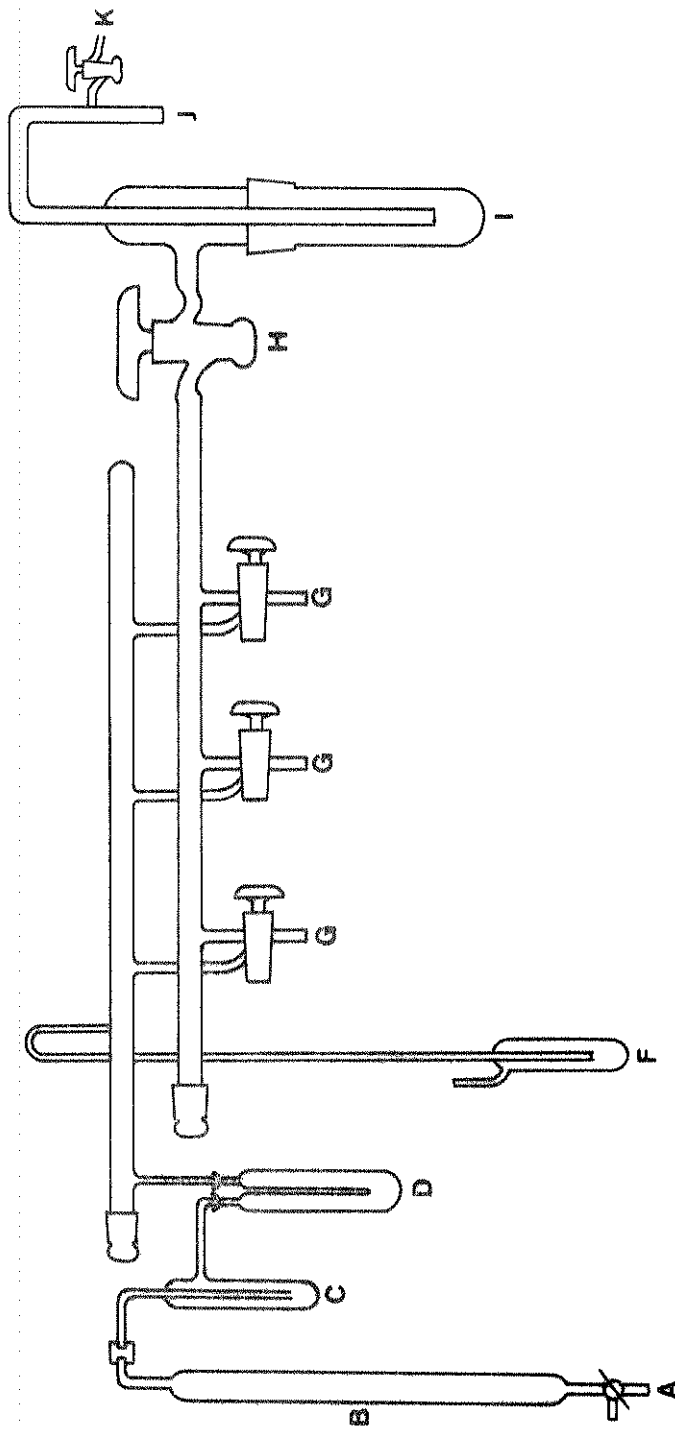


FIGURA 2.1.  
Sistema de Vácuo / Nitrogênio Seco

- A = torneira para entrada de N<sub>2</sub>
- B = coluna de secagem (silica gel)
- C = "trap."
- D = "trap" resfriado com N<sub>2</sub> líq.
- F = manômetro de segurança
- G = torneira de N<sub>2</sub>/vácuo
- H = torneira de segurança
- I = "trap" de segurança resfriado co N<sub>2</sub> líq.
- J = extremidade ligada à bomba de vácuo
- K = torneira para entrada de ar no sistema

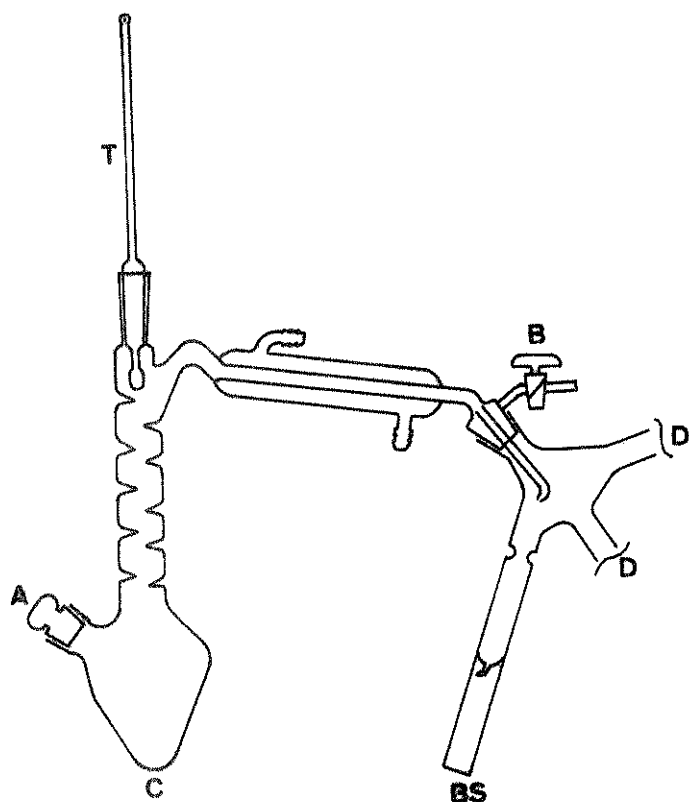


FIGURA 2.2

Sistema para destilação do  $SbCl_5$ A = tampa para colocação do  $SbCl_5$ 

B = torneira conectada ao sistema de vácuo

C = recipiente de destilação

D = extremidade pra retirada da "cabeça de destilação"  
ou fixação de outro "break-seal"

BS= "break-seal"

T = termômetro

Tabela 2.1

Propriedades do Pentacloro de Antimônio (25)

---

Líquido de coloração amarela; na temperatura ambiente libera fumos brancos em contacto com a umidade do ar.

Peso Molecular	299,02
Densidade (20,9°C)	2,34 g/cm <sup>3</sup>
Pressão de vapor (55°C)	7,1 mm Hg
Calor de vaporização (67°C)	11,050 cal/g
Índice de refração	1,5910
Ponto de Fusão	2,8°C
Ponto de Ebulição (22 mm Hg)	77°C

---

pa A, por onde é adicionado, o  $SbCl_5$  que vai ser purificado. A tam pa A é recolocada e a torneira B é fechada. A seguir evaca-se o sistema, da linha de vácuo até a torneira B. Abre-se a torneira B, gradualmente, e aquece-se o recipiente C com banho de ar quente. Recolhe-se alguns mililitros do destilado em D, e o restante do produto no "break-seal" calibrado. Sob vácuo o "break-seal" é selado e guardado ao resguardo da luz.

#### 2.d. Preparação dos Complexos

Inicialmente fizemos várias tentativas de síntese usando destilação à vácuo "trap a trap". Estas sínteses não deram resultados satisfatórios pois se apresentaram vários problemas:

- i. dificuldade no controle das quantidades de reagentes,
- ii. proliferação de vapores de  $SbCl_5$  por todo sistema de vácuo,
- iii. dificuldade para adição do solvente,
- iv. impossibilidade de se isolar o complexo por filtração.

Sendo assim, resolvemos trabalhar com uma linha de vácuo/ $N_2$  seco e vidraria tipo Schlenk § 14/35 com algumas modificações (26).

Em consulta à literatura pudemos verificar que, apesar da grande quantidade de compostos preparados, muito pouca informação é relatada. Em vista disto nos permitimos entrar em detalhes sobre estas preparações, já que este procedimento desenvolvido, acreditamos, apresenta um caráter geral, podendo ser usado para a síntese de complexos onde os reagentes ou os produtos apresentem elevada higroscopidez.

Tanto as destilações quanto as sublimações dos ligantes foram realizadas minutos antes da preparação dos complexos.

A preparação dos compostos envolvendo os ligantes líquidos  $\text{POCl}_3$ ,  $\text{SeOCl}_2$ , HMTP, DMAP, DDP, DMF e DMA foi feita usando-se o seguinte procedimento geral:

Os dois "break-seals", um contendo o  $\text{SbCl}_5$  e outro o ligante, foram soldados num frasco de reação do tipo que aparece na figura 2.3. Em seguida o sistema foi evacuado e aquecido por algum tempo para se eliminar a umidade residual. Resfriou-se o frasco de reação FR com  $\text{N}_2$  líquido e, por meio de um imã externo, quebrou-se a extremidade em ponta sendo liberado o  $\text{SbCl}_5$  que congelou no fundo do frasco de reação. Admitiu-se nitrogênio seco no sistema por Tl e, através da tampa A, introduziu-se, usando-se uma seringa (previamente seca), 15 ml do solvente. A tampa A foi recolocada, a admissão de  $\text{N}_2$  interrompida e o sistema deixado até atingir a temperatura ambiente, onde temos uma solução de  $\text{SbCl}_5$ . Em seguida resfriou-se o frasco de reação (FR) com uma mistura de gelo e água e, sob agitação, quebrou-se o "break-seal" do ligante. Após alguns segundos de contacto entre os reagentes tivemos a formação de um precipitado. Fez-se um pouco de vácuo no frasco de reação e deixou-se sob agitação constante por ca. 30 minutos.

O isolamento do complexo foi feito usando-se um esquema mostrado na figura 2.4.

Admitindo-se uma forte corrente de nitrogênio pela torneira do frasco de reação (FR), colocou-se em A um sistema contendo um funil de filtração de placa porosa (FF), e um frasco coletor (FC). Girou-se o sistema de  $180^\circ$  sendo a solução e o precipitado transferidos para o funil (FF). Interrompeu-se o fluxo de  $\text{N}_2$  pela torneira do frasco de reação (FR) e passou-se a admitir  $\text{N}_2$  pela torneira do funil (FF) podendo assim ser retirado o frasco de reação (FR), em cujo lugar foi colocada uma tampa. Após todo filtrado ter passado para o frasco coletor (FC), pela ação da pressão

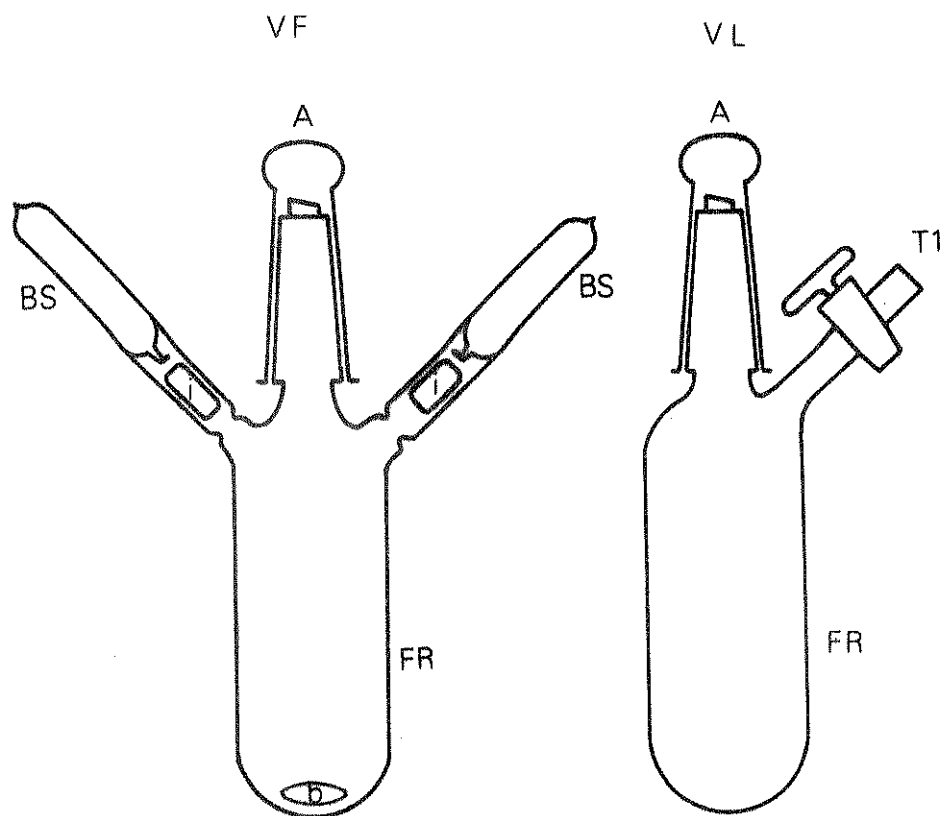


FIGURA 2.3.

Frasco de reação (FR) com os "break-seals"

VF = vista frontal , VL = vista lateral

i = imã interno

b = barra de agitação

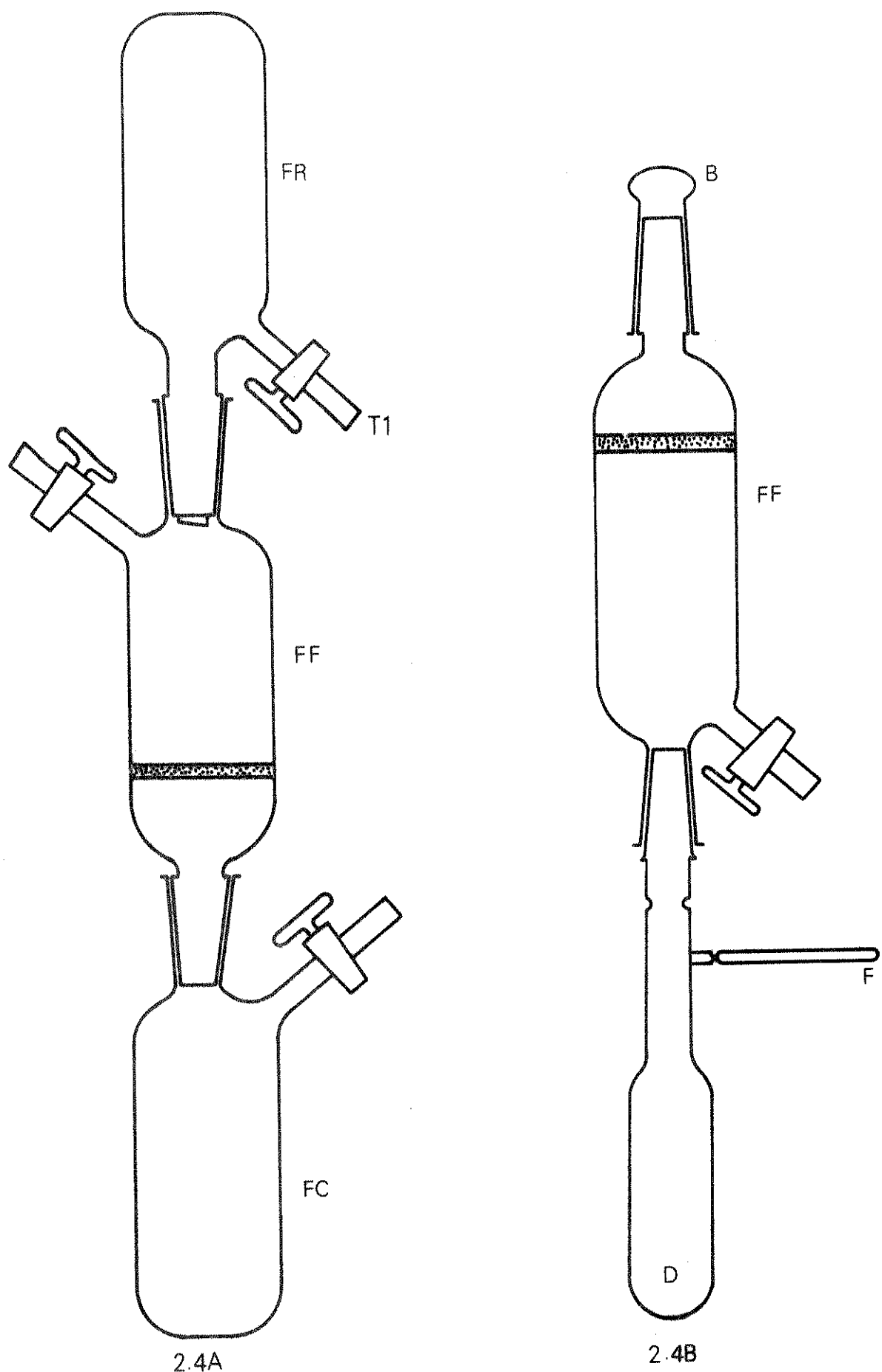
A= tampa

T1 = torneira vácuo/ $N_2$  seco

BS= "break-seal"

FIGURA 2.4.

43



Sistema usado para o isolamento dos complexos.

do N<sub>2</sub>, este foi resfriado com nitrogênio líquido. Interrompeu-se a passagem de N<sub>2</sub> pela torneira do funil (FF) e passou-se a evacuar o sistema pela torneira do frasco coletor (FC), tomando-se o cuidado de ter sempre um "trap" intermediário, resfriado com nitrogênio líquido, entre (FC) e a linha de vácuo/N<sub>2</sub>. Após esta secagem inicial introduziu-se N<sub>2</sub> pela torneira do funil (FF), sendo retirado o frasco coletor (FC), em cujo lugar foi colocada uma tampa (B). Feito isto foi feita uma secagem mais efetiva evacuando-se o funil (FF) por ca. 1 hora. Sob forte fluxo de nitrogênio o complexo foi triturado em (FF) e novamente submetido ao vácuo. Esta operação foi repetida 2 ou 3 vezes.

Sob atmosfera de nitrogênio foi acoplado ao funil (FF) o sistema que aparece na figura 2.4 B. Todo o sistema foi evacuado por ca. 30 minutos. O complexo contido em (FF) foi transferido para a ampola D. Parte do sólido foi transferido para o tubo de Raman F o qual, juntamente com D, foi selado à vácuo.

Para o caso dos ligantes sólidos o procedimento geral sofreu algumas modificações. O ligante TMPO foi sublimado antes da preparação usando-se um sublimador proposto por Brauer (27), que é apresentado na figura 2.5. Transferiu-se o material a ser sublimado para um recipiente do tipo de E onde foi feito vácuo por 2 horas. Em seguida, sob forte corrente de nitrogênio, o material foi transferido para a extremidade do sublimador B através de um tubo que, posteriormente, foi retirado. Fechou-se o sistema colocando-se uma tampa na extremidade C, fez-se vácuo através da torneira T e aqueceu-se a extremidade B com uma pistola de ar quente. O material sublimado depositou-se na posição E. Sob nitrogênio o material foi raspado com uma espátula de vidro sendo recolhido no recipiente, previamente pesado. Submeteu-se este sis-

Sistema de Sublimação

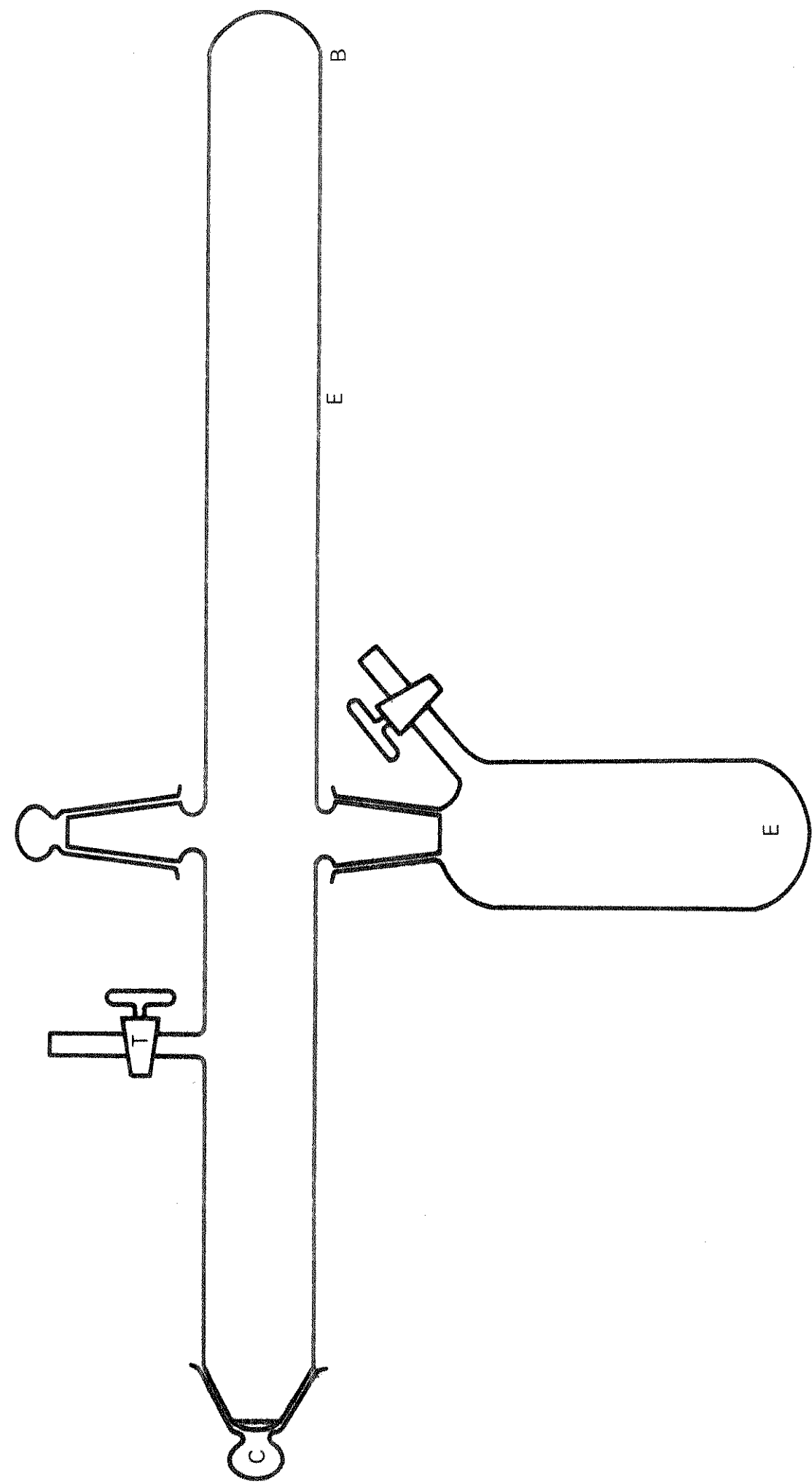


FIGURA 2.5.

tema ao vácuo por mais 30 minutos; ainda sob nitrogênio adicionou-se ~10 ml de solvente e, com uma seringa, transferiu-se esta solução para o frasco de reação (FR), onde já havia uma solução de  $SbCl_5$  preparada como já foi descrito. Após o contacto dos reagentes houve a formação de um precipitado que foi isolado de maneira análoga aos outros complexos. Os complexos com os ligantes TTPO e  $DMSO_2$  foram preparados de maneira similar, exceto a etapa de sublimação.

Com relação aos ligantes TMU, BN, ACN, AN e DMSO os complexos foram preparados usando-se reações entre soluções de  $SbCl_5$  e soluções dos referidos ligantes, preparadas em atmosfera de nitrogênio seco e transferidas para o frasco de reação (FR), através de seringa. No mais seguiu-se o mesmo procedimento descrito nos casos anteriores.

Na tabela 2.2 são apresentados os solventes empregados, a estabilidade dos complexos ao ar e sua coloração.

#### 2.e. Espectros Infra-Vermelho

Os espectros infra-vermelho dos complexos e ligantes foram obtidos na região de 4000-160  $cm^{-1}$  num espectrofotômetro Perkin-Elmer modelo 180. Para os ligantes líquidos usou-se a técnica de filmes em janelas de CsI, KBr e NaCl. Para os complexos e ligantes sólidos foi usada a técnica de "mull," usando-se como líquidos de dispersão Nujol seco (28), Uvasol e Fluorolube, entre janelas de KBr e polietileno.

As freqüências das bandas observadas foram corrigidas usando-se as freqüências das bandas do poliestireno. A precisão das medidas é da ordem de 2  $cm^{-1}$  para a região de 4000 a 2000  $cm^{-1}$  e,

Tabela 2.2

Solventes utilizados na síntese, estabilidade ao ar  
e cor dos complexos

Ligante	Solvente	Estabilidade <sup>(1)</sup> ao ar	cor do sólido
HMTP	CCl <sub>4</sub>	+	amarelo forte
TTPO	HCCl <sub>3</sub>	+	branco
TMPO	HCCl <sub>3</sub>	+	branco
DMAP	CCl <sub>4</sub>	+	amarelo médio
DMF	CCl <sub>4</sub>	+	branco
DMA	CCl <sub>4</sub>	+	branco
TMU	CCl <sub>4</sub>	+	amarelo forte
DMSO	CCl <sub>4</sub>	+	branco
DDP	CCl <sub>4</sub>	++	amarelo fraco
DMSO <sub>2</sub>	HCCl <sub>3</sub>	++	branco
POCl <sub>3</sub>	CCl <sub>4</sub>	+++	amarelo fraco
AN	CCl <sub>4</sub>	+++	amarelo fraco
BN	CCl <sub>4</sub>	+++	amarelo médio
ACN	CCl <sub>4</sub>	+++	amarelo fraco
SeOCl <sub>2</sub>	CCl <sub>4</sub>	+++	amarelo fraco

- (1) +++ extremamente higroscópico, (desaparece imediatamente em contacto com o ar).  
 ++ pode ser manipulado em câmara seca até ~10% de umidade.  
 + pode ser manipulado ao ar (~40% de umidade).

(\*) (Obs.: Em todas as preparações foram usados  $2,0 \times 10^{-2}$  moles, tanto do ligante como do SbCl<sub>5</sub>).

de 3  $\text{cm}^{-1}$ , para a região de 2000 a 160  $\text{cm}^{-1}$ .

#### 2.f. Espectros Raman

Os espectros Raman dos ligantes e complexos foram obtidos para amostras cristalinas ou líquidas, em capilares de Pyrex selados, na região de 4000-30  $\text{cm}^{-1}$ , usando-se os espectrômetros Cary modelo 82 (Inst. de Química da Unicamp), e Jarrel-Ash modelo 25-300 (Laboratório de Espectroscopia Molecular do Inst. de Química da USP). Usaram-se como linhas de excitação as radiações de 488,0 nm (azul), 514,5 nm (verde) do laser de íon de Argônio e 638,0 nm (vermelho) do laser de Hélio-Neônio.

Para o complexo  $\text{SbCl}_5 \cdot \text{HMTP}$  o espectro foi obtido usando-se a técnica de pastilha. Foram também obtidos os espectros das amostras fundidas de  $\text{SbCl}_5 \cdot \text{POCl}_3$  e  $\text{SbCl}_5 \cdot \text{SeOCl}_2$ , com polarização. Na tabela 2.3 são mostradas as linhas de excitação empregadas na obtenção de todos os espectros Raman.

Tabela 2.3

Linhas de excitação empregadas nos espectros Raman

Ligantes	Linha de exc. (nm)	Complexos	Linha de exc. (nm)
POCl <sub>3</sub>	-	SbCl <sub>5</sub> .POCl <sub>3</sub>	514,5
TMPO	638,0	SbCl <sub>5</sub> .TMPO	514,5
TTPO	514,5	SbCl <sub>5</sub> .TTPO	514,5
HMTP	488,0	SbCl <sub>5</sub> .HMTP	638,0
DMAP	488,0	SbCl <sub>5</sub> .DMAP	488,0
DDP	488,0	SbCl <sub>5</sub> .DDP	488,0
DMF	488,0	SbCl <sub>5</sub> .DMF	514,5 e 638,0
DMA	638,0	SbCl <sub>5</sub> .DMA	638,0
TMU	638,0	SbCl <sub>5</sub> .TMU	638,0
AN	638,0	SbCl <sub>5</sub> .AN	514,5
BN	638,0	SbCl <sub>5</sub> .BN	638,0
ACN	638,0	SbCl <sub>5</sub> .ACN	638,0
DMSO	638,0	SbCl <sub>5</sub> .DMSO	638,0
DMSO <sub>2</sub>	638,0	SbCl <sub>5</sub> .DMSO <sub>2</sub>	638,0
SeOCl <sub>2</sub>	-	SbCl <sub>5</sub> .SeOCl <sub>2</sub>	514,5

2.g. Bibliografia

1. A. Michaelis e H. Von Saden, Ann., 229, 285 (1885).
2. F. A. Cotton, R. D. Barnes e E. Banister, J. Chem. Soc., 2199, (1960).
3. I. Lindqvist e G. Olofsson, Acta Chem. Scand., 13, 1753 (1959).
4. P. Lester, U.S. Patent, 2, 678, 335 (1954); C. A. 49: 6300 g (1955); E. N. Walsh e A. D. F. Toy, Inorg. Synt., 7, 71 (1963).
5. H. Tolkmith, J. Am. Chem. Soc., 75, 5270 (1953).
6. N. F. Almeida, J. R. Piedade e D. A. Souza, "Química dos Pesticidas", Ed. do Fundo de Pesquisas do Inst. Biológico de S. P. São Paulo, 29 (1962).
7. R. Keat e R. A. Shaw, J. Chem. Soc., 4802 (1965).
8. A. H. Cowley e R. Pinnel, J. Am. Chem. Soc., 87, 4454 (1965).
9. J. F. Nixon e R. Schumutzer, Spectrochim. Acta, 22, 565 (1966).
10. A. Michaelis, Ann., 326, 179 (1903); M. Pianka e B. D. Owen, J. appl. Chem., 5, 525 (1955).
11. E. N. Walsh e A. D. F. Toy, Inorg. Synt., 7, 69 (1963).
12. G. Martin e A. Bernard, Compt. rend., 257, 898 (1963).
13. D. T. Mac Allan, T. V. Cullun, R. A. Dean e F. A. Fidler, J. Am. Chem. Soc., 73, 3627 (1951).
14. I. Lindqvist e M. Zackrisson, Acta Chem. Scand., 14, 453 (1960).
15. G. B. L. Smith e J. Jackson, Inorg. Synt., 3, 130 (1950).
16. W. L. Driesssen e W. L. Groeneveld, Rec. trav. chim., 87, 786 (1968).
17. H. Brusset, P. Delvalle, J. Garcin e P. Rajaonera, Bull. Soc. Chim. France, 3800 (1969).
18. V. J. Traynelis, W. L. Hergenrother, J. R. Livingston e J. A. Valicenti, J. Org. Chem., 27, 2377 (1962).
19. D. Brown e P. J. Jones, J. Chem. Soc. (A), 247, (1967).
20. T. L. Brown e M. Kubota, J. Am. Chem. Soc., 83, 331 (1961).
21. J. C. Bevington, Trans. Far. Soc., 55, 1777 (1957).
22. G. Durgaprasad, D. N. Sathyanarana e C. Patel, Bull. Chem. Soc. Japan, 44, 316 (1971).

23. R. C. Weast, "Handbook of Chemistry and Physics", Chemical Rubber Co., 50 a ed., Cleveland, (1969-1970).
24. C. D. Schmulbach e R. S. Drago, J. Am. Chem. Soc., 82, 4484 (1960).
25. P. Pascal, Ed., "Noveau Traité de Chimie Minérale", Masson, Paris (1956).
26. D. F. Shriver, "The Manipulation of Air-sensitive Compounds", McGraw-Hill, New York, 145 (1969).
27. G. Brauer, "Handbook of Preparative Inorganic Chemistry", 2a. Ed., Academic Press, London (1963).
28. I. R. Beattie M. Webster, J. Chem. Soc., 38 (1963).

### 3. ATRIBUIÇÃO DAS FREQUÊNCIAS

#### 3.a. Preliminares

A atribuição das freqüências dos espectros infra-vermelho e Raman dos ligantes foi feita mediante comparação com resultados da literatura, visto que muitos dos ligantes já tiveram o seu espeetro vibracional estudo de maneira detalhada.

Os dados experimentais e as respectivas atribuições são a presentados nas tabelas de 3.4 à 3.18. O(s) número(s) que aparece(m) na coluna "atribuição tentativa" dizem respeito às referências bibliográficas consultadas.

Nas tabelas são usados os seguintes símbolos:

##### i. intensidade

vvs = muito muito forte

vs = muito forte

s = forte

m = média

w = fraca

vw = muito fraca

vvw = muito muito fraca

sh = ombro

br = larga

##### ii. descrição aproximada

v = estiramento

p = "rocking"

ω = "wagging"

δ = outras deformações

τ = torção

s = simétrico, a = assimétrico

Os dados experimentais e as respectivas atribuições dos complexos são apresentados nas tabelas de 3.19 a 3.33. Tais atribuições foram feitas de modo comparativo com os ligantes livres e assumindo uma simetria  $C_{4v}$  para a parte  $SbCl_5^L$  ( $L = O, N$ ).

### 3.b. Regras de Seleção

Admitindo-se uma simetria  $C_{4v}$  para os "esqueletos"  $SbCl_5^O$  e  $SbCl_5^N$  podemos esperar  $(3N-6)$  15 graus de liberdade vibracional. Mediante a aplicação da teoria de Grupo podemos ter estes graus de liberdade classificados de acordo com as espécies de simetria deste grupo.

Na tabela 3.1 é apresentada a Tabela de Caracteres para o grupo pontual  $C_{4v}$ .

Tabela 3.1

Tabela de Caracteres  $C_{4v}$  (1)

$C_{4v}$	E	$2C_4$	$C_2$	$2\sigma_v$	$2\sigma_d$		
$A_1$	1	1	1	1	1	$z$	$x^2 + y^2, z^2$
$A_2$	1	1	1	-1	-1	$R_z$	
$B_1$	1	-1	1	1	-1		$x^2 - y^2$
$B_2$	1	-1	1	-1	1		$xy$
E	2	0	-2	0	0	$(x, y), (R_x, R_y)$	$(xz, yz)$

Aplicando-se a equação:

$$N_i = 1/h \sum n_e E(R) \chi_i(R) \quad (2)$$

onde:

$N_i$  = número de vibrações da espécie i  
 $h$  = ordem do grupo  
 $n_e$  = número de elementos de cada classe  
 $\chi_i(R)$  = caráter da espécie i

e

$\Xi(R)$  = caráter representativo da operação de simetria que pode ser dado por:

$$\begin{aligned}\Xi(R) &= (U_R^{-2})(1+2\cos\theta) && \text{operação própria} \\ \Xi(R) &= U_R (-1+2\cos\theta) && \text{operação imprópria}\end{aligned}$$

onde:

$U_R$  = número de átomos que permanecem inalterados após a operação de simetria

$\theta$  = ângulo de rotação

Podemos obter a seguinte representação:

$$\Gamma(C_{4v}) = 4a_1 + 2b_1 + b_2 + 4e$$

Os modos de espécie  $a_1$  e  $e$  são ativos, tanto no espectro infra-vermelho quanto no Raman, ao passo que os modos de espécie  $b_1$  e  $b_2$ , são ativos somente no espectro Raman.

Dentro desta representação os átomos do sistema  $SbCl_5L$  podem descrever, aproximadamente, os movimentos apresentados na tabela 3.2.

Tabela 3.2

Descrição aproximada dos modos normais para o  $SbCl_5L$

Especie	Descrição Aproximada	Notação
$a_1$	estiramento antimônio-cloro axial	$\nu(SbCl)_{ax}$
	estiramento antimônio-cloro equatorial	$\nu(SbCl)_{eq}$

Tabela 3.2 - continuação

Espécie	Descrição Aproximada	Notação
$b_1$	estiramento antimônio-ligante	$\nu(SbL)$ $L=O, N$
	deformação $SbCl_4$ fora do plano	$\delta(SbCl_4)_{op}$
$b_2$	estiramento antimônio-cloro equatorial	$\nu(SbCl)_{eq}$
	deformação $SbCl_4$ fora do plano	$\delta(SbCl_4)_{op}$
$e$	deformação $SbCl_4$ no plano	$\delta(SbCl_4)_{ip}$
	estiramento antimônio-cloro equatorial	$\nu(SbCl)_{eq}$
$e$	deformação $L-SbCl_4$	$\delta(L-SbCl_4)$
	deformação cloro axial- $SbCl_4$	$\delta(Cl'-SbCl_4)$
	deformação $SbCl_4$ no plano	$\delta(SbCl_4)_{ip}$

A tabela 3.3 apresenta uma tabulação destes resultados.

Tabela 3.3

	$C_{4v}$	$(SbCl)$ est.	$(SbCl')$ est.	$(SbL)$ est.	$(SbCl_4)_{op}$ def.	$(SbCl_4)_{ip}$ def.	$(L-SbCl_4)$ def.	$(Cl'-SbCl_4)$ def.	Total
$a_1$	1	1	1	1	0	0	0	0	4
$a_2$	0	0	0	0	0	0	0	0	0
$b_1$	1	0	0	1	0	0	0	0	2
$b_2$	0	0	0	0	1	0	0	0	1
$e$	1	0	0	0	1	1	1	1	4
Total	3	1	1	2	2	1	1	1	11

def. = deformação

Cl = cloro equatorial

est. = estiramento

Cl' = cloro axial

A figura 3.1 mostra uma descrição aproximada dos modos normais para as espécies  $a_1$ ,  $b_1$ ,  $b_2$  e  $e$ .

Pela tabela 3.3 podemos esperar 3 estiramentos devido aos cloros equatoriais ( $a_1$ ,  $b_1$  e  $e$ ) e um proveniente do cloro axial ( $a_1$ ).

Os espectros Raman apresentam um perfil de bandas bastante semelhantes para todos os complexos estudados na região onde são esperadas as vibrações  $\nu(\text{SbCl})$ , ou seja, uma banda de intensidade média ao redor de  $290\text{-}300 \text{ cm}^{-1}$ , duas bandas fortes na região de  $313\text{-}350 \text{ cm}^{-1}$  e, por último, uma banda fraca, ou na forma de ombro, nas proximidades de  $360\text{-}370 \text{ cm}^{-1}$ .

Através de medidas dos espectros Raman, das amostras fundidas, dos complexos  $\text{SbCl}_5\text{POCl}_3$  e  $\text{SbCl}_5\text{SeOCl}_2$  verificamos que a banda existente na região de  $290\text{-}300 \text{ cm}^{-1}$  é depolarizada, podendo ser atribuída à espécie  $b_1$  ou  $e$ . Pelo fato desta banda não aparecer nos espectros infra-vermelho ela foi atribuída como pertencendo a vibração  $\nu(\text{SbCl})_{eq}$ , de espécie  $b_1$ .

As duas bandas intensas na região de  $313\text{-}350 \text{ cm}^{-1}$  são polarizadas, daí poderem ser atribuídas às vibrações  $\nu(\text{SbCl})_{ax}$  e  $\nu(\text{SbCl})_{eq}$ , de espécie  $a_1$ , já que também são ativas no infra-vermelho, porém com intensidade mais fraca. Atribuimos  $\nu(\text{SbCl})_{ax} > \nu(\text{SbCl})_{eq}$  de acordo com outros autores (3). Por exclusão, a banda fraca, na região de  $360\text{-}370 \text{ cm}^{-1}$  no espectro Raman e, muito forte, no espectro infra-vermelho foi atribuída ao  $\nu(\text{SbCl})_{eq}$  de espécie  $e$ .

As freqüências de estiramento Sb-O e Sb-N foram atribuídas na região de  $380\text{-}530 \text{ cm}^{-1}$  e  $220\text{-}240 \text{ cm}^{-1}$ , respectivamente, devido ao aparecimento de uma banda inexistente no ligante livre.

De acordo com a tabela 3.3 podemos esperar seis deformações

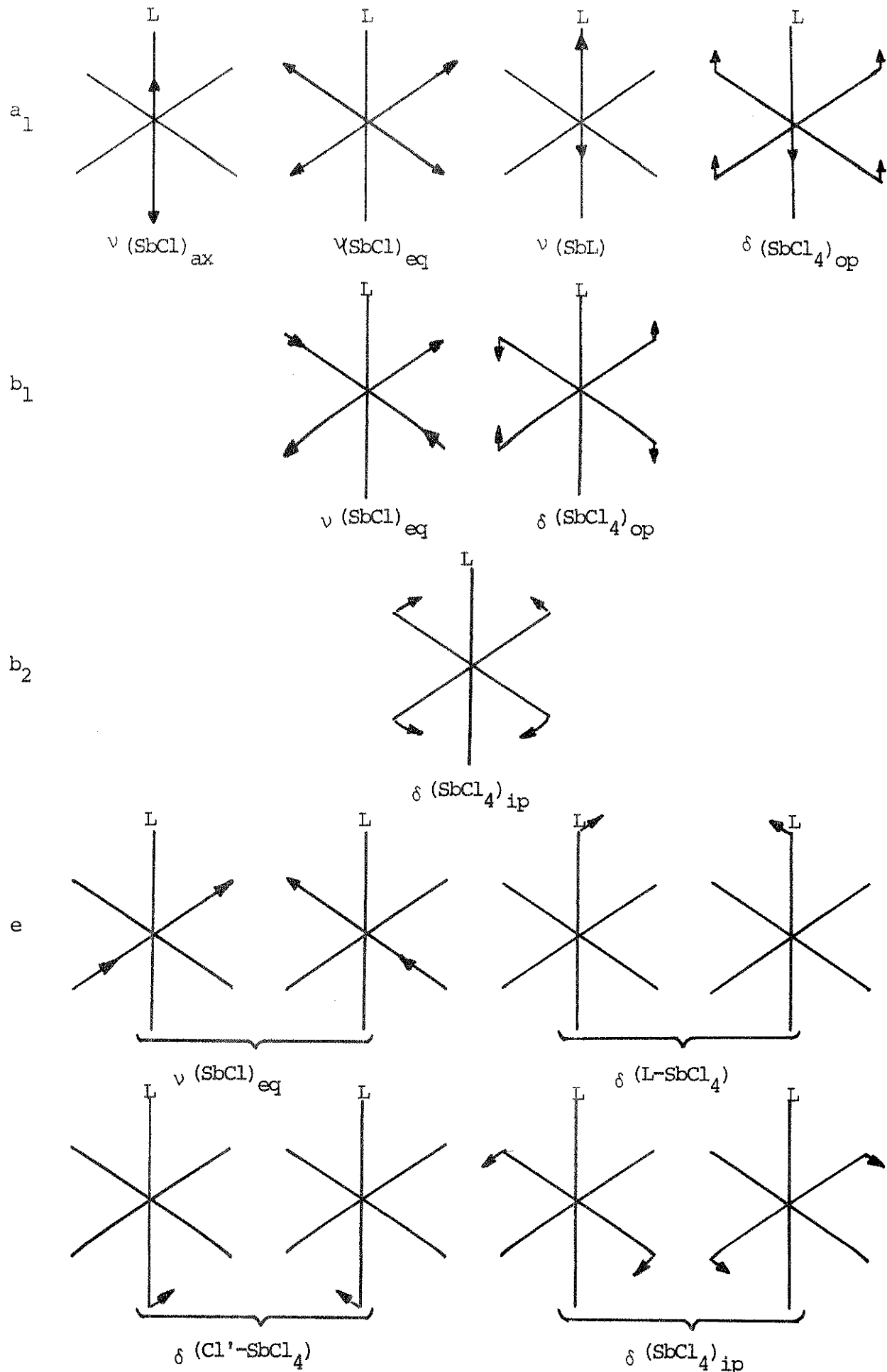


FIGURA 3.1.

Descrição aproximada dos modos normais para

o modelo  $\text{SbCl}_5\text{L}$  ( $\text{L}=0, \text{N}$ )

ções ( $1a_1$ ,  $1b_1$ ,  $1b_2$  e  $3e$ ), todas ativas no espectro Raman. Estas freqüências de deformação aparecem em regiões mais baixas do espectro ( $90-190\text{ cm}^{-1}$ ) e, geralmente, apresentam intensidade fraca. A banda depolarizada, de intensidade média, que aparece na região de  $180\text{ cm}^{-1}$ , foi atribuída à  $\delta(\text{SbCl}_4)_{ip}$ , de espécie  $b_2$ , em comparação com a banda  $\delta(\text{SbCl}_4)$ , de espécie  $f_{2g}$ , do ânion  $\text{SbCl}_6^-$ . As outras bandas foram atribuídas fazendo-se tentativas.

Tabela 3.4

Freqüências observadas e atribuições tentativas do HMTP

Infra-vermelho	Raman	Atribuição tentativa (4), (5), (6), (7)
228s	234w,br	$\rho_a$ ( $NC_2$ )
280m	280s	$\delta_a$ ( $NC_2$ )
300sh		$\delta_s$ ( $NC_2$ )
355m	350vs	$\delta_s$ ( $PN_3$ )
390m	380s	$\delta$ (OPN)
483s	486s	$\delta$ (PNC)
631vw	632vvs	$\nu_s$ (PN)
744vvs	740m,br	$\nu_a$ (PN)
976sh	976s	$\nu_s$ (NC)
982vs,br	988vw	
1067m	1068m	$\nu_a$ (NC)
1106vuw	1108w	$\rho_a$ ( $CH_3$ )
1149sh	1148vw	
1172sh		$\rho_a$ ( $CH_3$ )
	1198w	
1208vvs	1209m	$\nu$ (PO)
1296vvs	1297w,br	$\rho_s$ ( $CH_3$ )
1415vuw	1409s	
1440sh	1438s,br	$\rho_s$ ( $CH_3$ )
1465m	1454s	
1480m,br	1485s	$\delta_a$ ( $CH_3$ )
2795m	2800m	
2835m	2843m	$\nu_s$ ( $CH_3$ )
2870s		
2880vuw		
2910sh	2900vs,br	$\nu_s$ ( $CH_3$ )
	2920vs,br	
2985m		$\nu_a$ ( $CH_3$ )
	3000s	

Tabela 3.5

Frequências observadas e atribuições tentativas do DMAP

Infra-vermelho	Raman	Atribuição tentativa (4), (6)
	182w,br	
250vw	255w,br	$\delta_a(NC_2)$
280vvw		$\delta_s(NC_2)$
290vvw	296m	
323vvw		$\delta_s(PN_2)$
	350sh	
365vvw	372vs	$\delta(OPN)$
442sh	446vw	$\delta(PNC)$
462m	466w	
530s	538m,br	$\nu(PC1)$
	632w	
670s	674s	$\nu_s(PN)$
755s	756m	$\nu_a(PN)$
990vs,br	994m,br	$\nu_s(NC)$
1015sh	1010sh	$\nu_a(NC)$
1062m	1066m	$\nu_a(NC)$
	1105vvw	
1140sh	1150vvw	$\rho_a(CH_3)$
1171m,br		
1211sh		
1235m	1238m	$\nu(PO)$
1300s,br	1304w	$\rho_s(CH_3)$
1418vvw	1413m	$\delta_s(CH_3)$
1455s	1445s	
1480m	1486m	$\delta_a(CH_3)$
2820m	2813w	
	2854w	$\nu_s(CH_3)$
2880w		
2915s,br	2915sh	
	2949s,br	$\nu_a(CH_3)$
3010w	3007m,br	

Tabela 3.6

Freqüências observadas e atribuições tentativas do TTPO

Infra-vermelho	Raman	Atribuição tentativa (8), (9), (10), (11)
	164s	[ X e X' (X-sens) *
	192w,br	
	257s	u' (X-sens)
260vw	267sh	u (X-sens)
290m	293w	t' (X-sens)
300m	307w	
398vvw	401vw	w Ø (CC)
450s	455vvs	t (X-sens)
500vs	500vvw	
540vvs	542vvw	y (X-sens)
615w	618s	sα (CCC)
695vvs	688s	v Ø (CC)
720vvs	723vw	r (X-sens)
748s		[
755s		fγ (CH)
760s		
862w	861vw	gγ (CH)
940m	943vvw	iγ (CH)
975w	980sh	hγ (CH)
1000s	1000vs	p anel
1019m	1025s	bβ (CH)
1070s		
1091w	1096w	2y
1120vs	1120w,br	q (X-sens)
1161s	1168w	cβ (CH)

\* Notação de Whiffen vide ref. (10).

Tabela 3.6 - continuaçāo

Infra-vermelho	Raman	Atribuição tentativa
1178sh	1182sh	a $\beta$ (CH)
1190vvvs	1189m	v (PO)
1278w		e $\beta$ (CH)
1310m		w+i
1430s		nv (CC)
1438s	1440vvw	
1482m		mv (CC)
1575vvw	1578w	lv (CC)
1590w	1593s	kv (CC)
3025m		v (CH)
3045w		v (CH)
	3060s	v (CH)
	3077w	v (CH)

Tabela 3.7

Freqüências observadas e atribuições tentativas do TMPO

Infra-vermelho	Raman	Atribuição tentativa (12), (13), (14), (15), (16)
257s	250m	$\delta_a$ (CPC)
313s	321m	$\delta_s$ (CPC)
369s	364s	$\delta$ (OPC)
663vs	669vs	$\nu_s$ (PC)
741vs	743s	$\nu_a$ (PC)
805s		
860vs	860vw	$\rho$ ( $\text{CH}_3$ )
872vs		
941vs	949vw	
1160vvvs	1150m	$\nu$ (PO)
1259vw		
1284vw	1292vvw	$\delta_s$ ( $\text{CH}_3$ )
1260s		
1333m		
1413m	1409m	
1419w		
1433m	1438m	$\delta_a$ ( $\text{CH}_3$ )
1441m	1449m	
1486s		
1612vw		b.c.*
1673vw		b.c.
2937m	2945vs	$\nu_s$ ( $\text{CH}_3$ )
2998m	2980s	$\nu_a$ ( $\text{CH}_3$ )

\* b.c. banda de combinação.

Tabela 3.8

Freqüências observadas e atribuições tentativas do DDP

Infra-vermelho	Raman	Atribuição tentativa (4), (6), (17)
	126w,br	
	192s	$\delta_a$ (PCl <sub>2</sub> )
	224s	$\rho_a$ (NC <sub>2</sub> )
	273vvw	$\delta$ (PNCl)
319m	320m	$\delta$ (OPCl)
351w	354vs	
390w	390vvs	$\delta$ (PNC)
400w		
515vvs	518m	$\nu_s$ (PCl)
560vvs,br	565vw	$\nu_a$ (PCl)
723vvs	726m,br	$\nu$ (PN)
990vvs	992w,br	$\nu_s$ (NC)
1062m	1068vw,br	$\nu_a$ (NC)
1170s	1170vvw	$\rho_a$ (CH <sub>3</sub> )
1265vvs	1266m	$\nu$ (PO)
1305vvs	1312vw,br	$\rho_s$ (CH <sub>3</sub> )
	1416w,br	$\delta_s$ (CH <sub>3</sub> )
1455s	1446m	
1480s	1482w,br	$\delta_a$ (CH <sub>3</sub> )
2830w		$\nu_s$ (CH <sub>3</sub> )
2865w	2860w,br	
2940s,br		$\nu_a$ (CH <sub>3</sub> )
	2969w,br	
3010vvw	3014w,br	

Tabela 3.9Freqüências observadas e atribuições tentativas  $\text{POCl}_3$ 

Raman*	Atribuição tentativa
192s	$\delta_a(\text{PCl}_2)$
269w	$\delta_s(\text{PCl}_2)$
338m	$\delta(\text{OPCl})$
485vv	$\nu_s(\text{PCl})$
582vw	$\nu_a(\text{PCl})$
1298w	$\nu(\text{PO})$

\* Dados de espectro Raman obtidos da ref. (4).

Tabela 3.10

Freqüências observadas e atribuições tentativas do DMA

Infra-vermelho	Raman	Atribuição tentativa (18),(19),(20),(21)
254w		$\delta$ (C'NC')
337w		$\delta$ (C'NC')
386vw		$\delta$ (C'NC')
471m	473w	$\delta$ (CCO)
587vs	590m	$\delta$ (OCN)
735w	736vvs	$\nu_s$ (NC')
958vw	957s	$\nu$ (CC)
1010vvs	1013w	$\nu_a$ (C'N)
1056vw	1060vvw	$\rho$ (CH <sub>3</sub> ) [N(CH <sub>3</sub> )]
1181vs	1184vw	$\rho$ (CH <sub>3</sub> ) [N(CH <sub>3</sub> )]
1263s	1266vw	$\nu_a$ (NC)
1350m	1354vw	$\delta_s$ (CH <sub>3</sub> ) [C(CH <sub>3</sub> )]
1403vvs	1411s	$\delta_s$ (CH <sub>3</sub> ) [N(CH <sub>3</sub> )]
1462vvw	1451m,br	$\delta_s$ (CH <sub>3</sub> ) [N(CH <sub>3</sub> )]
1496m	1490sh	$\nu$ (NC)
1642vvs	1636s	$\nu$ (CO)
2810vvw	2812vw	$\nu_s$ (CH <sub>3</sub> ) [C(CH <sub>3</sub> )]
	2862m	$\nu_a$ (CH <sub>3</sub> ) [C(CH <sub>3</sub> )]
2927m	2930vs	$\nu_s$ (CH <sub>3</sub> ) [N(CH <sub>3</sub> )]
3010vw	2995vvw	$\nu_a$ (CH <sub>3</sub> ) [N(CH <sub>3</sub> )]

Tabela 3.11

Freqüências observadas e atribuições tentativas do DMF

Infra-vermelho	Raman	Atribuição tentativa (22), (23)
	232w, br	$\tau(\text{CH}_3)$
321m	320m	$\rho(\text{C}'\text{NC}')$
363s	356s	$\delta(\text{C}'\text{NC}')$
405m	407vs	$\delta(\text{C}'\text{NC}')$
663s	659vvs	$\delta(\text{OCN})$
870m	868vs	$\nu_s(\text{C}'\text{N})$
1068w	1064w, br	$\rho(\text{CH}_3)$ ou $\delta(\text{CH})$
1099vs	1092s	$\rho(\text{CH}_3)$
1263s		$\nu_a(\text{C}'\text{N})$
1394vs	1392s	$\delta_s(\text{CH}_3)$ ou $\delta(\text{CH})$
1411s	1406vvs	$\delta(\text{CH})$ ou $\delta_s(\text{CH}_3)$
1448m	1444vvs	$\delta_a(\text{CH}_3)$
1463w		$\delta_a(\text{CH}_3)$
1511m	1510w, br	$\delta_s(\text{CH}_3)$
1679vs	1672m, br	$\nu(\text{CO})$
2860m	2875m, br	$\nu_s(\text{CH}_3)$
2928m		$\nu(\text{CH})$
2942m	2956s, br	$\nu_a(\text{CH}_3)$
	3002vw	

Tabela 3.12

Freqüências observadas e atribuições tentativas do TMU

Infra-vermelho	Raman	Atribuição tentativa (24)
	288m	$\rho$ (NCH)
	380s	$\rho$ (NCH)
	412vvw	
553vw	555s	$\delta$ (NCN)
	578vw	$\delta$ (NCO)
730w	736vv <sub>s</sub>	$\nu_s$ (C'N)
775m	784vw	$\delta$ (CO) op
906m	912m	$\nu_a$ (C'N)
1020w	1023w	$\rho$ ( $\text{CH}_3$ )
1060m	1063w	$\rho$ ( $\text{CH}_3$ )
	1110vw	$\rho$ ( $\text{CH}_3$ )
1140s	1142w	$\rho$ ( $\text{CH}_3$ )
1246vvw	1254w	$\nu_s$ (CN)
1310vvw	1319m	$\delta_s$ ( $\text{CH}_3$ )
1375vs	1377vvw	$\delta$ ( $\text{CH}_3$ )
1410w	1410m	$\delta$ ( $\text{CH}_3$ )
1430w	1430vw	$\delta$ ( $\text{CH}_3$ )
1460w	1457vs	$\delta_s$ ( $\text{CH}_3$ )
1500vs	1495sh	$\nu_a$ (CN)
1640vv <sub>s</sub>	1635vs	$\nu$ (CO)
2810vvw	2800vs	
2850sh	2845vs	
2880sh	2875vs	
2910s	2923vs	
2958s	2948vs	
3020w	3005w	

{  $\nu$  ( $\text{CH}_3$ ) }

Tabela 3.13

Freqüências observadas e atribuições tentativas do DMSO

Infra-vermelho	Raman	Atribuição tentativa (25)
310w	307w	$\delta$ (CSC)
333s	336s	$\delta$ (OSC)
381s	383s	$\delta$ (OSC)
669m	675vvS	$\nu_s$ (CS)
894w	897vvW	$\rho$ ( $\text{CH}_3$ )
930m		$\rho$ ( $\text{CH}_3$ )
1020m		$\rho$ ( $\text{CH}_3$ )
1050vs	1045m	$\nu$ (SO)
1299vvW		$\delta_s$ ( $\text{CH}_3$ )
1310m	1309vvW	$\delta_s$ ( $\text{CH}_3$ )
1409s		$\delta_s$ ( $\text{CH}_3$ )
1422w	1419w	$\delta_s$ ( $\text{CH}_3$ )
1434s		$\delta_a$ ( $\text{CH}_3$ )
2807vvW	2810vvW	b.c.*
2916m	2912vs	$\nu_s$ ( $\text{CH}_3$ )
2998s	2995s	$\nu_a$ ( $\text{CH}_3$ )

\* b.c. = banda de combinação.

Tabela 3.14Freqüências observadas e atribuições tentativas do  $\text{DMSO}_2$ 

Infra-vermelho	Raman	Atribuição tentativa (26), (27)
	69vw	V.R.*
	102vvw	V.R.
	115vvw	V.R.
304s	295m	$\delta(\text{CSC})$
	326s	$\rho(\text{SO}_2)$
388w	392w	$\tau(\text{SO}_2)$
458s	464w	$w(\text{SO}_2)$
495s	496s	$\delta(\text{SO}_2)$
697m	702vvs	$\nu_s(\text{CS})$
759vs	761m	$\nu_a(\text{CS})$
930vs	936vw	$\rho(\text{CH}_3)$
	958vw	$\rho(\text{CH}_3)$
	986vw	$\rho(\text{CH}_3)$
1006vvw	1012w	$\rho(\text{CH}_3)$
1130s	1121vs	$\nu_s(\text{SO})$
1296s	1268w	$\nu_a(\text{SO})$
1313s		$\delta_s(\text{CH}_3)$
1334m	1336vvw	$\delta_s(\text{CH}_3)$
1410m	1404w	$\delta_a(\text{CH}_3)$
1426m	1431w	$\delta_a(\text{CH}_3)$
2934m	2936m	$\nu_s(\text{CH}_3)$
	3017w	
3023m	3025w	$\left[ \nu_a(\text{CH}_3) \right]$

\* V.R. = Vibração de Retículo.

Tabela 3.15

Freqüências observadas e atribuições tentativas do  $\text{SeOCl}_2$

Raman *	Atribuição tentativa
161	$\delta_s$ ( $\text{OSeCl}$ )
255	$\delta_a$ ( $\text{OSeCl}$ )
279	$\delta_s$ ( $\text{ClSeCl}$ )
347	$\nu_a$ ( $\text{SeCl}$ )
388	$\nu_s$ ( $\text{SeCl}$ )
955	$\nu$ ( $\text{SeO}$ )

\* Dados de espectro Raman obtidos da ref. (28).

Tabela 3.16

Freqüências observadas e atribuições  
tentativas do BN (benzonitrila)

Infra-vermelho	Raman	Atribuição tentativa (29), (30), (31)
	111sh	
	170s	(X-sens.) *
382m	378w	$\delta$ (CCN) (X-sens.)
462m	460vs	$\alpha$ (CCC) (X-sens.)
548w	545m	$\beta$ (C≡N) ou $\emptyset$ (CC) (X-sens.)
620w	624m	$\alpha$ (CCC)
687s		$\emptyset$ (CC)
755s	750s	$\gamma$ (CH)
	766s	$\nu$ (CC) (X-sens.)
925s	926vw	$\gamma$ (CH)
963vw		$\gamma$ (CH)
984vw	987vvw	
1001m	999vvs	$\beta$ (CH)
1028s	1025s	$\beta$ (CH)
1069s	1069vw	$\beta$ (CH)
1090m	1095vw	
1174s	1177vs	$\beta$ (CH)
1196s	1193vs	$\nu$ (C-CN) (X-sens.)
1287s	1285vvw	$\beta$ (CH)
1310w	1312vvw	
1331m	1335vvw	$\nu$ (CC)
1442s	1447vw	$\nu$ (CC)
1487s	1490vvw	
1595s	1596vs	$\nu$ (CC)
	2177vw	
2232s	2228vvs	$\nu$ (C≡N)
	2892vvw	
	2971vvw	
3040s	3070s	
	3152vw	
	3193vvw	

{  
 $\nu$  (CH)

\* Notação de Whiffen ref. (10).

Tabela 3.17

Freqüências observadas e atribuições  
tentativas do AN (acetonitrila)

Infra-vermelho	Raman	Atribuição tentativa (32), (33), (34), (35), (36)
377s	380m	$\delta$ (CCN)
753m	750vw	2 $\delta$ (CCN)
918s	917s	$\nu$ (CC)
1048vs		$\rho$ ( $\text{CH}_3$ )
1374s	1375w	$\delta_s$ ( $\text{CH}_3$ )
1421w		$\delta$ (CCN) + $\rho$ ( $\text{CH}_3$ )
1440s, br	1446vw	$\delta_a$ ( $\text{CH}_3$ )
2060vw		
2200w	2204vw	
2250v <sub>s</sub>	2252v <sub>vs</sub>	$\nu$ (C≡N)
2288s	2291w	$\delta_s$ ( $\text{CH}_3$ ) + $\nu$ (CC)
2406m		b.c.*
2628m		b.c.
2941s	2943vs	$\nu_s$ (CH)
3004s	3003vw	$\nu_a$ (CH)

\* b.c. = banda de combinação.

Tabela 3.18

Freqüências observadas e atribuições  
tentativas do ACN (acrilonitrila)

Infra-vermelho	Raman	Atribuição tentativa (31), (37), (38), (39)
	238s	$\delta$ (CCN)
340vvw		
388vw		
470vvw		
574w	566m	$\delta$ (CCC)
688m	687w, br	$\tau$ (CCC)
870vw	871m	$\nu$ (CC)
960vvs	965vvw	
1080w	1085vvw	$\rho$ ( $\text{CH}_2$ )
1280vvw	1285m	$\rho$ (CH)
1410s	1413m, s	$\delta$ ( $\text{CH}_2$ )
	1584w	
1605w	1610vs	$\nu$ (C=C)
2230vs	2227vs	$\nu$ (C≡N)
2280w	2280vw	$\delta$ ( $\text{CH}_2$ ) + $\nu$ (C-C)
3040vw	3035m	$\nu_s$ ( $\text{CH}_2$ )
3075m	3067vvw	$\nu$ (CH)
3120vw	3116vvw	$\nu_a$ ( $\text{CH}_2$ )

Tabela 3.19

Freqüências observadas e atribuições tentativas do  $\text{SbCl}_5 \cdot \text{HMTP}$

Infra-vermelho	Raman	Atribuição tentativa
	40vw, br	V.R.
	70vw	V.R.
	108vw	$\delta(\text{SbCl}_4)_{\text{op}}$ $b_1$
	118vvw	
	126vw	$\delta(\text{SbCl}_4)_{\text{ip}}$ $e$
	150m, s	$\delta(\text{SbCl}_4)_{\text{op}}$ $a_1$
	175vvw	$\delta(\text{Cl}'-\text{SbCl}_4)$ $e$
181s	180m	$\delta(\text{L-SbCl}_4)$ $e$
		$\delta(\text{SbCl}_4)_{\text{ip}}$ $b_2$ ] *
280vvw	288m	$\delta_a(\text{NC}_2)$ $a_1$
		$\nu(\text{SbCl})_{\text{eq}}$ $b_1$ ] *
303sh		$\delta_s(\text{NC}_2)$
322w	328s	$\nu(\text{SbCl})_{\text{eq}}$ $a_1$
340s	339vs	$\nu(\text{SbCl})_{\text{ax}}$ $a_1$
356vs	354vvw	$\nu(\text{SbCl})_{\text{eq}}$ $e$ ] *
		$\delta_s(\text{PN}_3)$
399w	400vw	$\delta(\text{OPN})$
465m	473w	$\delta(\text{PNC})$
533w	529m	$\nu(\text{SbO})$ $a_1$
615w		
650vw	655w	$\nu_s(\text{PN})$
755s	754vw	$\nu_a(\text{PN})$
768s	766vvw	
990vs	986w	$\nu_s(\text{NC})$
	1000vw	
1019vs	1015vw	$\nu(\text{PO})$
1061m	1065w	$\nu_a(\text{NC})$
1095vvw		
1122vw	1106vvw	
1162s	1146vw	$\rho_a(\text{CH}_3)$
1183s	1170vvw	
	1186vw	

Tabela 3.19 - continuação

Infra-vermelho	Raman	Atribuição tentativa
1305vs	1303w	$\rho_s(\text{CH}_3)$
	1417w	
	1444w	$\delta_s(\text{CH}_3)$
	1457vvw	
1480w	1486vw, br	$\delta_a(\text{CH}_3)$
2820vw	2815w	
2860vw	2861w	$\nu_s(\text{CH}_3)$
	2910vw, br	
2940m	2937w	
	2950vvw	$\nu_a(\text{CH}_3)$
	2973vvw	
3020vvw	3020vw	

\* Degenerescência accidental.

V.R. = Vibração de retículo.

Tabela 3.20

Freqüências observadas e atribuições tentativas do  $\text{SbCl}_5 \cdot \text{DMAP}$

Infra-vermelho	Raman*	Atribuição tentativa
	106vw	$\delta(\text{SbCl}_4)_{\text{op}}$ $b_1$
	126vw	$\delta(\text{SbCl}_4)_{\text{ip}}$ $e$
	149s	$\delta(\text{SbCl}_4)_{\text{op}}$ $a_1$
	175vvw	$\delta(\text{Cl}'-\text{SbCl}_4)$ $e$
177vs		$\delta(\text{L}-\text{SbCl}_4)$ $e$
	180s	$\delta(\text{SbCl}_4)_{\text{ip}}$ $b_2$
212w	204sh	
265vvw		$\delta_a(\text{NC}_2)$
280vw	287m	$\delta_s(\text{NC}_2)$
	298s	$\nu(\text{SbCl})_{\text{eq}}$ $b_1$

Tabela 3.20 - continuaçāo

Infra-vermelho	Raman	Atribuição tentativa	
330vvw	328s	$\nu(\text{SbCl})$	$a_1$
340vw	339vvs	$\nu(\text{SbCl})$	$a_1$
360vs	363sh	$\nu(\text{SbCl})$	$e$
387sh	394w	$\delta(\text{OPN})$	
443m		$\delta(\text{PNC})$	
482m	482w	$\nu(\text{SbO})$	$a_1$
586s	585vw,br	$\nu(\text{PCl})$	
702vs	705w	$\nu_s(\text{PN})$	
770s	768vw	$\nu_a(\text{PN})$	
1000vvs	998vvw	$\nu(\text{NC})$	
1061vvw			
1082s,br	1081vvw	$\nu(\text{PO})$	
1165m		$\rho(\text{CH}_3)$	
1302s			
1410vw		$\delta(\text{CH}_3)$	
1452m	1446w	$\delta(\text{CH}_3)$	
1475vvw	1508vvw	$\delta(\text{CH}_3)$	
2830vvw			
2880vvw		$\delta(\text{CH}_3)$	
2930m			
2970sh			
3010vvw			

\* Para este complexo o espectro Raman foi obtido somente até  $1600 \text{ cm}^{-1}$ .

Tabela 3.21

Freqüências observadas e atribuições tentativas do  $\text{SbCl}_5\cdot\text{TTPO}$

Infra-vermelho	Raman	Atribuição tentativa
	142m	$\delta(\text{SbCl}_4)_{\text{op}}$ $a_1$
	161vw	$\delta(\text{Cl}'-\text{SbCl}_4)$ e
	178m	$\delta(\text{SbCl}_4)_{\text{ip}}$ $b_2$
180s		$\delta(\text{L-SbCl}_4)$ e
218w	218vw	
	248w	$u'$ (X-sens.)
265vvw	264w	$u$ (X-sens.)
	298m	$v(\text{SbCl})_{\text{eq}}$ $b_1$ ]*
		$t'$ (X-sens.)
320w	326s	$v(\text{SbCl})_{\text{eq}}$ $a_1$
338m	342vs	$v(\text{SbCl})_{\text{ax}}$ $a_1$
361vs	367w	$v(\text{SbCl})_{\text{eq}}$ e
420w		
440vvw		$t$ (X-sens.)
472w	472vw	$v(\text{SbO})$ $a_1$
528vs		
542vs	546vvw	$y$ (X-sens.)
615vvw	618w	$s \alpha$ (CCC)
	670vw	
689vs	692w	$v \emptyset$ (CC)
727vvs	728vvw	
749vs		f $\gamma$ (CH)
760sh		
	933vvw	i $\gamma$ (CH)
998vvs	998s	p anel
1012vs	1019w	b $\beta$ (CH)
1037vs	1034w	$v(\text{PO})$
1068vvw		
1155vvs	1154w	c $\beta$ (CH)
1161w	1166vw	
1189w	1193vvw	a $\beta$ (CH)
1211m	1219vvw	

Tabela 3.21 - continuação

Infra-vermelho	Raman	Atribuição tentativa
1312w		
1339w		
1440s	1441vvw	n $\nu$ (CC)
1485m		m $\nu$ (CC)
	1577vw	l $\nu$ (CC)
1590m	1592m	k $\nu$ (CC)
	3018vvw	
3060vvw	3060m	$\nu$ (CH)
3075vvw	3072m	$\nu$ (CH)
3095vvw		

\* degenerescência accidental.

Tabela 3.22

Freqüências observadas e atribuições tentativas do  $SbCl_5 \cdot TMPO$

Infra-vermelho	Raman	Atribuição tentativa
	26vw	V.R.
	95w	
	104w	$\delta(SbCl_4)_{op}$ b <sub>1</sub>
	117w	$\delta(SbCl_4)_{ip}$ e
	133m	$\delta(SbCl_4)_{op}$ a <sub>1</sub>
	167s	$\delta(Cl'-SbCl_4)$ e
	175s	$\delta(SbCl_4)_{ip}$ b <sub>2</sub>
184s		$\delta(L-SbCl_4)$ e
212vw		
228vvw	221m	
268vvw	275w	$\delta_a$ (CPC)
290vw	289s	$\nu(SbCl)_{eq}$ b <sub>1</sub>

Tabela 3.22 - continuação

Infra-vermelho	Raman	Atribuição tentativa
319m	323s	$\nu(\text{SbCl})_{\text{eq}}$ $a_1$ ] *
		$\delta_s(\text{CPC})$
344vs	336vs	$\nu(\text{SbCl})_{\text{ax}}$ $a_1$
360s	356sh	$\nu(\text{SbCl})_{\text{eq}}$ e
	403vvw	$\delta(\text{OPC})$
444m	447w	$\nu(\text{SbO})$ $a_1$
681vvw	690m	$\nu_s(\text{PC})$
723vw		
765w	772w	$\nu_a(\text{PC})$
866m		
871m	879vv	{ $\rho(\text{CH}_3)$
955s	962vv	
1040vvvs	1043vv	$\nu(\text{PO})$
1152vvw		
1168vvw		
1300s	1306vvw	{
1310m		
	1323vvw	$\delta_s(\text{CH}_3)$
1365sh		{
	1395vvw	
1410w	1410vvw	{
1421vv	1417vvw	$\delta_a(\text{CH}_3)$
	1426vvw	
2860vv		
2925m	2928m	$\nu_s(\text{CH}_3)$
2960vv		{
3000w	3003w	$\nu_a(\text{CH}_3)$
	3013vvw	

V.R. = Vibração de retículo.

\* degenerescência acidental.

Tabela 3.23

Freqüências observadas e atribuições tentativas do  $SbCl_5 \cdot DDP$

Infra-vermelho*	Raman	Atribuição tentativa
	35vvw	v.R.
	102vvw	$\delta(SbCl_4)$ op      b <sub>1</sub>
	118sh	$\delta(SbCl_4)$ ip      e
	147s	$\delta(SbCl_4)$ op      a <sub>1</sub>
	167sh	$\delta(Cl^- \cdot SbCl_4)$ e
	180s	$\delta(SbCl_4)$ ip      b <sub>2</sub> ]**
		$\delta(L \cdot SbCl_4)$ e
	212w	$\delta_a(PCI_2)$
	240vw	$\delta_a(NC_2)$
	280sh	$\delta(PNCl)$
	296s	$\nu(SbCl)$ eq      b <sub>1</sub>
	332vvs	$\nu(SbCl)$ eq      a <sub>1</sub>
	350s	$\nu(SbCl)$ ax      a <sub>1</sub>
	354vs	$\delta(OPCl)$
	364vw	$\nu(SbCl)$ eq      e
	394w	$\delta(PNC)$
	422m	$\nu(SbO)$ a <sub>1</sub>
	566w	$\nu_s(PCI)$
	600vvw,br	$\nu_a(PCI)$
	737w	$\nu(PN)$
	1005vvw	$\nu(NC)$
	1152vw	$\nu(PO)$
	1308vw,br	$\rho_s(CH_3)$
	1418vvw	
	1446vvw	$\delta_s(CH_3)$
	2820vvw	{ $\nu(CH_3)$
	2937vvw	

\* Não foi possível obter o espectro infra-vermelho deste composto, por ele ser extremamente reativo e atacar as janelas de KBr, CsI e polietileno.

\*\* degenerescência acidental.

Tabela 3.24

Freqüências observadas e atribuições tentativas do  $SbCl_5 \cdot POCl_3$

Infra-vermelho*	Raman	Atribuição tentativa
36vvw		V. R.
48vvw		V. R.
76vvw		V. R.
101w	$\delta(SbCl_4)_{op}$	$b_1$
124w	$\delta(SbCl_4)_{ip}$	e
144s	$\delta(SbCl_4)_{op}$	$a_1$
150w		
168vw	$\delta(Cl' - SbCl_4)$	e
180s	$\delta(L - SbCl_4)$	e
	$\delta(SbCl_4)_{ip}$	$b_2$
209m	$\delta_a(PCl_3)$	
295m	$\nu(SbCl)_{eq}$	$b_1$
	$\delta_s(PCl_3)$	
334vs	$\nu(SbCl)_{eq}$	$a_1$
355w	$\nu(SbCl)_{ax}$	$a_1$
363s	$\nu(SbCl)_{eq}$	e
383w	$\nu(SbO)$	$a_1$
	$\delta(OPCl)$	
524w	$\nu_s(PCl)$	
622w	$\nu_a(PCl)$	
1158w	$\nu(PO)$	

\* Não foi possível obter-se o espectro infra-vermelho pelos mesmos motivos do composto  $SbCl_5 \cdot DDP$ .

\*\* degenerescência acidental.

Tabela 3.25

Freqüências observadas e atribuições tentativas do  $SbCl_5 \cdot DMA$

Infra-vermelho	Raman	Atribuição tentativa	
	17vvw	V.R.	
	30vw	V.R.	
	66sh	V.R.	
	108vvw	$\delta(SbCl_4)_\text{op}$	$b_1$
	123vvw	$\delta(SbCl_4)_\text{ip}$	e
	140vvw	$\delta(SbCl_4)_\text{op}$	$a_1$
	166sh	$\delta(Cl' - SbCl_4)$	e
174s	175s	$\delta(SbCl_4)_\text{ip}$	$b_2$
		$\delta(L-SbCl_4)$	e ] *
	199vvw		
262vw	261vvw	$\delta(C'NC')$	
	290m	$\nu(SbCl)_\text{eq}$	$b_1$
320w	323vs	$\nu(SbCl)_\text{eq}$	$a_1$
342vw	337vvs	$\nu(SbCl)_\text{ax}$	$a_1$
	339vvs	$\delta(C'NC')$	]
354vs	350sh	$\nu(SbCl)_\text{eq}$	*
	357sh		
376sh	371vvw		
444w	445vw	$\nu(SbO)$	$a_1$
485m	489vw	$\delta(OCO)$	
553vw			
587m	589vw	$\delta(OCN)$	
619w	621vw		
721vvw			
754vs	753vvw	$\nu_s(NC)$	
962vs	962vvw	$\nu(CC)$	
1028m,s	1029vvw	$\rho(CH_3)$	
1057vw		$\rho(CH_3)$	
1197vvw	1196vw	$\rho(CH_3)$	
1239s	1234vvw		
1363vs	1363w	$\delta(CH_3)$	
1375vs	1382vvw	$\delta(CH_3)$	

Tabela 3.25 - continuação

Infra-vermelho	Raman	Atribuição tentativa
1412m	1419w	$\delta(\text{CH}_3)$
1455m,br	1446vvw	$\delta(\text{CH}_3)$
1628vs	1626w	$\nu(\text{CO})$
	1655vvw	
2800vvw		$\nu(\text{CH}) \quad [\text{CH}_3]$
2860		$\nu(\text{CH}) \quad [\text{CH}_3]$
2930w	2928vvw	$\nu(\text{CH}) \quad [\text{NCH}_3]$
	2948w	$\nu(\text{CH}) \quad [\text{NCH}_3]$

\* degenerescência accidental.

Tabela 3.26

Freqüências observadas e atribuições tentativas do  $\text{SbCl}_5 \cdot \text{DMF}$

Infra-vermelho	Raman	Atribuição tentativa
	38vvw	V.R.
	47m	V.R.
	76w	V.R.
	101vw	$\delta(\text{SbCl}_4)_{\text{op}}$ $b_1$
	125w	$\delta(\text{SbCl}_4)_{\text{ip}}$ $e$
	137w	$\delta(\text{SbCl}_4)_{\text{op}}$ $a_1$
177s		$\delta(\text{L-SbCl}_4)$ $e$
	172s	$\delta(\text{SbCl}_4)_{\text{ip}}$ $b_2$
215w	211w	
	290m	$\nu(\text{SbCl})_{\text{eq}}$ $b_1$
325w	325vv	$\nu(\text{SbCl})_{\text{eq}}$ $a_1$ ]*
		$\delta(\text{C}'\text{NC}')$
350s	346m	$\nu(\text{SbCl})_{\text{ax}}$ $a_1$
357vs	359s	$\nu(\text{SbCl})_{\text{eq}}$ $e$ ]*
		$\delta(\text{C}'\text{NC}')$

Tabela 3.26 - continuaçāo

Infra-vermelho	Raman	Atribuição tentativa
410s		$\delta(C'N'C')$
420sh	424vvw	
435m	433vw	$\nu(SbO)$ $a_1$
710s	719vvw	$\delta(OCN)$
980vvw	979vvw	$\nu_s(C'N)$
1050w		$\rho(CH_3)$ ou $\delta(CH)$
1090vw,br	1085vw,br	$\rho(CH_3)$
1128w	1130w	$\rho(CH_3)$
1238m		
1320vs	1316vvw	$\nu_a(C'N)$
1405vvw	1406w	$\delta(CH)$ ou $\delta_s(CH_3)$
1415m	1420m	
1440vw		$\delta_a(CH_3)$
1470vw		$\delta_a(CH_3)$
1670vs	1668w	$\nu(CO)$
1955vvw	1954vvw	b.c.
2860vvw		$\nu_s(CH_3)$
2930vw	2939vw	$\nu(CH)$
2960vw	2951w	
	2994vw	
	3023vw	$\nu_a(CH_3)$

\* degenerescēncia accidental.

b.c. = banda de combinaçāo.

Tabela 3.27

Freqüências observadas e atribuições tentativas do  $SbCl_5 \cdot TMU$

Infra-vermelho	Raman	Atribuição tentativa
	23w	V.R.
	35w	V.R.
	66vw	V.R.
	78vw	V.R.
	113vw	$\delta(SbCl_4)$ op $b_1$
	130vw	$\delta(SbCl_4)$ ip $e$
	157s	$\delta(SbCl_4)$ op $a_1$
	160sh	$\delta(Cl' - SbCl_4)$ $e$
	174m	$\delta(SbCl_4)$ ip $b_2$
180vs	182sh	$\delta(L-SbCl_4)$ $e$
230w		
280vw	283m	$\rho(NCH)$
	295m	$\nu(SbCl)$ eq $b_1$
310m	313m, s	$\nu(SbCl)$ eq $a_1$
340sh	337vvs	$\nu(SbCl)$ ax $a_1$
350vvs	352sh	$\nu(SbCl)$ eq $e$
	383vw	$\rho(NCH)$
426m	428vw	$\nu(SbO)$ $a_1$
515vw		
543m	549w	$\delta(NCN)$
579m	581m	$\delta(NCO)$
745s	753w	$\nu_s(C'N)$
752s	760vww	
894m, s	895vw	$\delta(CO)$ op
965vw		$\nu_a(C'N)$
1043vww	1043vww	$\rho(CH_3)$
	1046w	
1057vww	1060vww	
1063m	1066vww	
1109w	1105vww	
1140w	1149vww	
1166m	1170vw	

Tabela 3.27 - continuação

Infra-vermelho	Raman	Atribuição tentativa
1210m	1213vw	
1295m	1297vw	$\nu$ (CN)
1402s	1405m, s	$\delta$ ( $\text{CH}_3$ )
1415m	1416vw	$\delta$ ( $\text{CH}_3$ )
1421m	1422w	$\delta$ ( $\text{CH}_3$ )
1460sh	1457w	$\delta$ ( $\text{CH}_3$ )
1469s	1470w	$\delta$ ( $\text{CH}_3$ )
1520vs	1522w	$\nu$ (CN)
1594vvw	1598vvw	
1612vvs	1614w	$\nu$ (CO)
2805vvw	2800vvw	
	2826vvw	
2950w	2948vw	
2970vvw	2964vvw	
2988vvw	2980vvw	
3030vvw	3038vvw	

Tabela 3.28

Freqüências observadas e atribuições tentativas do  $\text{SbCl}_5 \cdot \text{DMSO}$

Infra-vermelho	Raman	Atribuição tentativa	
	40w	V.R.	
	44sh	V.R.	
	94vw,br		
	110vw	$\delta(\text{SbCl}_4)_{\text{op}}$	$b_1$
	127vw	$\delta(\text{SbCl}_4)_{\text{ip}}$	e
	142m	$\delta(\text{SbCl}_4)_{\text{op}}$	$a_1$
162vvw	162sh	$\delta(\text{Cl}'-\text{SbCl}_4)$	e
	176s	$\delta(\text{SbCl}_4)_{\text{ip}}$	$b_2$
180s		$\delta(\text{L-SbCl}_4)$	e
203w	204m		
248vw			
297w	292s	$\nu(\text{SbCl})_{\text{eq}}$	$b_1$
308sh	308vvw	$\delta(\text{CSC})$	
326sh	327vvs	$\nu(\text{SbCl})_{\text{eq}}$	$a_1$
344vs,br	342vs	$\nu(\text{SbCl})_{\text{ax}}$	$a_1$
	352vs	$\delta(\text{OSC})$	
358vs,br	362sh	$\nu(\text{SbCl})_{\text{eq}}$	e
501s	502m	$\nu(\text{Sb-O})$	$a_1$
687w	686m	$\nu_s(\text{CS})$	
730w	728w	$\nu_a(\text{CS})$	
878vs	878vw	$\nu(\text{SO})$	
915w			
949w	946vw	$\rho(\text{CH}_3)$	
985m,s	984w		
1038s		$\delta(\text{CH}_3)$	
1302vw	1302vvw		
1321w	1322vw		
1390w			
1375w			
1402w	1406m,br		
1418w	1420vvw		
1735w		b.c.	

Tabela 3.28 - continuaçāo

Infra-vermelho	Raman	Atribuição tentativa
2925w	2920w	$\nu_s(\text{CH}_3)$
3010vw	3004vvw	
3022vw	3016vvw	$\left\{ \begin{array}{l} \nu_s(\text{CH}_3) \\ \end{array} \right.$

b.c. = banda de combinação.

Tabela 3.29

Freqüências observadas e atribuições tentativas do  $\text{SbCl}_5 \cdot \text{DMSO}_2$

Infra-vermelho *	Raman	Atribuição tentativa
32vw		
37vvw		{ V.R.
69vw		
76sh		
98vvw		
	113vvw	$\delta(\text{SbCl}_4)_{\text{op}}$ $b_1$
	130sh	$\delta(\text{SbCl}_4)_{\text{ip}}$ $e$
	138vw	$\delta(\text{SbCl}_4)_{\text{op}}$ $a_1$
	163s	$\delta(\text{Cl}'-\text{SbCl}_4)$ $e$
	183s	$\delta(\text{SbCl}_4)_{\text{ip}}$ $b_2$
		$\delta(\text{L-SbCl}_4)$ $e$
	290s	$\nu(\text{SbCl})_{\text{eq}}$ $b_1$
		$\delta(\text{CSC})$
304vw		
	333vvs	$\nu(\text{SbCl})_{\text{eq}}$ $a_1$
		$\rho(\text{SO}_2)$
349vs		$\nu(\text{SbCl})_{\text{ax}}$ $a_1$
355vs		
	363vvw	$\nu(\text{SbCl})_{\text{eq}}$ $e$
	380vvw	$\nu(\text{SbO})$ $a_1$

Tabela 3.29 - continuaçāo

Infra-vermelho	Raman	Atribuição tentativa
	398vvw	$\tau$ ( $\text{SO}_2$ )
	466w	$w$ ( $\text{SO}_2$ )
	487vw	$\delta$ ( $\text{SO}_2$ )
	694m	$\nu_s$ (CS)
	770w	$\nu_A$ (CS)
	934vvw	$\rho$ ( $\text{CH}_3$ )
	949vvw	$\rho$ ( $\text{CH}_3$ )
	985vvw	$\rho$ ( $\text{CH}_3$ )
	1005vvw	$\rho$ ( $\text{CH}_3$ )
	1042vw	$\nu_s$ (SO)
	1277vvw	$\nu_A$ (SO)
	1317vvw	$\delta$ ( $\text{CH}_3$ )
	1333vvw	$\delta$ ( $\text{CH}_3$ )
	1392vvw	$\delta$ ( $\text{CH}_3$ )
	1404vvw	$\delta$ ( $\text{CH}_3$ )
	2922w	$\nu_s$ ( $\text{CH}_3$ )
	2932w	$\nu_a$ ( $\text{CH}_3$ )
	3010vvw	
	3021vvw	

\* Não foi possível obter o espectro IV.

\*\* degenerescēncia accidental.

Tabela 3.30

Freqüências observadas e atribuições tentativas do  $\text{SbCl}_5 \cdot \text{SeOCl}_2$

Infra-vermelho*	Raman	Atribuição tentativa
	29sh	V.R.
	37m	V.R.
	44sh	V.R.
	64w	V.R.
	111m	$\delta(\text{SbCl}_4)$ op $b_1$
	120m	$\delta(\text{SbCl}_4)$ ip $e$
	145s	$\delta(\text{SbCl}_4)$ op $a_1$
	157s	$\delta(\text{Cl}'-\text{SbCl}_4)$ e
	170vw	$\delta(\text{L}-\text{SbCl}_4)$ e
	181vs	$\delta(\text{SbCl}_4)$ ip $b_2$
	192m	$\delta_s(\text{OSeCl})$
	283w	$\delta_a(\text{OSeCl})$ $\delta_s(\text{ClSeCl})$
	303m	$\nu(\text{SbCl})$ eq $b_1$
	326vs	$\nu(\text{SbCl})$ eq $a_1$
	342s ]	$\nu(\text{SbCl})$ ax $a_1$
	350vs ]	
	369vvw	$\nu(\text{SbCl})$ eq e
	402sh	$\nu_A(\text{SeCl})$
	410vvs	$\nu_s(\text{SeCl})$
	452m	$\nu(\text{SbO})$ $a_1$
	759s	$\nu(\text{SeO})$
	767w	

\* Não foi possível obter o espectro IV.

\*\*degenerescência acidental.

Tabela 3.31

Fréquências observadas e atribuições tentativas do  $SbCl_5 \cdot BN$

Infra-vermelho *	Raman	Atribuição tentativa
	46vvw	v.R.
	89w	v.R.
	99vvw	$\delta(SbCl_4)$ op $b_1$
	121w	$\delta(SbCl_4)$ ip      e
	139m	$\delta(SbCl_4)$ op $a_1$
	148vw	$\delta(Cl'-SbCl_4)$ e
	172w	$\delta(L-SbCl_4)$ e
	182s	$\delta(SbCl_4)$ ip $b_2$
	236vv	$\nu(SbN)$ $a_1$
	290m	$\nu(SbCl)$ eq $b_1$
	327sh	
	340vs	$\nu(SbCl)$ eq $a_1$
	367vvw	$\nu(SbCl)$ eq      e
	376s	$\nu(SbCl)$ ax $a_1$
	495w	(X-sens.) $\alpha(CC)$
	556vw	$\beta(C\equiv N)$ ou (X-sens.) $\emptyset(CC)$ ]
	625vw	$\alpha(CCC)$
	763vw	$\gamma(CH)$ ou (X-sens.) $\nu(CC)$ ]
	998m	$\beta(CH)$
	1024vw	$\beta(CH)$
	1159vvw	$\beta(CH)$
	1177w	$\beta(CH)$
	1200w	(X-sens.) $\nu(C-CN)$
	1226vvw	
	1284vvw	$\beta(CH)$
	1303vvw	
	1315vvw	
	1591m	$\nu(C-C)$
	2264m	$\nu(C\equiv N)$
	3070vw	$\nu(CH)$

\* Não foi possível obter o espectro IV.

Tabela 3.32

Freqüências observadas e atribuições tentativas do  $SbCl_5 \cdot AN_5$

Infra-vermelho *	Raman	Atribuição tentativa
	64vw	V.R.
(174) <sup>1</sup>	93vw	$\delta(SbCl_4)$ op $b_1$
	130sh	$\delta(SbCl_4)$ ip      e
	135s	$\delta(SbCl_4)$ op $a_1$
	169w	$\delta(Cl'-SbCl_4)$ e
		$\delta(L-SbCl_4)$ e
	187m	$\delta(SbCl_4)$ ip $b_2$
	209vw	
	221vw	$\nu(SbN)$ $a_1$
	296m	$\nu(SbCl)$ eq $b_1$
	301vw	
	344vs	$\nu(SbCl)$ eq $a_1$
	369vw	$\nu(SbCl)$ ax $a_1$
		$\nu(SbCl)$ eq      e ] **
	398w	$\delta(CCN)$
	948vw	$\nu(CC)$
	1038vvw	$\rho(CH_3)$
	1356w	$\delta_s(CH_3)$
	2288vw	$\delta_s(CH_3) + \nu(CC)$
	2313vw	$\nu(C\equiv N)$
	2935m	$\nu(CH_3)$
	3001w	{

\* Não foi possível obter o espectro IV.

\*\* degenerescência accidental

<sup>1</sup> Ref. (40).

Tabela 3.33

Freqüências observadas e atribuições tentativas do  $SbCl_5 \cdot ACN$

Infra-vermelho *	Raman	Atribuição tentativa
	90sh	$\delta(SbCl_4)$ op $b_1$
	130s	$\delta(SbCl_4)$ op $a_1$
	122vw	$\delta(SbCl_4)$ ip $e$
	154vvw	$\delta(Cl' - SbCl_4)$ $e$
	166m	$\delta(L-SbCl_4)$ $e$
	183m, s	$\delta(SbCl_4)$ ip $b_2$
	223vvw	$\nu(SbN)$ $a_1$
	249vvw	$\delta(C-C\equiv N)$
(370) <sup>1</sup>	307vs	$\nu(SbCl)$ eq $b_1$
	347vvs	$\nu(SbCl)$ eq $a_1$
	364vs	$\nu(SbCl)$ ax $a_1$
	580vw	$\nu(SbCl)$ eq $e$
	680vvw	$\delta(C=C-C)$
	891vvw	$\tau(C=C)$
	992vvw	$\nu(CC)$
	1092vvw	$\rho(CH_2)$
	1280vw	$\rho(CH)$
	1411w	$\delta(CH_2)$
	1600m	$\nu(C=C)$
	2274m	$\nu(C\equiv N)$
	2300vvw	$\delta(CH_2) + \nu(CC)$
	3028vw	$\nu(CH_2)$
	3066vvw	$\nu(CH)$
	3115vvw	$\nu(CH_2)$

\* Não foi possível obter o espectro IV.

<sup>1</sup> Referência (40).

3.c. Bibliografia

1. F. A. Cotton, "The Chemical Applications of Group Theory", Wiley-Interscience, New York, 2a. ed., 357 (1971).
2. N. B. Colthup, L. H. Daly e S. E. Wiberley, "Introduction to Infrared and Raman Spectroscopy", Academic Press, New York, 122 (1964).
3. D. M. Byler e D. F. Shriver, Inorg. Chem., 13, 2697 (1974).
4. D. Köttgen, H. Stoll, A. Lentz, R. Pantzer e J. Goubeau, Z. anorg. allg. Chem., 385, 56 (1971).
5. M. T. Forel, S. Voif e M. Fouassier, Spectrochim. Acta, 28A, 1321 (1972).
6. A. F. Shihada, Z. anorg. Allg. Chem., 411, 135 (1975).
7. F. Räuchle, W. Pohl, B. Blaich e J. Goubeau, Ber. Phys. Chem., 75, 66 (1971).
8. G. B. Deacon e J. H. S. Green, Spectrochim. Acta, 24A, 845 (1968).
9. S. Milićev, Spectrochim. Acta, 30A, 255 (1974).
10. D. H. Whiffen, J. Chem. Soc., 1350 (1956).
11. K. A. Jensen e P. H. Nielsen, Acta Chem. Scand., 17, 1875 (1963).
12. F. Choplin e G. Kaufmann, Spectrochim. Acta, 26A, 2113 (1970).
13. L. W. Daasch e D. C. Smith, J. Chem. Phys., 19, 22 (1951).
14. H. Rojhantalab, J. Nibler e C. J. Wilkins, Spectrochim. Acta, 32A, 519 (1976).
15. J. Goubeau e W. Berger, Z. anorg. allg. Chem., 304, 147 (1960).
16. R. Pantzer, W. Schmidt e J. Goubeau, Z. anorg. allg. Chem., 395, 262 (1973).
17. R. B. Harvey e J. Mayhood, Canad. J. Chem., 33, 1552 (1955).
18. G. Durgaprasad, D. N. Sathyanarayana e C. C. Patel, Spectrochim. Acta, 28A, 2311 (1972).
19. A. J. Carty, Canad. J. Chem., 44, 1881 (1966).
20. R. L. Jones, J. Mol. Spectrosc., 11, 411 (1963).
21. C. G. Lagrange e M. T. Forel, Bull. Soc. Chim. France, 1329 (1971).
22. G. Kaufmann, M. J. F. Leroy, Bull. Soc. Chim. France, 402 (1967).

23. G. Durgaprasad, D. N. Sathyanarayana e C. C. Patel, Bull. Chem. Soc. Japan, 44, 316 (1971).
24. C. N. R. Rao, G. C. Chaturvedi, R. K. Gosavi, J. Mol. Spectrosc., 28, 526 (1968).
25. M. T. Forel e M. Tranquile, Spectrochim. Acta, 26A, 1023 (1970).
26. R. D. McLachlan e V. B. Carter, Spectrochim. Acta, 26A, 1121 (1970).
27. T. Uno, K. Machida e K. Hanai, Spectrochim. Acta, 27A, 107 (1971).
28. K. Nakamoto, "Infrared Spectra of Inorganic and Coordination Compounds", Wiley-Interscience, New York, 2a. ed., 95 (1970).
29. J. H. S. Green, Spectrochim. Acta, 17, 607 (1961).
30. R. J. Jakobsen, Spectrochim. Acta, 21, 127 (1965).
31. B. Bak e J. T. Nielsen, Z. fur Elektrochem., 64, 560 (1960).
32. P. Venkateswarlu, J. Chem. Phys., 19, 293 (1951).
33. H. W. Thompson e R. L. Willians, Trans. Far. Soc., 48, 502 (1952).
34. C. C. Addison, D. W. Amos e D. Sutton, J. Chem. Soc., 2285 (1968).
35. D. E. Milligan e M. E. Jacox, J. Mol. Spectrosc. 8, 126 (1962).
36. Y. Hase e O. Sala, An. Acad. bras. Ciênc., 45, 381 (1973).
37. F. Halverson, R. F. Stamm e J. J. Whalen, J. Chem. Phys., 16, 808 (1948).
38. H. P. Fritz e G. N. Schrauzer, Ber., 94, 650 (1961).
39. P. Devlin, J. Overend e B. Crawford, Spectrochim. Acta, 20, 23 (1964).
40. M. Masson, Z. A. Payne e M. J. F. Leroy, Spectrochim. Acta, 33A, 37 (1977).

#### 4. ANÁLISE DE COORDENADAS NORMAIS

##### 4.a. Preliminares

A Análise de Coordenadas Normais, basicamente, se constitue num tipo de cálculo onde, tendo-se um conjunto aceitável de constantes de força, é possível calcular as freqüências vibracionais observadas para uma molécula.

Para tanto é necessário resolver a equação secular para a energia vibracional:

$$| GF - E\lambda | = 0 \quad (1)$$

onde:  $G$  = matriz energia cinética

$F$  = matriz energia potencial

$E$  = matriz unitária

$\lambda$  = auto-valores

Os auto-valores desta equação secular podem ser transformados em freqüências normais através da equação:

$$\lambda_i = 4\pi^2 c^2 \tilde{v}_i^2 \quad (2)$$

onde  $c$  = velocidade da luz e  $\tilde{v}_i$  a freqüência do  $i$ -ésimo modo normal em  $\text{cm}^{-1}$ .

A resolução da equação (1), para sistemas com muitos átomos, torna-se proibitiva para ser realizada sem o auxílio de computadores eletrônicos. Sendo assim, no princípio da década de 60, começaram a aparecer na literatura programas de computadores destinados a resolver estas equações seculares (1-5) onde, geralmente, o método usado é o método da matriz GF de Wilson (6,7).

No presente trabalho foram utilizados os programas MATB, SYMG, SYMF e NCA desenvolvidos por Hase (8,9,10) em linguagem Fortran IV. Estes programas foram ligeiramente modificados de mo-

do a se tornarem processáveis fazendo-se uso de terminal.

O ajuste das freqüências fundamentais calculadas com as observadas no programa NCA foi feito usando-se o método dos mínimos quadrados de Jacobi (11).

Os cálculos foram realizados utilizando-se um computador modelo PDP-10 (Digital Corp.) do Centro de Computação do Instituto de Matemática, Estatística e Ciências da Computação (IMECC) da Universidade Estadual de Campinas, através do terminal do Instituto de Química.

#### 4.b. Coordenadas Internas e Coordenadas de Simetria

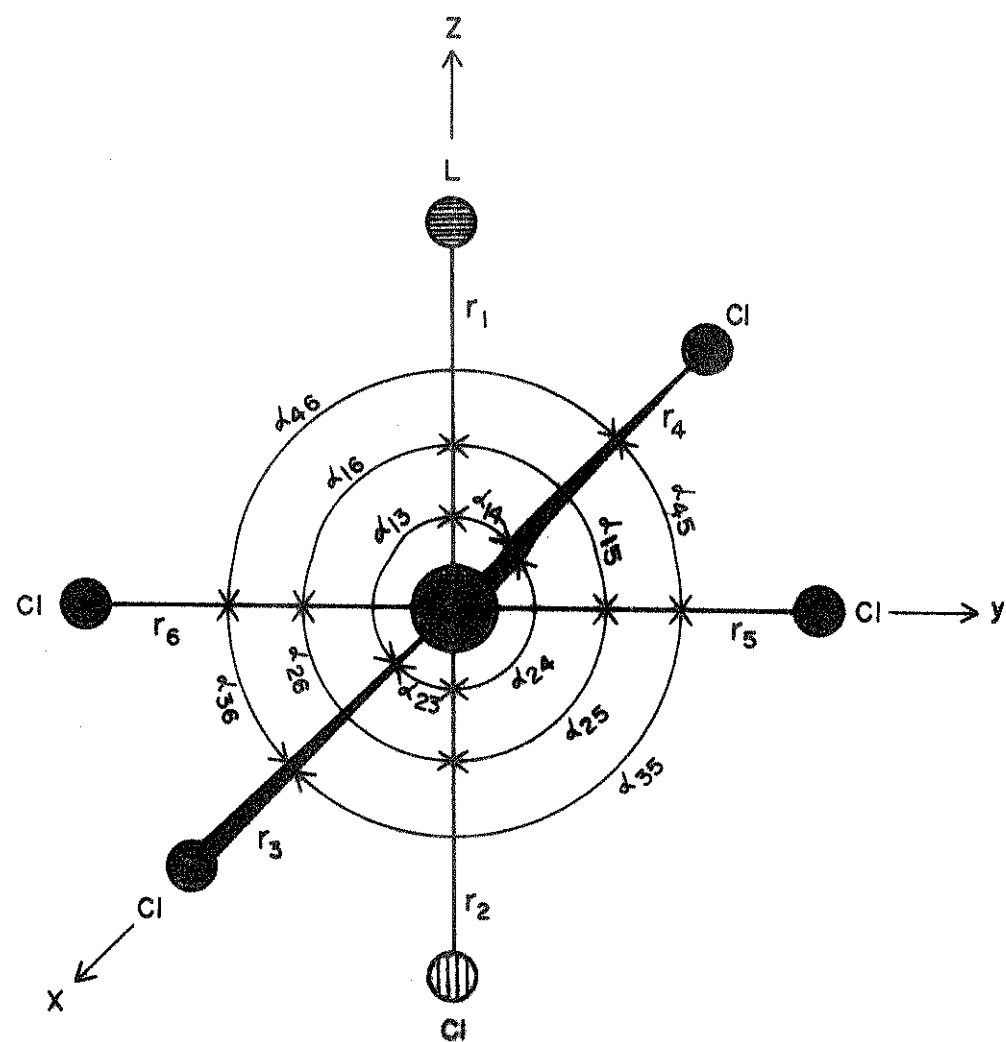
Na realização destes cálculos, como dito anteriormente, fizemos uso de um modelo aproximado  $SbCl_5L$  ( $L = O, N$ ) para o qual pode ser assumida uma simetria  $C_{4v}$ .

O número de coordenadas internas para este modelo é 18, sendo assim distribuídas: 6 coordenadas internas de variação de distância de átomos ligados, e 12 coordenadas internas de variação de ângulo de valência. Estas coordenadas internas acham-se representadas na figura 4.1, onde temos  $r_i$  para os estiramentos, e  $\alpha_{ij}$  para as variações de ângulo.

As coordenadas de simetria, em termos das coordenadas internas, já definidas, aparecem na tabela 4.1. Estas coordenadas são em número de 11, não incluindo as coordenadas de simetria redundantes, pertencendo às espécies  $a_1$ ,  $b_1$ ,  $b_2$  e  $e$  do grupo pontual  $C_{4v}$ . Conforme mencionado, para o  $SbCl_5L$  teríamos a seguinte representação redutível:

$$\Gamma_{SbCl_5L} = 4a_1 + 2b_1 + b_2 + 4e$$

onde,  $a_1$  e  $e$  são ativas no Raman e infra-vermelho, enquanto que



- Antimônio
- Cloros equatoriais
- Cloro axial
- Ligante

FIGURA 4.1.  
Coordenadas Internas

Tabela 4.1Coordenadas de Simetria para SbCl<sub>5</sub>L

Espécie	Coordenada de simetria
a <sub>1</sub> :	$s_1 = \Delta r_1$ $s_2 = \Delta r_2$ $s_3 = \Delta(r_3 + r_4 + r_5 + r_6)/2$ $s_4 = \Delta[(\alpha_{13} + \alpha_{14} + \alpha_{15} + \alpha_{16}) - (\alpha_{23} + \alpha_{24} + \alpha_{25} + \alpha_{26})]/\sqrt{8}$
b <sub>1</sub> :	$s_5 = \Delta(r_3 + r_4 - r_5 - r_6)/2$ $s_6 = \Delta[(\alpha_{13} + \alpha_{14} - \alpha_{15} - \alpha_{16}) - (\alpha_{23} + \alpha_{24} - \alpha_{25} - \alpha_{26})]/\sqrt{8}$
b <sub>2</sub> :	$s_7 = \Delta(\alpha_{35} + \alpha_{46} - \alpha_{45} - \alpha_{36})/2$
e:	$s_8 = \Delta(r_3 - r_4)/\sqrt{2}$ $s_9 = \Delta(\alpha_{13} - \alpha_{14})/\sqrt{2}$ $s_{10} = \Delta(\alpha_{23} - \alpha_{24})/\sqrt{2}$ $s_{11} = \Delta(\alpha_{35} + \alpha_{36} - \alpha_{45} - \alpha_{46})/2$

$b_1$  e  $b_2$ , somente ativas no Raman.

Os parâmetros moleculares utilizados são apresentados na tabela 4.2. Pelo fato da literatura não registrar as distâncias SbL ( $L = O, N$ ) para todos os complexos estudados, estas foram calculadas pela relação de Pauling (12). Desta maneira foi usada a distância  $2,12 \text{ \AA}^{\circ}$  para os ligantes O-doadores e  $2,15 \text{ \AA}^{\circ}$  para os ligantes N-doadores. Os demais parâmetros foram aproximados dos valores existentes na literatura (13-16).

Tabela 4.2

Parâmetros Moleculares

Distâncias	Ângulos
$SbN = 2,15 \text{ \AA}^{\circ}$	$\angle ClSbCl = 90^{\circ}$
$SbO = 2,12 \text{ \AA}^{\circ}$	$\angle LSbCl = 90^{\circ}$
$SbCl = 2,33 \text{ \AA}^{\circ}$	

As massas atômicas usadas foram as seguintes (unidades de massa atômica):  $m_O = 15,9994$ ,  $m_N = 14,0067$ ,  $m_{Sb} = 121,75$  e  $m_{Cl} = 35,453$ .

Para os complexos  $SbCl_5 \cdot PVN$ ,  $SbCl_5 \cdot PN$  e  $SbCl_5 \cdot TN$  foram utilizadas as freqüências experimentais provenientes da referência (17) (PVN= pivalonitrila, PN= propionitrila e TN= tricloroacetonitrila).

#### 4.c. Campo de Força Molecular

Nos cálculos realizados usou-se o Campo de Força de Urey-Bradley Modificado - MUBFF (18), onde foram consideradas 11 cons-

tantes de força, a saber: 3 constantes de força de estiramento, 2 constantes de força de variação de ângulo de valência, 2 constantes de força de repulsão de átomos não ligados, 4 constantes de força de interação estiramento-estiramento. Na tabela 4.3 são mostrados os símbolos empregados e a descrição.

#### 4.d. Resultados

Nas tabelas de 4.4 a 4.9 são apresentadas as constantes de força obtidas pelo método dos mínimos quadrados para os compostos  $SbCl_5 \cdot L$  onde: L = HMTP, DMAP, DDP,  $POCl_3$ , TTPO, TMPO, DMA, DMF, TMU, DMSO,  $DMSO_2$ ,  $SeOCl_2$ , BN, AN, ACN, PVN, PN e TN.

As freqüências normais calculadas, usando-se as constantes de força das tabelas de 4.4 a 4.9, são apresentadas nas tabelas de 4.10 a 4.27 juntamente com as distribuições de energia potencial (PED), em termos das coordenadas de simetria da tabela 4.1. Os elementos de distribuição de energia potencial menores que 5 não foram incluídos.

Os valores das freqüências calculadas e observadas podem ser considerados bastante razoáveis e confirmam as atribuições realizadas.

Tabela 4.3

## Definição das constantes de força

Nº	Símbolo <sup>a</sup>	Definição <sup>b</sup>
1	$K(ML)$	c.f. de estiramento metal-ligante
2	$K(MX)_{ax}$	c.f. de estiramento metal-halogênio axial
3	$K(MX)_{eq}$	c.f. de estiramento metal-halogênio equatorial
4	$H(LMX)$	c.f. de deformação do ângulo LMX ( $M = Sb$ )
5	$F(L...X)$	c.f. de repulsão entre L e X ( $L=O,N$ ) $X=Cl$
6	$H(XMX)$	c.f. de deformação do ângulo XMX
7	$F(X...X)$	c.f. de repulsão dos átomos X e X
8	$I(X...X)_t$	c.f. de interação estiramento-estiramento MX trans
9	$I(X...X)_c$	c.f. de interação estiramento-estiramento MX cis
10	$I(MX,ML)_t$	c.f. de interação estiramento-estiramento $MX_t,ML$
11	$I(MX,ML)_c$	c.f. de interação estiramento-estiramento $MX_c,ML$

<sup>a</sup> em unidades de mdinas/ $\text{\AA}$

<sup>b</sup> c.f. (constante de força).

Tabela 4.4

Constantes de força calculadas

Nº	Símbolo	HMTP	DMAP	DDP
1	K (ML)	2,16	1,74	1,33
2	K (MX) <sub>ax</sub>	1,74	1,74	1,82
3	K (MX) <sub>eq</sub>	1,60	1,67	1,69
4	H (LMX)	0,01	0,01	0,03
5	F (L...X)	0,16	0,16	0,12
6	H (XMX)	0,08	0,08	0,05
7	F (X...X)	0,17	0,17	0,18
8	I (X-X) <sub>t</sub>	0,11	0,12	0,11
9	I (X-X) <sub>c</sub>	0,01	0,00	0,02
10	I (MX,ML) <sub>t</sub>	0,54	0,50	0,39
11	I (MX,ML) <sub>c</sub>	0,00	0,03	0,01

Tabela 4.5

Constantes de força calculadas

Nº	Símbolo	POCl <sub>3</sub>	TTPO	TMPO
1	K (ML)	1,06	1,66	1,49
2	K (MX) <sub>ax</sub>	1,78	1,77	1,66
3	K (MX) <sub>eq</sub>	1,70	1,70	1,63
4	H (LMX)	0,03	0,01	0,01
5	F (L...X)	0,12	0,16	0,15
6	H (XMX)	0,05	0,06	0,06
7	F (X...X)	0,18	0,17	0,17
8	I (X-X) <sub>t</sub>	0,12	0,08	0,08
9	I (X-X) <sub>c</sub>	0,02	0,00	0,00
10	I (MX,ML) <sub>t</sub>	0,24	0,46	0,33
11	I (MX,ML) <sub>c</sub>	-0,02	0,01	-0,02

Tabela 4.6

Constantes de força calculadas

Nº	Símbolo	DMA	DMF	TMU
1	K (ML)	1,46	1,37	1,38
2	K (MX) <sub>ax</sub>	1,77	1,81	1,59
3	K (MX) <sub>eq</sub>	1,60	1,64	1,59
4	H (LMX)	0,01	0,01	0,03
5	F (L...X)	0,15	0,15	0,14
6	H (XMX)	0,08	0,07	0,06
7	F (X...X)	0,14	0,16	0,18
8	I (X-X) <sub>t</sub>	0,13	0,10	0,12
9	I (X-X) <sub>c</sub>	0,02	0,02	0,00
10	I (MX,ML) <sub>t</sub>	0,44	0,42	0,36
11	I (MX,ML) <sub>c</sub>	-0,02	0,01	0,00

Tabela 4.7

Constantes de força calculadas

Nº	Símbolo	DMSO	SeOCl <sub>2</sub>	DMSO <sub>2</sub>
1	K (ML)	1,94	1,52	1,03
2	K (MX) <sub>ax</sub>	1,75	1,89	1,84
3	K (MX) <sub>eq</sub>	1,68	1,72	1,67
4	H (LMX)	0,02	0,01	0,01
5	F (L...X)	0,15	0,14	0,11
6	H (XMX)	0,08	0,08	0,08
7	F (X...X)	0,14	0,14	0,19
8	I (X-X) <sub>t</sub>	0,09	0,13	0,09
9	I (X-X) <sub>c</sub>	0,01	0,01	0,03
10	I (MX,ML) <sub>t</sub>	0,42	0,37	0,26
11	I (MX,ML) <sub>c</sub>	-0,02	0,02	0,00

Tabela 4.8

## Constantes de força calculadas

Nº	Símbolo	BN	AN	ACN
1	K (ML)	0,68	0,56	0,53
2	K (MX) <sub>ax</sub>	1,66	1,66	1,64
3	K (MX) <sub>eq</sub>	1,60	1,60	1,66
4	H (LMX)	0,03	0,05	0,04
5	F (L...X)	0,05	0,05	0,02
6	H (XMX)	0,06	0,04	0,02
7	F (X...X)	0,20	0,24	0,25
8	I (X-X) <sub>t</sub>	-0,03	-0,02	0,05
9	I (X-X) <sub>c</sub>	-0,06	-0,08	-0,08
10	I (MX,ML) <sub>t</sub>	0,01	0,02	0,00
11	I (MX,ML) <sub>c</sub>	0,22	0,22	0,21

Tabela 4.9

## Constantes de força calculadas

Nº	Símbolo	PVN	PN	TN
1	K (ML)	0,58	0,58	0,57
2	K (MX) <sub>ax</sub>	1,67	1,64	1,75
3	K (MX) <sub>eq</sub>	1,62	1,68	1,70
4	H (LMX)	0,02	0,04	0,04
5	F (L...X)	0,05	0,02	0,06
6	H (XMX)	0,06	0,03	0,03
7	F (X...X)	0,22	0,25	0,23
8	I (X-X) <sub>t</sub>	0,00	0,07	-0,02
9	I (X-X) <sub>c</sub>	-0,08	-0,08	-0,08
10	I (MX,ML) <sub>t</sub>	0,06	0,05	0,00
11	I (MX,ML) <sub>c</sub>	0,22	0,20	0,23

Tabela 4.10Análise de coordenadas normais do  $SbCl_5 \cdot HMTP$ 

Espécie	$\nu$ (obs.) <sup>a</sup>	$\nu$ (calc.)	Distribuição de energia potencial
$a_1$	529	520	$100S_1$
	339	340	$8S_1 + 74S_2 + 27S_3$
	328	315	$37S_2 + 74S_3$
	150	148	$107S_4$
$b_1$	288	297	$100S_5$
	108	111	$100S_6$
$b_2$	180	179	$100S_7$
$e$	354	355	$107S_8$
	181	179	$75S_9 + 25S_{10}$
	175	169	$15S_9 + 50S_{10} + 39S_{11}$
	126	133	$13S_9 + 25S_{10} + 62S_{11}$

$$D = 2,5\%$$

<sup>a</sup> freqüências em  $\text{cm}^{-1}$ .

$$D = \left[ \left( \frac{\sum |v_{\text{obs.}} - v_{\text{cal.}}|}{v_{\text{obs.}}} \right) \right] \times 100 \quad \text{onde } n = \text{número de freqüências observadas.}$$

Tabela 4.11Análise de coordenadas normais do SbCl<sub>5</sub>.DMAP

Espécie	v(obs.)	v(calc.)	Distribuição de energia potencial
a <sub>1</sub>	482	482	94S <sub>1</sub>
	339	339	17S <sub>1</sub> + 78S <sub>2</sub> + 25S <sub>3</sub>
	328	321	34S <sub>2</sub> + 76S <sub>3</sub>
	149	148	108S <sub>4</sub>
b <sub>1</sub>	298	303	100S <sub>5</sub>
	106	111	100S <sub>6</sub>
b <sub>2</sub>	180	179	100S <sub>7</sub>
e	360	360	108S <sub>8</sub>
	177	177	61S <sub>9</sub> + 39S <sub>10</sub>
	175	169	27S <sub>9</sub> + 37S <sub>10</sub> + 42S <sub>11</sub>
	126	133	15S <sub>9</sub> + 26S <sub>10</sub> + 60S <sub>11</sub>

D = 1,8%

Tabela 4.12Análise de coordenadas normais do SbCl<sub>5</sub>.DDP

Especie	v(obs.)	v(calc.)	Distribuição de energia potencial
a <sub>1</sub>	422	423	87S <sub>1</sub>
	350	351	21S <sub>1</sub> + 74S <sub>2</sub> + 22S <sub>3</sub>
	332	323	35S <sub>2</sub> + 77S <sub>3</sub>
	147	144	108S <sub>4</sub>
b <sub>1</sub>	296	299	100S <sub>5</sub>
	102	108	100S <sub>6</sub>
b <sub>2</sub>	180	171	100S <sub>7</sub>
e	364	364	108S <sub>8</sub>
	180	178	85S <sub>9</sub> + 14S <sub>10</sub>
	167	162	7S <sub>9</sub> + 63S <sub>10</sub> + 36S <sub>11</sub>
	118	128	10S <sub>9</sub> + 25S <sub>10</sub> + 66S <sub>11</sub>

D = 2,7%

Tabela 4.13Análise de coordenadas normais do SbCl<sub>5</sub>.TMPO

Espécie	$\nu$ (obs.)	$\nu$ (calc.)	Distribuição de energia potencial
$a_1$	447	447	$99S_1$
	336	341	$8S_1 + 71S_2 + 28S_3$
	323	314	$39S_2 + 72S_3$
	133	141	$110S_4$
$b_1$	289	296	$100S_5$
	104	106	$100S_6$
$b_2$	175	170	$100S_7$
$e$	360	359	$108S_8$
	184	180	$75S_9 + 25S_{10}$
	167	161	$16S_9 + 51S_{10} + 40S_{11}$
	117	127	$13S_9 + 25S_{10} + 62S_{11}$
D = 2,9%			

Tabela 4.14Análise de coordenadas normais do  $SbCl_5 \cdot TTPO$ 

Espécie	$\nu$ (obs.)	$\nu$ (calc.)	Distribuição de energia potencial
$a_1$	472	472	$95S_1$
	342	342	$15S_1 + 80S_2 + 25S_3$
	326	321	$32S_2 + 78S_3$
	142	143	$109S_4$
$b_1$	298	302	$100S_5$
	-	108	$100S_6$
$b_2$	178	170	$100S_7$
$e$	367	367	$107S_8$
	180	177	$86S_9 + 14S_{10}$
	161	161	$7S_9 + 62S_{10} + 36S_{11}$
	-	127	$10S_9 + 25S_{10} + 65S_{11}$

 $D = 0,5\%$

Tabela 4.15

Análise de coordenadas normais do  $SbCl_5 \cdot POCl_3$

Espécie	$\nu$ (obs.)	$\nu$ (calc.)	Distribuição de energia potencial
$a_1$	383	383	$86S_1$
	355	357	$20S_1 + 66S_2 + 24S_3$
	334	322	$41S_2 + 72S_3$
	144	144	$109S_4$
$b_1$	295	299	$100S_5$
	101	108	$100S_6$
$b_2$	180	172	$100S_7$
$e$	363	363	$108S_8$
	180	177	$83S_9 + 16S_{10}$
	168	163	$8S_9 + 61S_{10} + 36S_{11}$
	124	128	$10S_9 + 25S_{10} + 65S_{11}$

$D = 2,6\%$

Tabela 4.16Análise de coordenadas normais do  $SbCl_5 \cdot DMA$ 

Especie	$\nu$ (obs.)	$\nu$ (calc.)	Distribuição de energia potencial
$a_1$	445	444	$94S_1$
	338	342	$15S_1 + 77S_2 + 23S_3$
	323	315	$34S_2 + 78S_3$
	140	144	$107S_4$
$b_1$	290	294	$100S_5$
	108	108	$100S_6$
$b_2$	175	174	$100S_7$
$e$	350	350	$106S_8$
	174	173	$70S_9 + 31S_{10}$
	166	164	$19S_9 + 45S_{10} + 40S_{11}$
	123	129	$14S_9 + 25S_{10} + 61S_{11}$

 $D = 1,4\%$

Tabela 4.17Análise de coordenadas normais do SbCl<sub>5</sub>.DMF

Especie	$\nu$ (obs.)	$\nu$ (calc.)	Distribuição de energia potencial
$a_1$	433	434	$89S_1$
	346	346	$21S_1 + 79S_2 + 20S_3$
	325	318	$31S_2 + 80S_3$
	137	143	$109S_4$
$b_1$	290	295	$100S_5$
	101	107	$100S_6$
$b_2$	172	172	$100S_7$
$e$	359	359	$107S_8$
	177	174	$76S_9 + 24S_{10}$
	170	162	$14S_9 + 52S_{10} + 40S_{11}$
	125	128	$12S_9 + 25S_{10} + 62S_{11}$

D = 2,3%

Tabela 4.18Análise de coordenadas normais do SbCl<sub>5</sub>.TMU

Espécie	v(obs.)	v(calc.)	Distribuição de energia potencial
a <sub>1</sub>	428	430	96S <sub>1</sub>
	337	338	11S <sub>1</sub> + 52S <sub>2</sub> + 44S <sub>3</sub>
	313	312	59S <sub>2</sub> + 56S <sub>3</sub>
	157	147	109S <sub>4</sub>
b <sub>1</sub>	295	295	100S <sub>5</sub>
	113	110	100S <sub>6</sub>
b <sub>2</sub>	174	173	100S <sub>7</sub>
e	352	352	109S <sub>8</sub>
	180	183	88S <sub>9</sub> + 11S <sub>10</sub>
	160	164	5S <sub>9</sub> + 66S <sub>10</sub> + 34S <sub>11</sub>
	130	129	9S <sub>9</sub> + 25S <sub>10</sub> + 67S <sub>11</sub>

D = 1,4%

Tabela 4.19Análise de coordenadas normais do  $SbCl_5 \cdot DMSO$ 

Especie	$\nu$ (obs.)	$\nu$ (calc.)	Distribuição de energia potencial
$a_1$	502	502	$100S_1$
	342	346	$6S_1 + 73S_2 + 26S_3$
	327	317	$36S_2 + 74S_3$
	142	146	$105S_4$
$b_1$	292	298	$100S_5$
	110	109	$100S_6$
$b_2$	176	173	$100S_7$
$e$	362	363	$106S_8$
	180	179	$85S_9 + 13S_{10}$
	162	164	$6S_9 + 61S_{10} + 35S_{11}$
	127	129	$11S_9 + 25S_{10} + 64S_{11}$
D = 1,4%			

Tabela 4.20Análise de coordenadas normais do  $SbCl_5 \cdot DMSO_2$ 

Espécie	$\nu$ (obs.)	$\nu$ (calc.)	Distribuição de energia potencial
$a_1$	380	379	$60S_1 + 14S_2 + 11S_3$
	355	358	$45S_1 + 64S_2 + 12S_3$
	333	322	$33S_2 + 79S_3$
	138	146	$108S_4$
$b_1$	290	294	$100S_5$
	113	109	$100S_6$
$b_2$	183	187	$100S_7$
$e$	363	364	$108S_8$
	183	180	$80S_9 + 20S_{10}$
	163	159	$48S_9 + 51S_{10}$
	130	131	$52S_9 + 16S_{10} + 32S_{11}$

D = 2,2%

Tabela 4.21

Análise de coordenadas normais do  $SbCl_5 \cdot SeOCl_2$

Espécie	$\nu$ (obs.)	$\nu$ (calc.)	Distribuição de energia potencial
$a_1$	452	452	$97S_1$
	346	352	$11S_1 + 85S_2 + 16S_3$
	326	324	$24S_2 + 84S_3$
	145	144	$107S_4$
$b_1$	303	305	$100S_5$
	111	108	$100S_6$
$b_2$	181	171	$100S_7$
$e$	369	363	$107S_8$
	170	176	$83S_9 + 17S_{10}$
	157	163	$9S_9 + 58S_{10} + 36S_{11}$
	120	128	$12S_9 + 25S_{10} + 63S_{11}$

$D = 2,2\%$

Tabela 4.22Análise de coordenadas normais do  $SbCl_5 \cdot BN$ 

Espécie	$\nu$ (obs.)	$\nu$ (calc.)	Distribuição de energia potencial
$a_1$	376	376	$39S_1 + 17S_2 + 23S_3$
	340	340	$86S_2 + 11S_3$
	236	236	$81S_1 + 85S_3$
	139	136	$108S_4$
$b_1$	290	291	$100S_5$
	99	102	$100S_6$
$b_2$	182	181	$100S_7$
$e$	367	367	$107S_8$
	172	173	$81S_{10} + 22S_{11}$
	148	149	$28S_9 + 12S_{10} + 62S_{11}$
	121	121	$71S_9 + 10S_{10} + 19S_{11}$

 $D = 0,7\%$

Tabela 4.23Análise de coordenadas normais do  $SbCl_5 \cdot AN$ 

Espécie	$\nu$ (obs.)	$\nu$ (calc.)	Distribuição de energia potencial
$a_1$	369	369	$27S_1 + 21S_2 + 31S_3$
	344	344	$84S_2 + 13S_3$
	221	221	$98S_1 + 80S_3$
	135	140	$113S_4$
$b_1$	296	296	$100S_5$
	93	106	$102S_6$
$b_2$	187	181	$100S_7$
$e$	369	369	$109S_8$
	174	173	$11S_9 + 82S_{10} + 12S_{11}$
	169	163	$64S_9 + 38S_{11}$
	130	132	$25S_9 + 20S_{10} + 56S_{11}$

 $D = 1,8\%$

Tabela 4.24Análise de coordenadas normais do  $SbCl_5 \cdot ACN$ 

Espécie	$\nu$ (obs.)	$\nu$ (calc.)	Distribuição de energia potencial
$a_1$	364	363	$20S_1 + 24S_2 + 38S_3$
	347	345	$80S_2 + 18S_3$
	223	223	$100S_1 + 63S_3$
	130	132	$114S_4$
$b_1$	307	306	$99S_5$
	90	100	$102S_6$
$b_2$	183	178	$100S_7$
$e$	370	368	$109S_8$
	166	168	$86S_{10} + 21S_{11}$
	154	148	$39S_9 + 57S_{11}$
	122	122	$60S_9 + 11S_{10} + 30S_{11}$

 $D = 2,4\%$

Tabela 4.25Análise de coordenadas normais do SbCl<sub>5</sub>.TN

Espécie	v(obs.)	v(calc.)	Distribuição de energia potencial
a <sub>1</sub>	376	376	26S <sub>1</sub> + 25S <sub>2</sub> + 28S <sub>3</sub>
	350	349	79S <sub>2</sub> + 16S <sub>3</sub>
	224	224	98S <sub>1</sub> + 79S <sub>3</sub>
	143	134	113S <sub>4</sub>
b <sub>1</sub>	303	304	100S <sub>5</sub>
	90	102	101S <sub>6</sub>
b <sub>2</sub>	175	173	100S <sub>7</sub>
e	380	378	108S <sub>8</sub>
	161	165	16S <sub>9</sub> + 79S <sub>10</sub>
	159	156	61S <sub>9</sub> + 39S <sub>11</sub>
	124	127	23S <sub>9</sub> + 21S <sub>10</sub> + 58S <sub>11</sub>

D = 2,6%

Tabela 4.26Análise de coordenadas normais do SbCl<sub>5</sub>.PVN

Espécie	v(obs.)	v(calc.)	Distribuição de energia potencial
a <sub>1</sub>	365	365	29S <sub>1</sub> + 13S <sub>2</sub> + 36S <sub>3</sub>
	344	343	93S <sub>2</sub> + 6S <sub>3</sub>
	224	225	96S <sub>1</sub> + 80S <sub>3</sub>
	151	136	112S <sub>4</sub>
b <sub>1</sub>	300	299	100S <sub>5</sub>
	100	103	100S <sub>6</sub>
b <sub>2</sub>	185	185	100S <sub>7</sub>
e	369	368	108S <sub>8</sub>
	172	176	81S <sub>10</sub> + 23S <sub>11</sub>
	143	150	20S <sub>9</sub> + 14S <sub>10</sub> + 68S <sub>11</sub>
	117	119	79S <sub>9</sub> + 75S <sub>10</sub> + 13S <sub>11</sub>

D = 2,1%

Tabela 4.27Análise de coordenadas normais do SbCl<sub>5</sub>.PN

Espécie	v (obs.)	v (calc.)	Distribuição de energia potencial
a <sub>1</sub>	364	365	23S <sub>1</sub> + 7S <sub>2</sub> + 48S <sub>3</sub>
	348	347	98S <sub>2</sub> + 6S <sub>3</sub>
	236	237	94S <sub>1</sub> + 61S <sub>3</sub>
	130	132	114S <sub>4</sub>
b <sub>1</sub>	308	308	99S <sub>5</sub>
	101	100	102S <sub>6</sub>
b <sub>2</sub>	183	178	100S <sub>7</sub>
e	368	369	108S <sub>8</sub>
	170	168	86S <sub>10</sub> + 21S <sub>11</sub>
	-	148	39S <sub>9</sub> + 7S <sub>10</sub> + 57S <sub>11</sub>
	123	122	60S <sub>9</sub> + 11S <sub>10</sub> + 30S <sub>11</sub>

$$D = 1,1\%$$

#### 4.e. Bibliografia

1. T. Shimanouchi, S. Takeda, K. Fukushima e I. Suzuki, "Computer Programs for Normal Coordinate Analysis, Molecular Vibrations (MV-1)", The University of Tokio (1958).
2. T. Shimanouchi, "Computer Programs for Normal Coordinate Treatment of Polyatomic Molecules", The University of Tokio (1968).
3. J. Overend e J. R. Scherer, J. Chem. Phys., 32, 1289 (1960).
4. J. H. Schachtschneider, "Vibrational Analysis of Polyatomic Molecules", Technical Reports nº 231-64 e 57-65, Shell Development Company, Emeryville, California (USA).
5. J. H. Schachtschneider e R. G. Snyder, Spectrochim. Acta, 19, 117 (1963).
6. E. B. Wilson, Jr., J. C. Decius e P. C. Cross, "Molecular Vibrations", McGraw-Hill, New York (1955).
7. G. Herzberg, "Infrared and Raman Spectra of Polyatomic Molecules", Van Nostrand, New York (1945).
8. Y. Hase, Dissertação de Mestrado, "Programas de Computação para Análise de Coordenadas Normais e sua Aplicação ao Espectro Vibracional do Anidrido Ftálico e seus Tetrahalo Derivados", Instituto de Química da Universidade de São Paulo, São Paulo (1974).
9. Y. Hase e O. Sala, "Programas de Computação para Análise de Coordenadas Normais", Universidade de São Paulo (1973).
10. Y. Hase e O. Sala, "Input Instructions for Normal Coordinate Analysis", Universidade de São Paulo (1973).
11. D. E. Mann, T. Shimanouchi, J. H. Meal e L. Fano, J. Chem. Phys., 27, 43 (1957).
12. L. Pauling, "The Nature of Chemical Bond", Cornell Univ. Press, New York, 3a. ed., (1960).
13. I. Lindqvist, C. I. Bränden, Acta Cryst., 12, 642 (1959).
14. C. I. Bränden e I. Lindqvist, Acta Chem. Scand., 15, 167 (1961).
15. L. Brun e C. I. Bränden, Acta Cryst., 20, 749 (1966).
16. H. Binas, Z. anorg. allgem. Chem., 352, 271 (1967).
17. M. Masson, Z. A. Payne e M. J. F. Leroy, Spectrochim. Acta, 33A, 37 (1977).

18. T. Shimanouchi, em "Physical Chemistry - An Advanced Treatise", Academic Press, Inc., New York, cap. 6 (1970).

## 5. DISCUSSÃO

### 5.a. Freqüências de Grupo

O conceito de freqüência de grupo geralmente tem sido de muita valia no entendimento do espectro vibracional das mais diferentes moléculas. Este conceito parte da premissa de que os grupos funcionais, por exemplo,  $\text{>P=O}$ ,  $\text{>S=O}$ ,  $\text{>C=O}$ ,  $\text{-C}\equiv\text{N}$  entre outros, possuem freqüências características nos seus espectros vibracionais as quais são, em maior ou menor extensão, afetadas pela sua vizinhança. No que se refere ao estudo de complexos torna-se importante destacar um aspecto similar, ou seja, os efeitos que a coordenação causa nas freqüências de grupo do ligante. Desse ponto de vista discutiremos as variações mais significativas o corridas nos espectros dos ligantes após a complexação, dando ênfase às principais freqüências de estiramento.

#### 5.a.1. Ligantes contendo Grupo $\text{>P=O}$

Pela observação da Tabela 5.1 verifica-se que para todos os complexos contendo o grupo  $\text{>P=O}$  ocorre um deslocamento negativo da freqüência de estiramento P-O,  $\nu(\text{PO})$ , o que é uma indicação de que a coordenação se verifica pelo átomo de oxigênio, como já foi demonstrado por estudos de Raio-X (1). Estes deslocamentos, da ordem de  $107\text{-}194 \text{ cm}^{-1}$ , foram observados por outros autores com os mais diferentes metais (2-14).

Existem pelo menos três maneiras de explicar este abaixamento de freqüência. Cotton, Barnes e Banister (15), assumindo que a ligação fósforo-oxigênio tem multiplicidade maior que um, consideram que, após a complexação, podem ocorrer os seguintes e-

Tabela 5.1

Freqüências observadas para  $\nu(\text{PO})$  livre e  $\nu(\text{PO})$  complexado

Ligante	$\nu(\text{PO})_1^a$	$\nu(\text{PO})_c^a$	$\Delta\nu(\text{PO})^b$
HMTP	1209	1015	-194
DMAP	1238	1081	-157
DDP	1266	1152	-114
$\text{POCl}_3$	1298	1158	-140
TMPO	1150	1043	-107
TTPO	1189	1034	-155

<sup>a</sup>  $\nu(\text{PO})_1$ ,  $\nu(\text{PO})_c$ : respectivamente estiramento P-O no ligante livre e complexado em  $\text{cm}^{-1}$ .

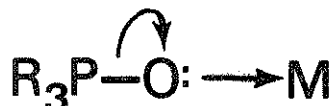
<sup>b</sup>  $\Delta\nu(\text{PO}) = \nu(\text{PO})_1 - \nu(\text{PO})_c$ .

feitos sobre a referida ligação:

- i) quando o átomo de oxigênio é colocado em contacto com um ion carregado positivamente e havendo a formação de uma ligação covalente, podemos esperar um aumento do caráter σ da ligação P=O, que resulta num aumento da constante de força  $K_{PO}$ .
- ii) que concomitantemente o "back-bonding"  $p_{\pi}-d_{\pi}$  ( $O \rightarrow P$ ) tende a diminuir, de modo a abaixar o valor da constante de força  $K_{PO}$ .

Como, experimentalmente, o segundo efeito reflete o abaixamento de freqüência que se verifica após a complexação, os autores acreditam que o segundo efeito seja predominante. Para o caso do ligante  $POCl_3$ , onde os dados são disponíveis, verificamos que o valor da constante de força  $K_{PO}$  é 10,24 mdinas/ $\text{\AA}^{\circ}$  (16) enquanto que, no complexo, está ao redor de 7,50 mdinas/ $\text{\AA}^{\circ}$  (17).

Outra maneira de se explicar este deslocamento foi dada usando-se o princípio da eletroneutralidade (18). Nesta, a formação da ligação dativa do ligante para o metal resulta num aumento da carga positiva no átomo de oxigênio. Desde que a ligação P-O, tem usualmente a polaridade  $P^+-O^-$ , ela é enfraquecida pela doação dos elétrons do átomo de oxigênio. Ao mesmo tempo, os elétrons tendem a dirigir-se para o oxigênio de modo a neutralizar esta carga. Esquematicamente teríamos:



Por último a explicação sugerida por Naumova, Vvendenskaya e Stepin (19). Segundo estes autores, um deslocamento da densidade eletrônica da ligação P=O para o metal faz com que haja um aumento da eletronegatividade do átomo de fósforo que influencia o deslocamento da densidade eletrônica ao longo da ligação

fósforo-substituinte (P-R). Como resultado líquido teríamos um a baixamento da freqüência de estiramento fósforo-oxigênio  $\nu(\text{PO})$ , e um aumento da freqüência de estiramento fósforo-substituinte  $\nu(\text{PR})$ . Na tabela 5.2 apresentamos os resultados de freqüência de estiramento  $\nu(\text{PR})$ , onde este aumento pode ser verificado. Estes deslocamentos também são mostrados na figura 5.1.

Estes resultados estão de acordo com o modelo de interação doador-receptor, desenvolvido por Lindqvist (20), que leva em conta rearranjos eletrônicos e estruturais após a formação da ligação coordenativa. Se analisarmos os resultados de raio -X existentes na literatura para os complexos de  $\text{SbCl}_5 \cdot \text{POCl}_3$  e  $\text{SbCl}_5 \cdot \text{TMPO}$  verificamos que as distâncias  $r(\text{PO}) = 1,45 \text{ \AA}$  e  $r(\text{PCl}) = 2,02 \text{ \AA}$  (21) no  $\text{POCl}_3$ , passam para  $r(\text{PO}) = 1,46 \text{ \AA}$  e  $r(\text{PCl}) = 1,95 \text{ \AA}$  (1) no complexo, enquanto que  $r(\text{PO}) = 1,48 \text{ \AA}$  e  $r(\text{PC}) = 1,81 \text{ \AA}$  (22) no TMPO, mudam para  $r(\text{PO}) = 1,56 \text{ \AA}$  e  $r(\text{PC}) = 1,82 \text{ \AA}$  (1) no complexo.

Se considerarmos a série de ligantes  $\text{OPR}_n\text{Cl}_{3-n}$  onde,  $R = (\text{N}(\text{CH}_3)_2)$ , verificamos que as freqüências de estiramento  $\nu(\text{PO})$ , nos ligantes livres, aumentam linearmente à medida que introduzimos os átomos de cloro (fig. 5.2). Entretanto, para os complexos, este comportamento só é verificado para  $n = 1, 2, 3$  como podemos observar na figura 5.3. Este fato serve para mostrar que o aumento da electronegatividade nos substituintes, aumenta a ordem da ligação P=O diminuindo o poder doador do oxigênio (19), mas não parece ter uma correlação simples com a magnitude dos deslocamentos observados. Em outras palavras, não podemos relacionar a magnitude do deslocamento com o poder doador. Este aspecto fica ainda mais evidenciado quando analisamos os complexos  $\text{SbCl}_5 \cdot \text{POCl}_3$  e  $\text{SbCl}_5 \cdot \text{TMPO}$ . No primeiro, temos um deslocamento da freqüência PO de  $\sim 140 \text{ cm}^{-1}$ , enquanto que, no segundo,  $107 \text{ cm}^{-1}$ . A princípio es-

Tabela 5,2

Freqüências observadas para  $\nu(\text{PR})$  onde R = C, N, Cl, antes e depois da complexação, em complexos de  $\text{SbCl}_5$  com fosfinóxidos.

Ligante	Atribuição	$\nu(\text{PR})_1 (\text{cm}^{-1})$	$\nu(\text{PR})_c (\text{cm}^{-1})$	$\Delta(\text{PR})$
HMTP	$\nu_s$ (PN)	632	655	+23
	$\nu_a$ (PN)	740	754	+14
DMAP	$\nu_s$ (PN)	674	705	+31
	$\nu_a$ (PN)	756	768	+12
	$\nu$ (PCl)	538	585	+47
DDP	$\nu$ (PN)	726	737	+11
	$\nu_s$ (PCl)	518	566	+48
	$\nu_a$ (PCl)	565	600	+35
$\text{POCl}_3$	$\nu_s$ (PCl)	485	524	+39
	$\nu_a$ (PCl)	582	622	+40
TMPO	$\nu_s$ (PC)	669	690	+21
	$\nu_a$ (PC)	743	772	+29

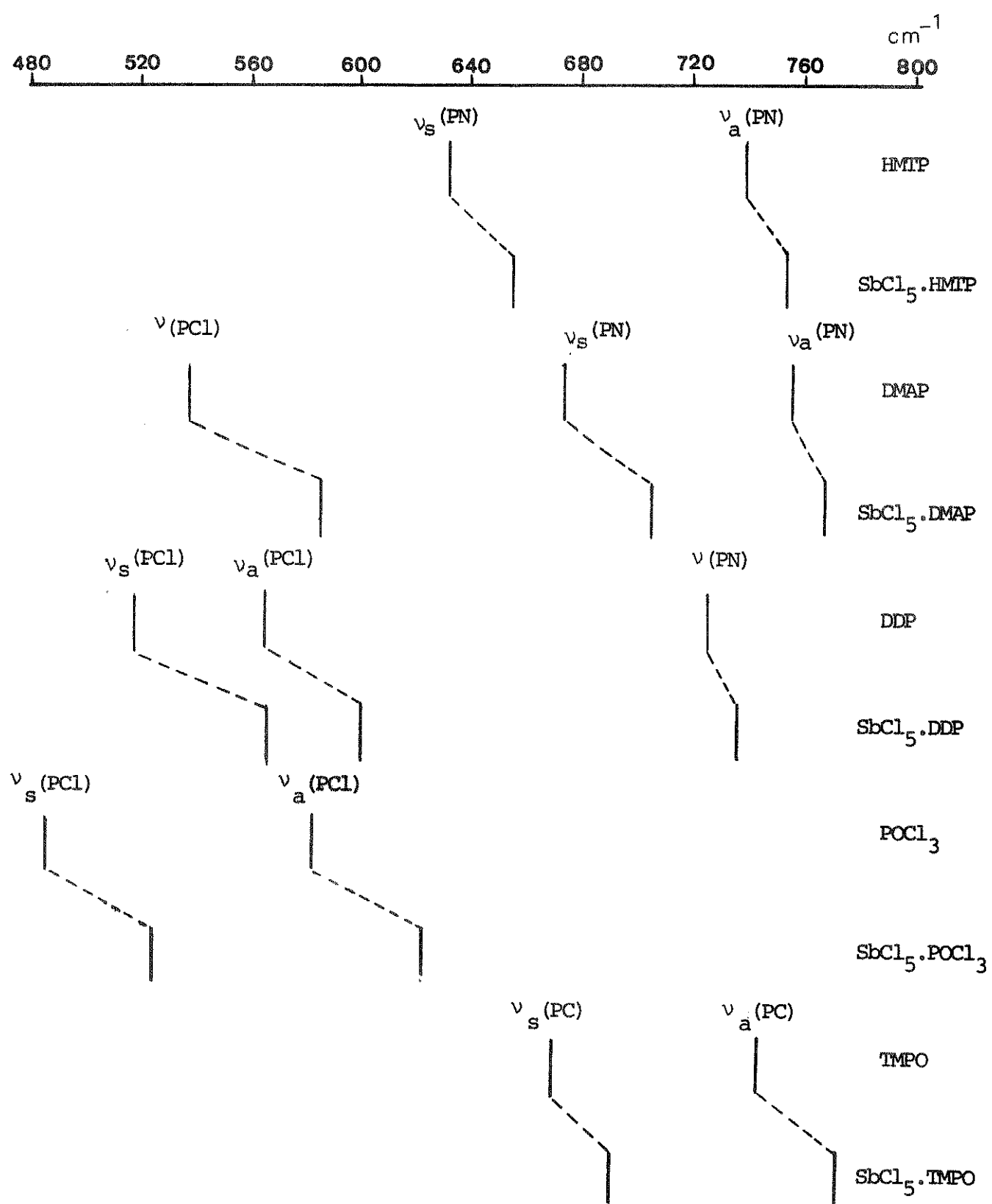


FIGURA 5.1.

Deslocamento das frequências  $\nu(\text{PR})$  em complexos  
 $\text{SbCl}_5 \cdot \text{OPR}_3$

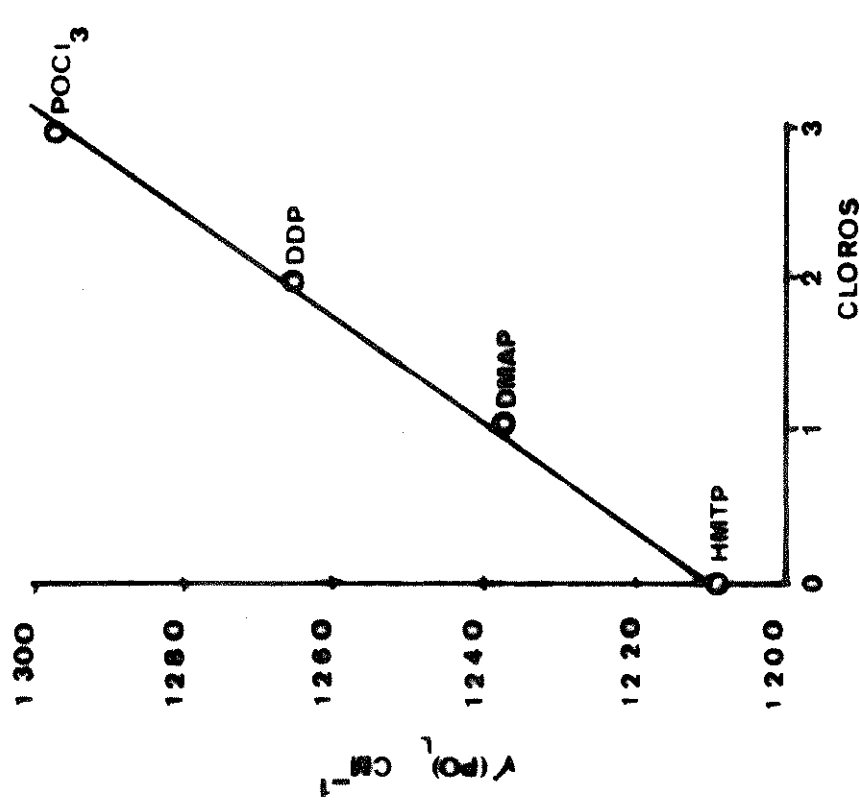


FIGURA 5.2  
Variação da frequência PO (livre)  
com o número de átomos de Cloro

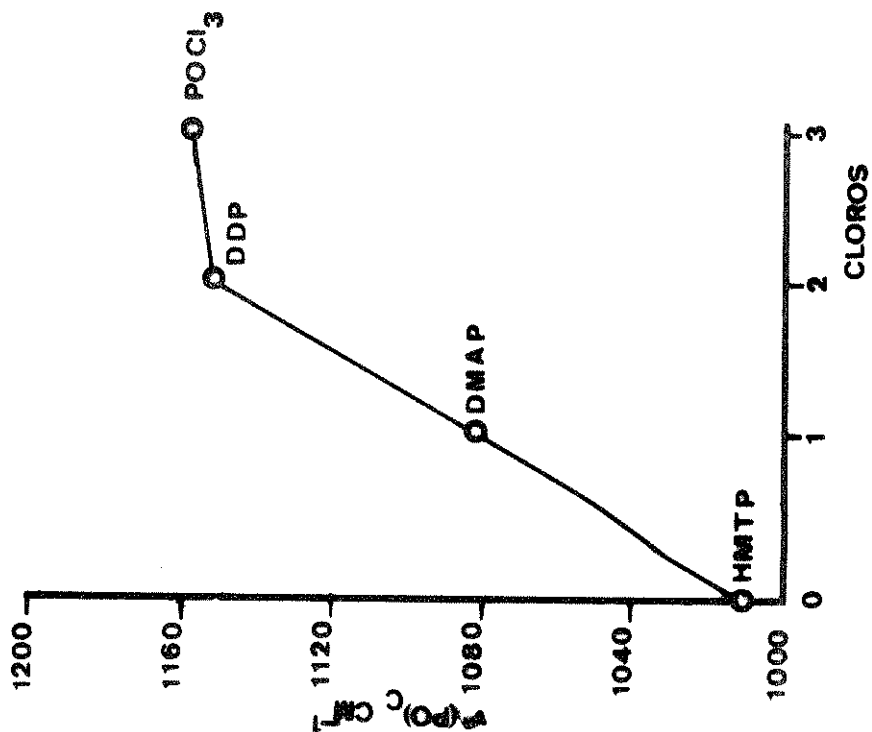


FIGURA 5.3  
Variação da frequência PO (complexo)  
com o número de átomos de cloro

tes dados poderiam sugerir que o poder doador do  $\text{POCl}_3$  fosse maior que o TMPO, o que não é verdade, uma vez que é sabido que a influência dos cloros diminui a capacidade de participação dos elétrons do oxigênio na ligação doador-receptor (19). Este aspecto também foi observado, experimentalmente, por Kinell (23).

Devemos considerar, ainda, que para os complexos com os ligantes HMTP, DMAP, DDP, onde há um deslocamento monotônico das freqüências em relação ao nº de cloros, o critério de deslocamento de freqüência não pode ser aplicado sem restrições.

#### 5.a.2. Ligantes contendo Grupo $>\text{C=O}$

Os complexos envolvendo grupos  $>\text{C=O}$ , à semelhança dos fosfinóxidos, apresentam um deslocamento negativo da freqüência de estiramento  $\nu(\text{CO})$ , após a complexação. Entretanto os valores são muito pequenos em relação aos deslocamentos apresentados pelos fosfinóxidos, como pode ser observado na tabela 5.3.

Tabela 5.3

Freqüências observadas para  $\nu(\text{CO})_L$  (livre) e  $\nu(\text{CO})_C$  (complexado).

Ligante	$\nu(\text{CO})_L^a$	$\nu(\text{CO})_C$	$\Delta\nu(\text{CO})^b$
DMF	1672	1668	-4
DMA	1636	1626	-10
TMU	1635	1614	-21

<sup>a</sup> freqüências em  $\text{cm}^{-1}$ ;

<sup>b</sup>  $\Delta\nu(\text{CO}) = \nu(\text{CO})_L - \nu(\text{CO})_C$

Estes deslocamentos de freqüência podem ser interpretados como uma indicação da coordenação através do oxigênio, como geralmente ocorre para complexos onde o ligante apresenta o grupo  $\text{>C=O}$  (24-27).

Também para o caso dos ligantes contendo  $\text{>C=O}$  estes deslocamentos são explicados em termos de um fluxo de elétrons do oxigênio para o metal reduzindo, desta forma, a ordem da ligação  $\text{>C=O}$ , consequentemente sua constante de força e freqüência vibracional.

Os parâmetros de Raio -X para os complexos  $\text{SbCl}_5\cdot\text{DMF}$  e  $\text{SbCl}_5\cdot\text{TEC}$  (TEC = carbonato de tetracloroetileno), tabela 5.4, mos-

Tabela 5.4

Parâmetros de Raio -X para complexos  
contendo ligantes com grupo  $\text{>C=O}$

	DMF	REF.	$\text{SbCl}_5\cdot\text{DMF}$	REF.
$r(\text{CO})$	$1,20 \text{ \AA}^\circ$	27	$1,30 \text{ \AA}^\circ$	28
$r(\text{CN})$	$1,34 \text{ \AA}^\circ$	27	$1,29 \text{ \AA}^\circ$	28
	TEC	REF.	$\text{SbCl}_5\cdot\text{TEC}$	REF.
$r(\text{C=O})$	$1,15 \text{ \AA}$	29	$1,22 \text{ \AA}$	30
$r(\text{C-O})$	$1,33 \text{ \AA}^\circ$	29	$1,25 \text{ \AA}^\circ$	30

tram que a distância  $r_{\text{CO}}$  sofre um aumento após a complexação, enquanto que as ligações adjacentes à carbonila, um decréscimo. Este resultado está de acordo com o enfraquecimento da ligação carbono-oxigênio.

A magnitude do deslocamento da freqüência  $\nu(\text{CO})$  tem sido interpretada como uma medida do poder doador de elétrons destes ligantes. Uma interpretação deste tipo não leva em conta efeitos devidos aos acoplamentos desta vibração. Se analisarmos os resultados de análise de coordenadas normais, realizada para as amidas (27,31,32), podemos verificar que a distribuição de energia potencial para a freqüência na região de  $1600-1680 \text{ cm}^{-1}$ , apresenta contribuição de  $\nu(\text{CO}) + \nu(\text{CN}) + \delta(\text{CH})$ , para a DMF;  $\nu(\text{CO}) + \nu(\text{CN})$ , para DMA e  $\nu(\text{CO}) + \nu(\text{CN}) + \delta(\text{NCN})$ , para a TMU. Estes resultados mostram que a freqüência atribuída à  $\nu(\text{CO})$ , na verdade não é uma freqüência pura. Tendo em vista este aspecto torna-se difícil determinar se este deslocamento se deve principalmente ao efeito de coordenação, ou a uma variação dos acoplamentos, já que, para o nosso caso, estes deslocamentos são pequenos. Este critério de deslocamento de freqüência teria validade se os acoplamentos se mantivessem constantes após a complexação, o que só é possível determinar quantitativamente através de dados oriundos de uma análise de coordenadas normais.

Com relação às freqüências devidas aos estiramentos  $\nu(\text{CN})$  observamos que estas geralmente sofrem deslocamentos positivos contudo, da mesma maneira que o estiramento  $\nu(\text{CO})$ , estão muito acopladas e novamente é difícil dizer qual o efeito preponderante.

#### 5.a.3. Ligantes contendo >S=O, >Se=O e >SO<sub>2</sub>

Os complexos contendo os ligantes DMSO, SeOCl<sub>2</sub> e DMSO<sub>2</sub>, da mesma maneira que os ligantes contendo >P=O e >C=O, apresentaram deslocamentos negativos das freqüências  $\nu(X=O)$  ( $X = \text{S, Se}$ ) em relação aos ligantes livres, denotando que a coordenação se dá via oxigênio. Na tabela 5.5 podem ser observadas as principais varia-

Tabela 5.5

Variação das freqüências dos ligantes DMSO,  
 $\text{DMSO}_2$ ,  $\text{SeOCl}_2$  após a formação do complexo.

	DMSO	$\text{SbCl}_5 \cdot \text{DMSO}$	$\Delta\nu$
$\nu(\text{SO})$	1044 <sup>a</sup>	878	-166
$\nu_s(\text{CS})$	675	686	+11
$\nu_a(\text{CS})$	697	728	+31
	$\text{DMSO}_2$	$\text{SbCl}_5 \cdot \text{DMSO}_2$	$\Delta\nu$
$\nu(\text{SO})$	1121, 1268	1042, 1277	-79, +9
$\nu_s(\text{CS})$	702	694	-8
$\nu_a(\text{CS})$	761	770	+9
	$\text{SeOCl}_2^b$	$\text{SbCl}_5 \cdot \text{SeOCl}_2$	$\Delta\nu$
$\nu(\text{SeO})$	952	759	-193
$\nu_s(\text{SeCl})$	388	410	+22
$\nu_a(\text{SeCl})$	347	402	+55

<sup>a</sup> em  $\text{cm}^{-1}$ .

<sup>b</sup> ref (33).

ções ocorridas nas freqüências de grupo do ligante.

Para o caso dos ligantes DMSO e  $\text{SeOCl}_2$  observamos um deslocamento positivo das freqüências das ligações adjacentes à ligação  $\text{X}=\text{O}$  ( $\text{X} = \text{S}, \text{Se}$ ) após a complexação. Estes efeitos estão certamente relacionados com as modificações ocorridas nos parâmetros estruturais.

Os parâmetros de Raio-X mostraram os seguintes valores para  $\text{SeOCl}_2$  [ $r(\text{SeCl}) = 1,70 \text{ \AA}$   $r(\text{SeO}) = 1,61 \text{ \AA}$  (34)] e para o  $\text{SbCl}_5 \cdot \text{SeOCl}_2$  [ $\bar{r}(\text{Se-Cl}) = 2,11 \text{ \AA}$ ,  $\bar{r}(\text{SeO}) = 1,68 \text{ \AA}$  (35)], dados estes que acompanham as variações de freqüência.

No que se refere ao complexo com  $\text{DMSO}_2$ , estudos de raio-X mostraram que somente um grupo  $\text{S=O}$  está ligado, sendo observados os seguintes valores:  $\text{DMSO}_2$  [ $r(\text{CS}) = 1,90 \text{ \AA}$ ,  $r(\text{SO}) = 1,44 \text{ \AA}$  (36)] e no complexo [ $\bar{r}(\text{C-S}) = 1,70 \text{ \AA}$ ,  $r(\text{S-O-M}) = 1,53 \text{ \AA}$  e  $r(\text{SO}) = 1,46 \text{ \AA}$  (20)]. Notamos neste caso que apesar de uma variação significativa da distância  $\bar{r}(\text{C-S})$  este fato não é refletido nas freqüências.

#### 5.a.4. Ligantes contendo Grupo -C≡N

Em princípio, poderíamos esperar que os ligantes contendo o grupo  $\text{-C}\equiv\text{N}$  se comportassem de maneira análoga aos grupos  $\text{X=O}$  ( $\text{X} = \text{P}, \text{S}, \text{Se}$ ) mostrando um deslocamento negativo desta freqüência. Porem isto não ocorre, e muitos autores (37-45) têm verificado um aumento desta freqüência após a complexação. Na tabela 5.6 são apresentados os resultados encontrados neste trabalho.

Estes deslocamentos de freqüência são interpretados como uma indicação da coordenação através do átomo de nitrogênio.

Primeiramente estes deslocamentos foram atribuídos, por

Tabela 5.6

Frequências de  $\nu(C\equiv N)$  livre e  $\nu(C\equiv N)$  complexado ( $\text{cm}^{-1}$ )

Ligante	$\nu(C\equiv N)_l$	$\nu(C\equiv N)_c$	$\Delta\nu(C\equiv N)$
BN	2228	2264	+36
AN	2252	2313 (2303)	+61 (51)
ACN	2227	2274 (2285)	+47 (58)

Os valores ( ) são corrigidos devido a ressonância de Fermi entre  $\nu(C\equiv N)$  e  $\nu(C-C) + \delta(\text{CH}_3)$  para AN, e  $\nu(C\equiv N)$  e  $\nu(C-C) + \delta(\text{CH}_2)$  para ACN.

Walton (46) e Purcell e Drago (47), principalmente a um aumento na constante de força da ligação  $C\equiv N$ . Desta maneira este aumento na constante de força  $K_{CN}$  deveria refletir um decréscimo da distância  $r(C\equiv N)$  após a complexação, o que foi mostrado através da determinação dos parâmetros de raio-X dos compostos  $\text{BCl}_3 \cdot \text{AN}$ ,  $\text{BF}_3 \cdot \text{AN}$  e  $\text{SnCl}_4 \cdot 2\text{AN}$ . Nestes casos, a distância  $1,157 \text{ \AA}^{\circ}$  (48), na acetonitrila livre, passa para  $1,122 \text{ \AA}^{\circ}$ ,  $1,135 \text{ \AA}^{\circ}$  (49) e  $1,088$  e  $1,111 \text{ \AA}^{\circ}$  (50), respectivamente. O único complexo envolvendo  $\text{SbCl}_5$  e nitrilas, cuja estrutura foi determinada, foi o  $\text{SbCl}_5 \cdot \text{AN}$  onde foi encontrado um valor de  $1,18 \text{ \AA}^{\circ}$  (51), para  $r(C\equiv N)$ . Acreditamos que este valor mereça maiores refinamentos, pois podemos esperar o mesmo tipo de comportamento.

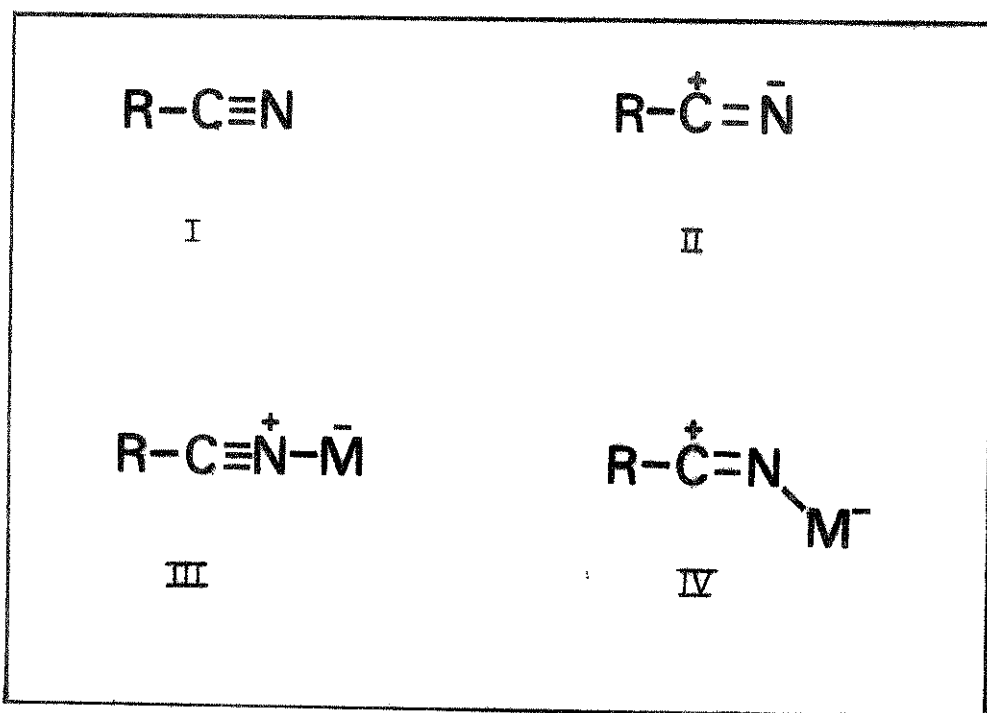
Purcell e Drago (47) admitem que o acoplamento entre as vibrações  $\nu(M-N)$  e  $\nu(C\equiv N)$  não cause um aumento substancial na frequência de estiramento  $\nu(C\equiv N)$ . Isto nos parece razoável já que podem ser encontrados casos onde os deslocamentos são da ordem de

$100 \text{ cm}^{-1}$  (52), casos estes que, certamente, não poderiam ser explicados admitindo-se somente o efeito de acoplamento. Tendo em vista este aspecto, alguns autores passaram a admitir que a maior contribuição ao aumento da freqüência de estiramento  $\nu(\text{C}\equiv\text{N})$  seja uma modificação na estrutura eletrônica da ligação nitrila.

Uma explicação razoável parece ser a proposta por Gerrard e col. (53). Segundo estes autores a nitrila livre tem uma estrutura resultante de duas formas I, II como aparece na figura 5.4.

FIGURA 5.4.

## Estrutura das Nitrilas e Complexos



Após a complexação poderíamos esperar as duas formas extremas III e IV. Desde que a ressonância entre III e IV envolve uma mudança de hibridização do átomo de nitrogênio, ela é muito improvável; e, desta maneira, espera-se que o complexo seja constituido inteiramente da forma III. Este fato leva a um aumento da ordem de ligação formal da ligação nitrila, em relação a acetonitrila livre composta de I e II, e explica o aumento da freqüência e da cons-

tante de força  $K_{CN}$ .

Com relação às outras freqüências, pudemos notar que a freqüência estiramento  $\nu(CC)$ , no complexo com acetonitrila, sofreu deslocamento de  $\sim 25 \text{ cm}^{-1}$  para freqüências mais altas, o que pode ser entendido como um fortalecimento desta ligação. Ainda, para o mesmo complexo, a freqüência devida a deformação linear  $\delta(CCN)$  sofreu deslocamento positivo da ordem de  $15 \text{ cm}^{-1}$  fato, aliás, já verificado para outros complexos envolvendo acetonitrila como ligante (45).

No que se refere ao complexo de  $SbCl_5 \cdot ACN$ , não existe evidência de ligação via através da dupla ligação, caso isso ocorresse teríamos o desaparecimento da freqüência de intensidade média que aparece na região de  $1600 \text{ cm}^{-1}$  (Raman).

A freqüência atribuída à deformação  $\delta(CCN)$ , da ACN, também sofreu pequeno deslocamento ( $\sim 10 \text{ cm}^{-1}$ ), para freqüências mais altas, após a formação do complexo.

Também para o caso das nitrilas o estabelecimento de uma ordem de poder doador, levando em conta o deslocamento verificado na freqüência  $\nu(C\equiv N)$ , é muito controvertida. Pelo fato de existir ressonância de Fermi entre o modo  $\nu(C\equiv N)$  e a combinação dos modos  $\nu(CC)$  e  $\delta(CH_3)$ , a atribuição desta freqüência por vezes é ambígua, o que pode acarretar uma certa dificuldade em se estabelecer o deslocamento real da freqüência.

#### 5.b. Influência dos ligantes sobre as freqüências de estiramento $\nu(SbCl)$ .

Como sabemos, o  $SbCl_5$  sofre uma profunda mudança em sua estereoquímica quando da formação de complexos do tipo  $SbCl_5 \cdot L$ . O  $SbCl_5$ , no estado líquido, apresenta uma simetria bipirâmide tri-

gonal ( $D_{3h}$ ) (54) e, nos complexos  $SbCl_5 \cdot L$ , onde temos o número de coordenação seis, uma simetria localizada  $C_{4v}$ . Este fato implica numa mudança de hibridização do átomo de antimônio, que dá origem a uma simetria em que temos quatro átomos de cloro no plano equatorial e um trans ao ligante. Para este tipo de complexo seria esperado que um aumento no poder doador do ligante se refletisse no enfraquecimento das ligações  $SbCl$ , devido ao aumento da densidade eletrônica sobre o átomo do metal, e que as influências sofridas pelos halogênios pudesse ser diferentes para aqueles situados no plano equatorial e trans ao ligante.

Os parâmetros de raio-X conhecidos para os complexos  $SbCl_5 \cdot POCl_3$  (1),  $SbCl_5 \cdot SeOCl_2$  (35),  $SbCl_5 \cdot DMF$  (28),  $SbCl_5 \cdot TMPO$  (1),  $SbCl_5 \cdot DMSO_2$  (1) mostram que as distâncias Sb-Cl estão compreendidas entre os valores 2,32-2,34 Å, o que aparentemente sugere que o poder de coordenação do ligante tem pouco efeito sobre as mesmas. Contudo, as distâncias Sb-O, para os complexos citados, apresentam variações significativas:  $SbCl_5 \cdot POCl_3$  (2,17 Å),  $SbCl_5 \cdot SeOCl_2$  (2,08 Å),  $SbCl_5 \cdot DMF$  (2,05 Å),  $SbCl_5 \cdot TMPO$  (1,94 Å) e  $SbCl_5 \cdot DMSO_2$  (2,12 Å).

Estas variações são devidas, pelo menos para o  $POCl_3$  e  $TMPO$ , a uma maior carga efetiva sobre o átomo do oxigênio do último. Deve ser levada em consideração a eletronegatividade dos grupos ligados ao átomo de fósforo que confere ao  $TMPO$  uma maior capacidade de doação do par de elétron isolado (19,55).

A análise da figura 5.5 revela que as freqüências de estiramento Sb-Cl sofrem deslocamentos com os diversos ligantes O-doadores, os quais estão colocados em ordem crescente de donicidade, do  $POCl_3$  ao  $HMTMP$  (56). Podemos verificar que a freqüência atribuída ao estiramento  $\nu(SbCl)_{eq}$ , de espécie  $a_1$ , sofre um deslo-

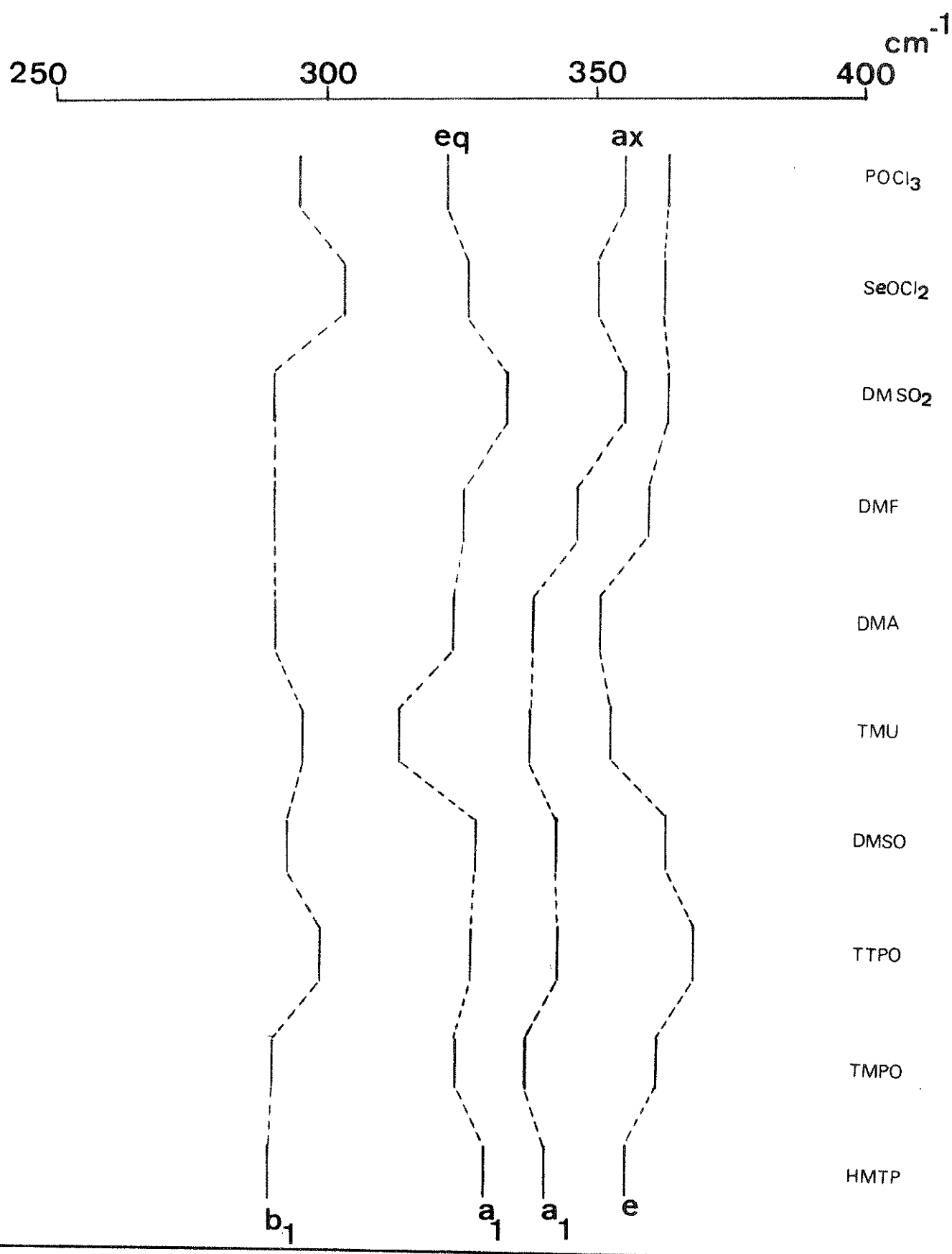


FIGURA 5.5

Variação das frequências de estiramento  
 $\text{SbCl}$  com Donicidade      (O-doadores)

camento - com exceção do complexo  $SbCl_5.TMU$  - dentro de uma faixa de  $\sim 10\text{ cm}^{-1}$ ; enquanto que a freqüência de estiramento  $\nu(SbCl)_{ax}$ , da mesma espécie, da ordem de  $20\text{ cm}^{-1}$ . A maior variação desta última, provavelmente, está relacionada com a maior variação da covalência da ligação Sb-Cl axial causada por uma maior transferência de elétrons do antimônio para o cloro, como já fora sugerido pela interpretação de resultados provenientes de estudos de espectroscopia Mösbauer de  $^{121}\text{Sb}$ , e Ressonância de Quadrupolo Nuclear de  $^{35}\text{Cl}$  (57,58).

Devemos considerar que a análise feita até aqui seria mais precisa se as freqüências fossem totalmente puras, o que não ocorre. A análise da distribuição de energia potencial (tabelas 4.10 a 4.21), para os complexos estudados, mostra um certo grau de acoplamento se verificando em maior extensão para o complexo  $SbCl_5.TMU$  (tabela 4.18), o que explicaria o desvio observado.

A figura 5.6 apresenta as variações ocorridas nas freqüências de estiramento  $\nu(SbCl)$ , para os complexos contendo nitrilas como ligante. De modo geral, as freqüências de estiramento  $\nu(SbCl)$  apresentam valores maiores que os observados, para o caso dos O-doadores, o que sugere que a interação entre o  $SbCl_5$  e os ligantes N-doadores é mais fraca.

A análise de coordenadas normais (tabelas de 4.22 a 4.27) mostra que as freqüências de estiramento antimônio-cloro apresentam a ordem  $\nu(SbCl)_{eq}(a_1) > \nu(SbCl)_{ax}(a_1)$ , onde temos uma situação contrária àquela dos O-doadores. Neste caso, são as freqüências de estiramento  $\nu(SbCl)_{eq}(a_1)$  que sofrem maiores deslocamentos quando o poder doador do ligante varia. Os deslocamentos observados para BN, AN e PN estão de acordo com a donicidade crescente ( $BN < AN < PN$ ).

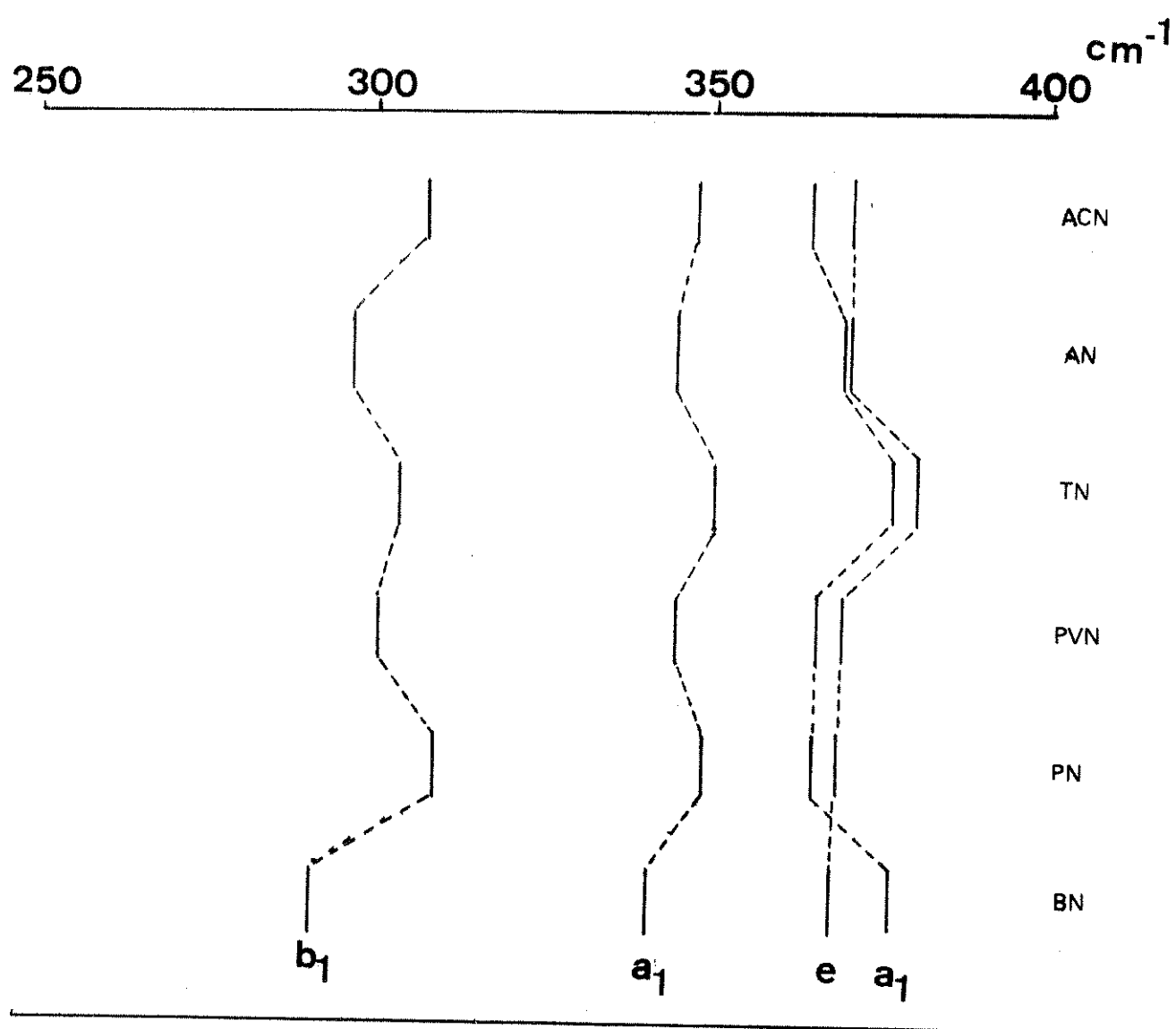


FIGURA 5.6.  
Variação das frequências  $\text{SbCl}$   
para as Nitrilas (N-doadores)

Este resultado é interessante pois que, apesar de estar de acordo com a escala de donicidade de Gutmann (56), a freqüência de estiramento equatorial, em princípio, parece ser a mais afetada pela coordenação.

### 5.c. Correlações entre constantes de força e poder doador dos ligantes.

#### 5.c.1. Ligantes O-doadores

A experiência tem mostrado que podemos correlacionar as constantes de força com a força de ligação, apesar disto não ser uma relação necessária, desde que a constante de força mede a curvatura da superfície potencial dos núcleos na posição de equilíbrio, enquanto que, a força de ligação, está associada com a altura do potencial.

Analisando os complexos  $SbCl_5 \cdot OP(N(CH_3)_2)_n Cl_{3-n}$ , verificamos que, à medida que vamos aumentando o número de cloros no ligante, diminuímos seu poder doador. A figura 5.7 mostra que existe uma correlação entre  $K(SbO)$  e poder doador do ligante visto que, quando aumentamos progressivamente os cloros, temos uma diminuição da constante de força. Este resultado pode mostrar que tal critério nos dá uma boa informação do que ocorre quando temos a complexação, já que enfocamos diretamente a ligação formada, e, não, os efeitos que ela causa na estrutura eletrônica do ligante (deslocamento de freqüência). Em princípio, poderíamos esperar que a freqüência  $\nu(SbO)$  mostrasse uma boa correlação com o aumento progressivo dos átomos de cloro. Contudo, pela figura 5.8, verificamos que esta correlação não é tão boa quanto a primeira, o que novamente nos coloca a necessidade de levarmos em conta os a-

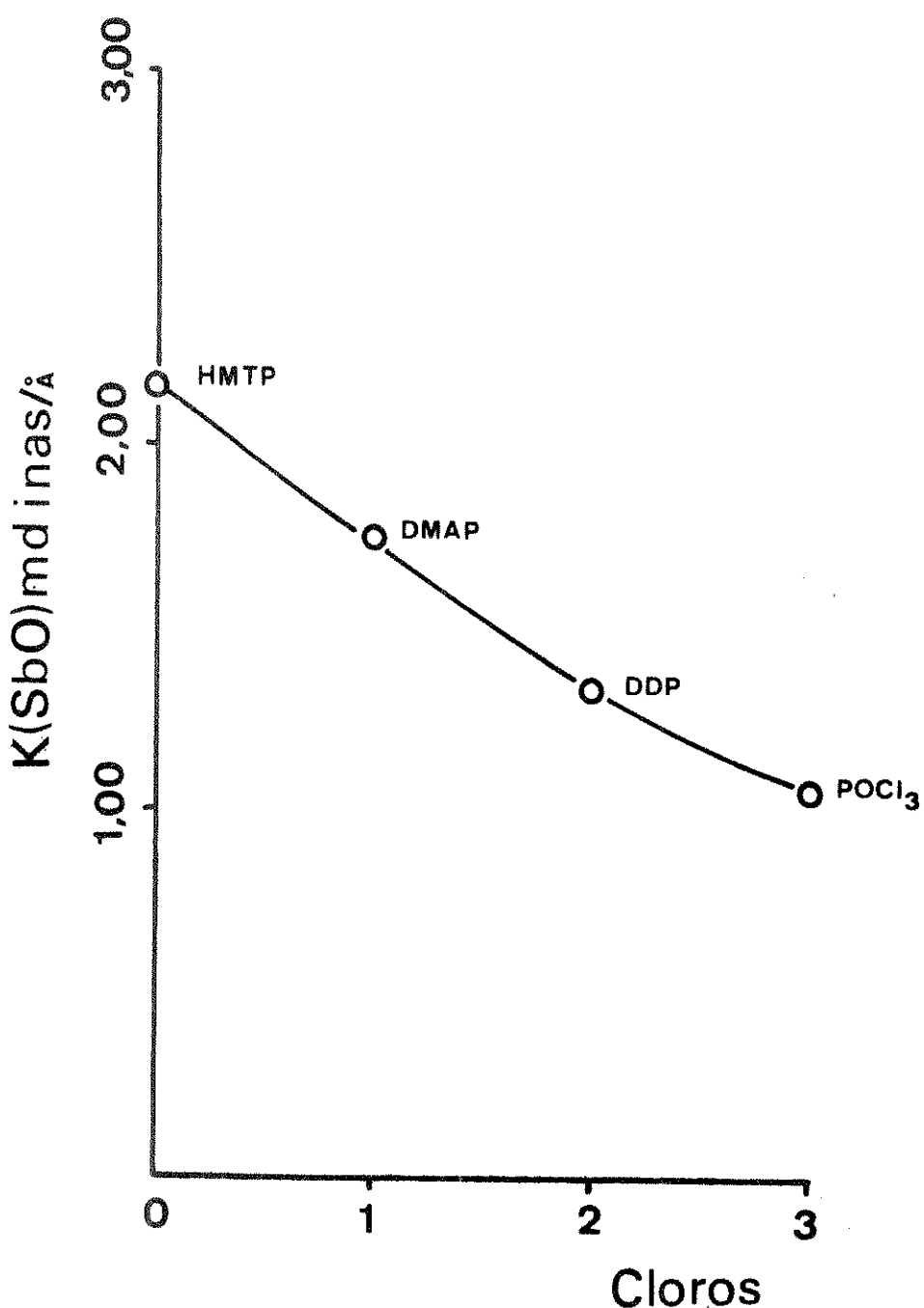


FIGURA 5.7.

Correlação entre  $K(\text{SbO})$  e número de átomos de Cloro para os complexos  $\text{SbCl}_5 \cdot \text{OP}(\text{N}(\text{CH}_3)_2)_n \text{Cl}_{3-n}$

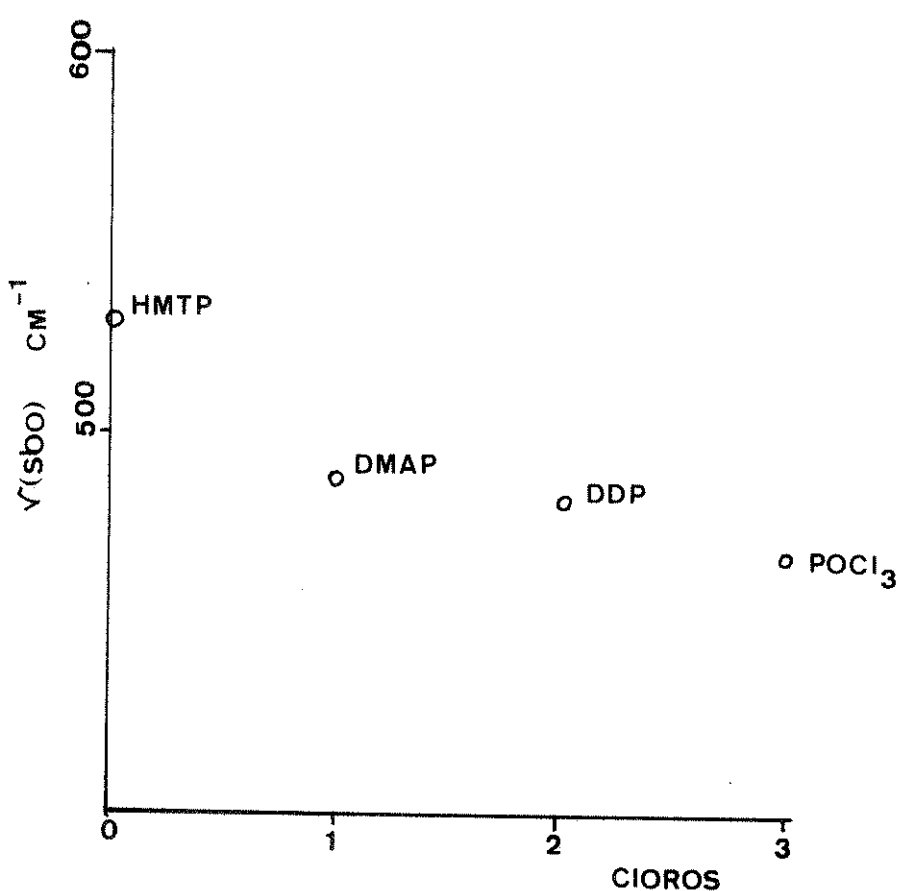
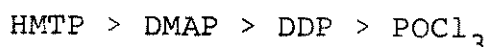


FIGURA 5.8.

Correlação entre frequências observadas de estiramento SbO e o número de átomos de Cloro para os complexos  $\text{SbCl}_5 \cdot \text{OP}(\text{N}(\text{CH}_3)_2)_n \text{Cl}_{3-n}$

coplamentos vibracionais.

Apesar de não ser conhecido o "donor number" para os ligantes DMAP e DDP, na série  $\text{OP}(\text{N}(\text{CH}_3)_2)_n\text{Cl}_{3-n}$  eles podem ser classificados como segue:



Lembrando que o "donor number" mede a disponibilidade do par de elétrons livres do doador na interação com o receptor, bem como interações mais fracas como, dipolo-dipolo, íon-dipolo e efeitos estéricos, pode ser observado na figura 5.9 que, aumentando a densidade de carga negativa sobre o átomo de oxigênio, aumenta a donicidade. Em outras palavras, a transferência da densidade eletrônica é mais efetiva com o aumento da donicidade, levando em conta que os outros fatores mencionados contribuem em menor extensão.

Tendo em vista estas colocações podemos sugerir, com boa aproximação, que as constantes de força podem, então, ser correlacionadas com o parâmetro de Gutmann, como vemos na figura 5.10.

Todavia, podemos observar que para os complexos  $\text{SbCl}_5\cdot\text{DMSO}$  e  $\text{SbCl}_5\cdot\text{SeOCl}_2$  temos um desvio razoável da curva. Estes ligantes têm em comum a presença do par isolado no átomo ligado ao oxigênio, o que não ocorre nos demais casos. Sendo assim, o par de elétrons pode interagir na solução de maneira significativa, resultando numa menor disponibilidade do par de elétrons isolado do oxigênio e, consequentemente, um menor valor de  $D_{\text{N.SbCl}_5}$  ("donor number").

No caso do complexo  $\text{SbCl}_5\cdot\text{SeOCl}_2$ , o sólido pertence ao grupo espacial  $P2_1/c$ , com oito moléculas por cela unitária (35). As distâncias inter e intra-moleculares do Se aos átomos de cloro (3,01 e 3,75 Å) poderiam sugerir uma interação através do par i-

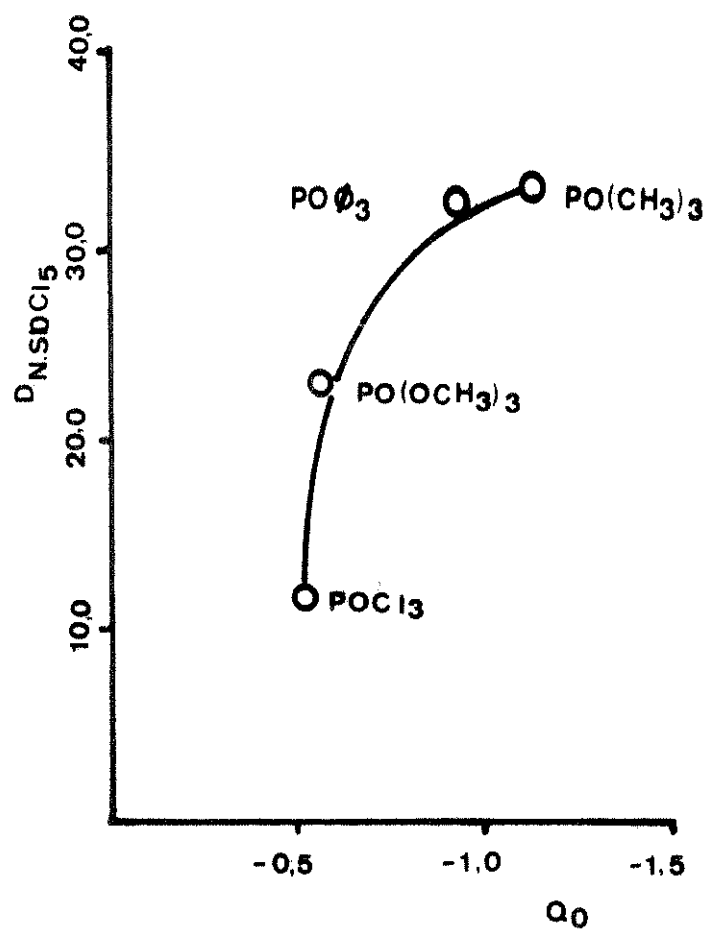


FIGURA 5.9.

Variação da Donicidade versus a carga ( $Q_O$ )  
sobre o átomo de Oxigênio

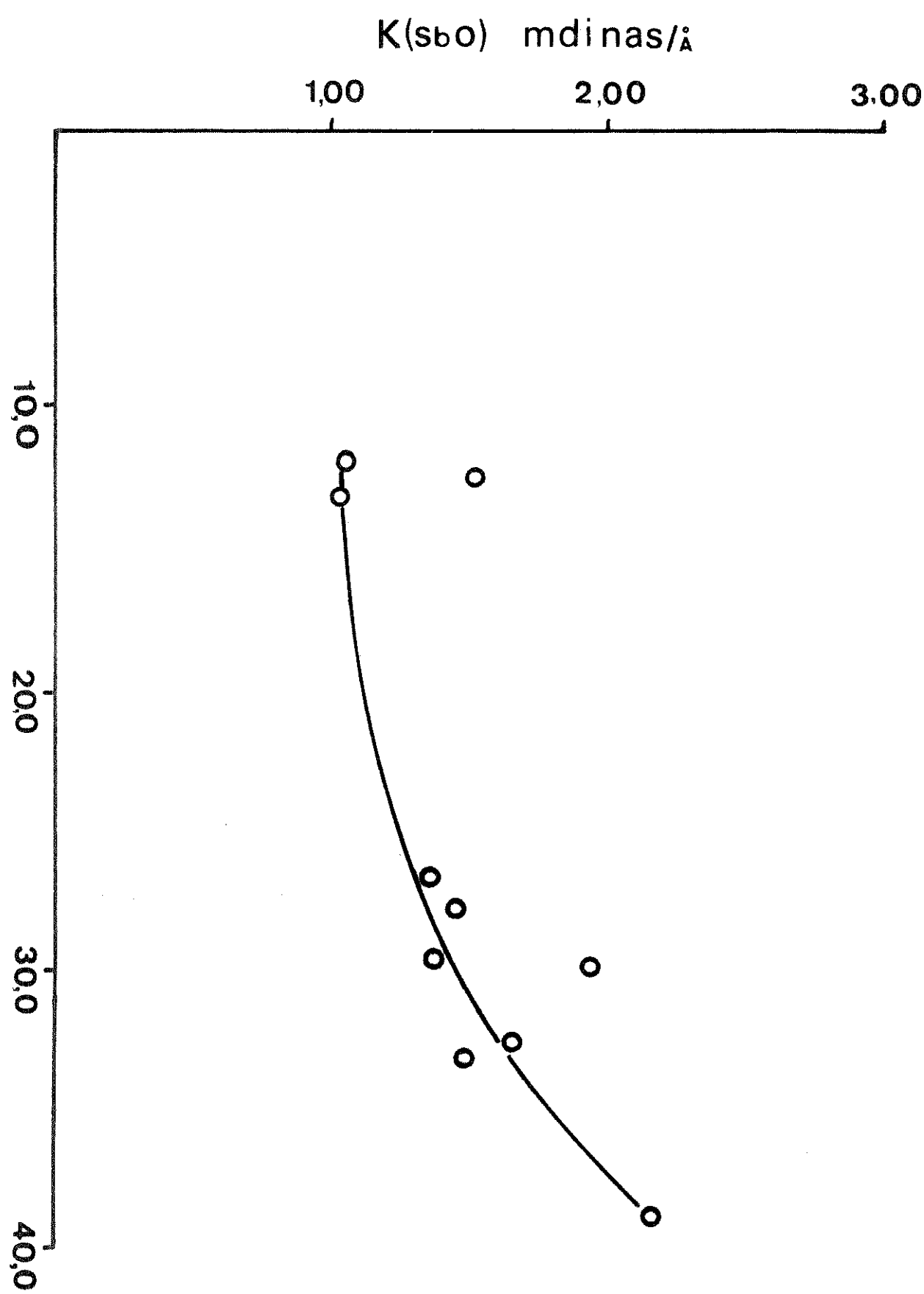


FIGURA 5.10.

Correlação entre  $K(SbO)$  e Donicidade ( $D_{N.SbCl_5}$ )

solado, desde que a soma dos raios de Wander Waals Se...Cl é de 3,40 Å. Esta interação poderia ocorrer principalmente com o cloro axial da molécula vizinha, ou com o cloro equatorial da própria molécula. Contudo, levando-se em conta o caráter direcional do par isolado consegue-se que, se esta interação existir, ela certamente será muito pequena (35). A evidência de que a coordenação no  $SbCl_5 \cdot SeOCl_2$  é mais forte do que a esperada pela escala de Guttmann, é a comparação entre sua distância Sb-O (2,08 Å) e a do complexo  $SbCl_5 \cdot POCl_3$  (2,17 Å) (1). Este valor está mais próximo do valor observado para o complexo  $SbCl_5 \cdot DMF$ , onde a distância SbO é 2,05 Å (28).

Para o caso do  $SbCl_5 \cdot DMSO$  já foram observadas irregularidades, quando da tentativa de correlacionar o seu poder doador com parâmetros provenientes de estudos de espectroscopia Mössbauer (57).

Nas figuras 5.11, 5.12 e 5.13 são apresentadas as variações das constantes de força  $K(MX)_{ax}$ ,  $K(MX)_{eq}$  e  $I(ML, MX)$ , com o "donor number" ( $D_{N.SbCl_5}$ ).

Os resultados mostram que o efeito de coordenação aumenta a densidade eletrônica no metal, causando uma diminuição da constante de força de estiramento antimônio-cloro, na série do  $POCl_3$  ao HMTP. Uma análise mais acurada revela que  $K(MX)_{ax}$  decresce mais rapidamente que  $K(MX)_{eq}$ . Este decréscimo mais pronunciado pode ser explicado através da influência trans, onde teríamos uma maior polarização da ligação  $SbCl$  trans ao ligante, com o aumento da donicidade do mesmo. Uma interação do tipo  $\pi$ , envolvendo elétrons  $p\pi$  do oxigênio,  $d\pi$  do metal e  $\pi$  do cloro ( $O_{p\pi}-Sb_{d\pi}-Cl_{ax,p\pi}$ ) nos parece, também, ser razoável. Pela figura 5.14, observamos que a constante de força de interação  $I(MX, ML)_t$  aumenta à medida

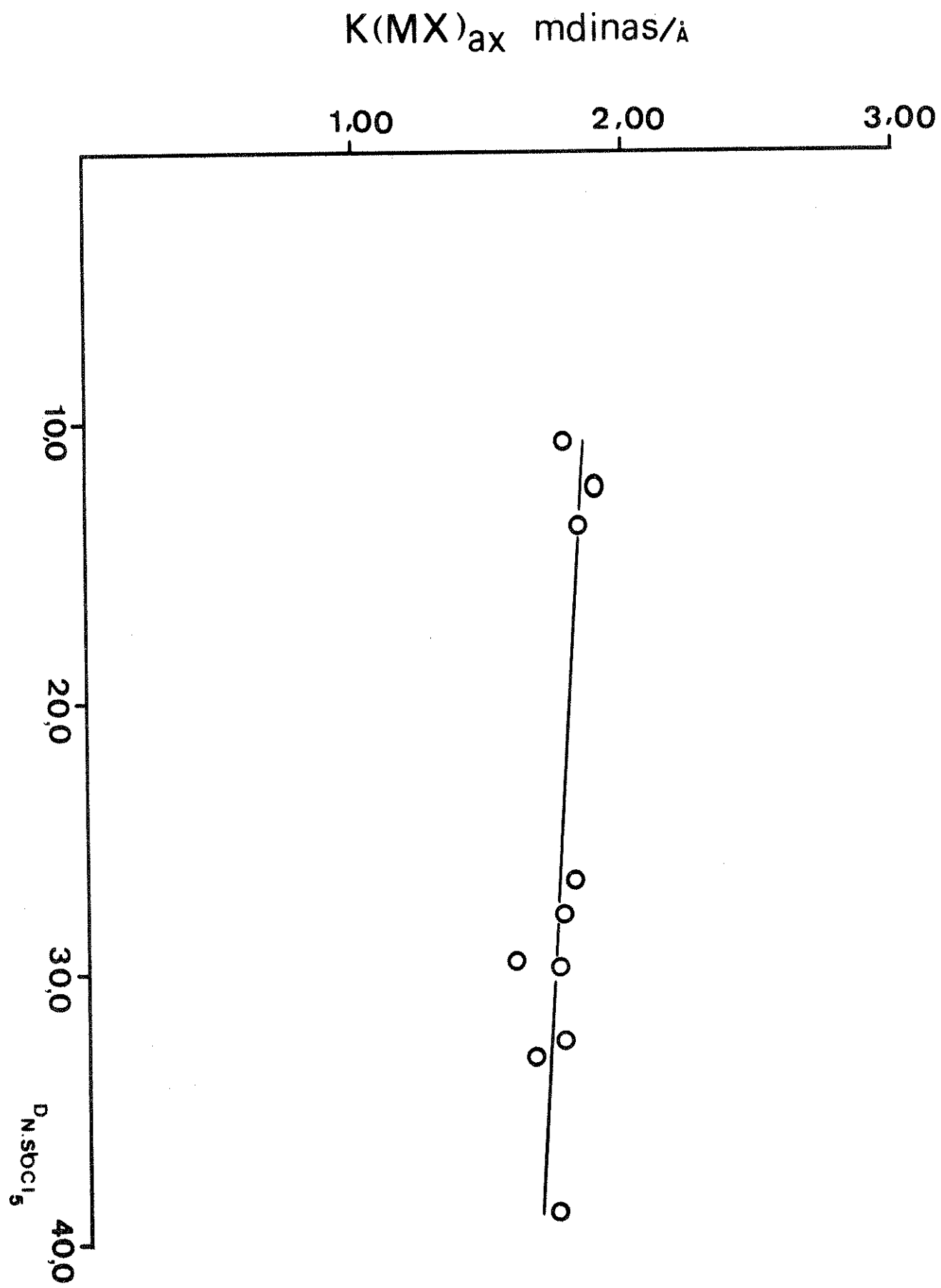


FIGURA 5 11.  
Variação da constante de força  $K(MX)_{ax}$  com  
a Donicidade  $(D_{N.SbCl_5})$

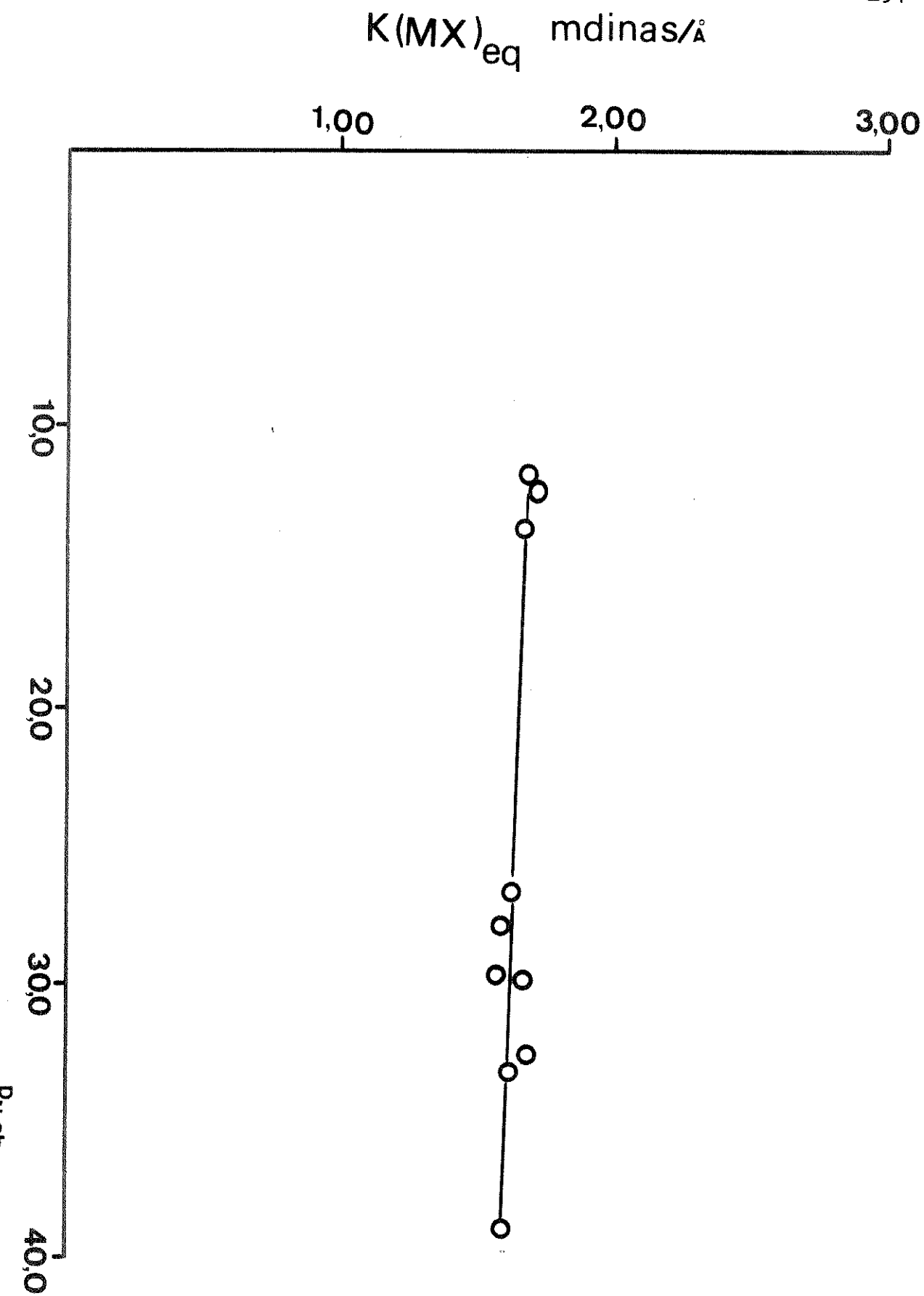


FIGURA 5.12.

Variação da constante de força  $K(MX)_{eq}$  com  
a Donicidade ( $D_{N.SbCl_5}$ )

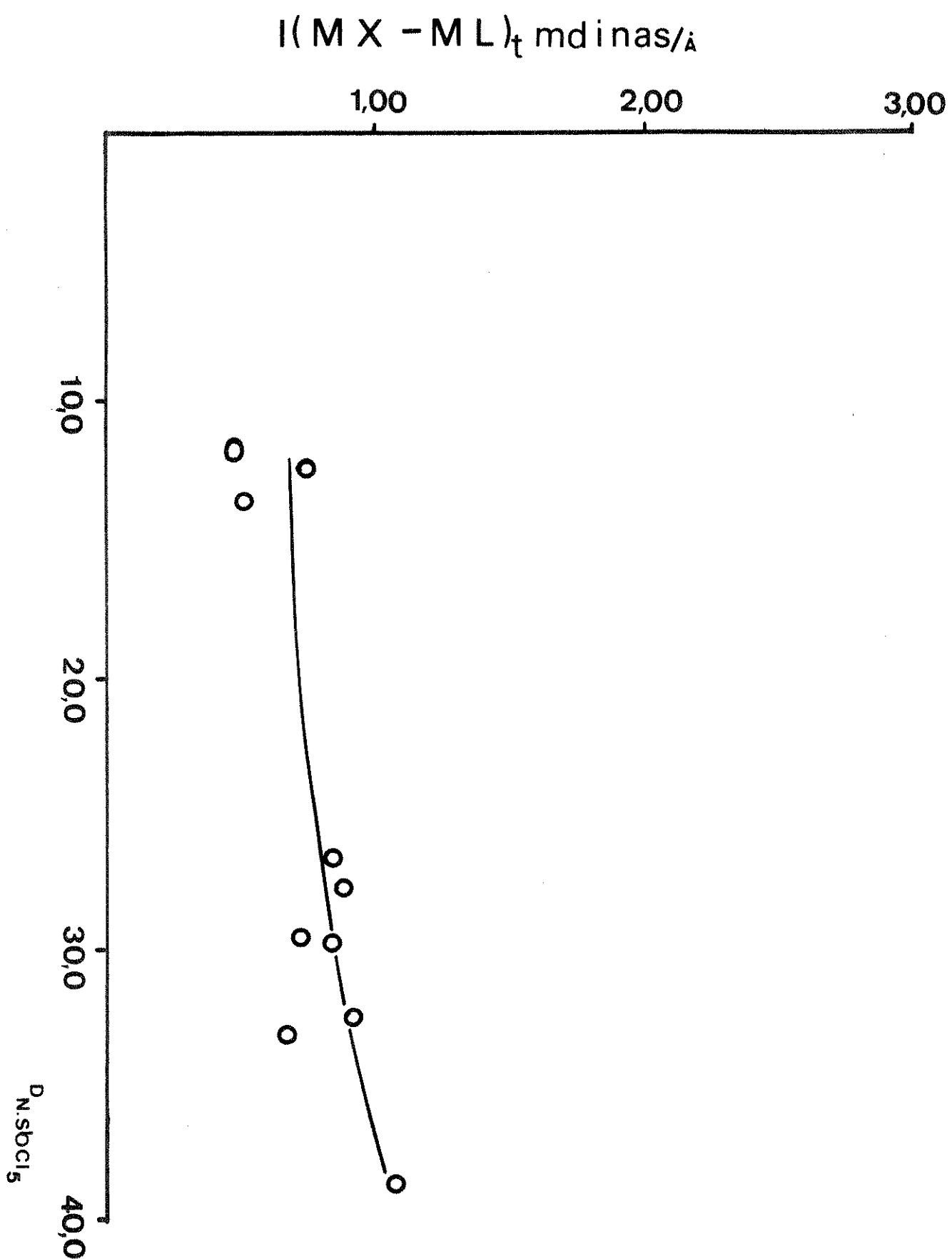


FIGURA 5.13.  
Variação da constante de força  $I(MX-ML)_t$  com  
a Donicidade ( $D_{N.SbCl_5}$ )

que a donicidade aumenta, o que está de acordo com as colocações feitas.

### 5.c.2. Ligantes N-doadores

Com relação às nitrilas, as constantes de força mostradas nas tabelas de 4.22 a 4.27 sugerem que o esquema de ligação metal-ligante apresenta particularidades não observadas nos complexos contendo O-doadores.

Em primeiro lugar, verificamos que as constantes de força  $K(SbL)$  são relativamente menores que as calculadas para os outros ligantes e, principalmente, que apresentam valores muito próximos. Isto nos leva a confirmar que a ligação SbN é mais fraca que a ligação SbO, e que a variação do substituinte R da nitrila não parece alterar em grande extensão a sua habilidade de coordenação. Apesar do poder doador da benzonitrila ser menor que o da acetonitrila e propionitrila (56), observa-se que  $K(SbN)$  não segue a mesma ordem, como foi observado por outros autores (57).

No que diz respeito às constantes de força  $K(MX)$  observamos que a separação entre o equatorial e axial é muito pequena, o que sugere que as ligações SbCl são praticamente iguais. Parece razoável admitir que, para as nitrilas, a influência trans, devido ao efeito da ligação de caráter sigma ( $\sigma$ ), é a mais importante; e que a interação  $\pi$ , nestes casos, é pequena. Se a interação  $\pi$  fosse importante era de se esperar que a freqüência  $\nu(C\equiv N)$  abaixasse após a complexação, devido a delocalização dos elétrons  $\pi$  da ligação C≡N com o metal e o halogênio, o que já vimos que não ocorre.

Nos complexos com nitrilas verificamos que a interação

$I(MX,ML)_c$  é maior que a interação  $I(MX,ML)_t$ , fato que poderia ser explicado admitindo-se um esquema  $(CN_{\pi}^-M_{d\pi}^-Cl_{cis,p\pi})$ . Se analisarmos a magnitude da interação  $(MX,ML)_t$  dos complexos com O-doadores, e  $(MX,ML)_c$  com N-doadores, verificamos que a última é menor, o que é de se esperar levando em consideração que a influência cis geralmente é menor que influência trans.

#### 5.d. Conclusão

Ao término deste trabalho podemos tirar algumas conclusões que nos parecem de valia:

- o método de síntese desenvolvido pode ser aplicado, com sucesso, quando trabalhamos com sistemas onde a umidade tem caráter crítico. Algumas sínteses, por nós realizadas, tomando precauções normais a esse tipo de sistema, mostraram um espectro vibracional com diferenças marcantes dos aqui analisados;
- a necessidade de se desenvolver técnicas especiais de espectros copia infra-vermelho para compostos com estas características, já que a tentativa exaustiva de obtenção dos espectros, usando técnicas convencionais, se mostrou infrutífera;
- a classificação do poder doador dos ligantes através dos deslocamentos de freqüência (sítio de coordenação) pode levar a ambiguidade, como observado para a série  $SbCl_5 \cdot OP(N(CH_3)_2)_n Cl_{3-n}$ ;
- apesar das limitações impostas pelo uso de um modelo aproximado onde, muitas vezes, não são considerados todos os acoplamentos vibracionais, a análise de coordenadas normais nos permite tirar razoáveis informações sobre a natureza das ligações químicas do receptor;
- salvo as exceções discutidas, realmente existe uma correlação entre  $K(SbO)$  e a escala de donicidade de Gutmann, correlação essa que deve ter seu estudo estendido para toda a escala. Esta correlação para as nitrilas parece estar menos evidenciada devido à pequena variação de seu poder doador.

5.e. Bibliografia

1. I. Lindqvist e C. I. Branden, *Acta Cryst.*, 12, 642 (1959); C. I. Branden e I. Lindqvist, *Acta Chem. Scand.*, 17, 353 (1963).
2. J. C. Sheldon e S. Y. Tyree, *J. Am. Chem. Soc.*, 80, 4775 (1958).
3. N. M. Karayannis, C. M. Mikulski, L. L. Pytlewski e M. M. Labes, *Inorg. Chem.*, 9, 582 (1970).
4. B. E. Bridgland e W. R. Mc Gregor, *J. Inorg. Nucl. Chem.*, 32, 1729 (1970).
5. D. M. L. Goodgame e F. A. Cotton, *J. Chem. Soc.*, 2298 (1961).
6. M. J. Frazer, W. Gerrard e R. Twaits, *J. Inorg. Nucl. Chem.*, 25, 637 (1963).
7. S. H. Hunter, R. S. Nyholm e G. A. Rodley, *Inorg. Chim. Acta*, 3, 631 (1969).
8. F. Mani, *Inorg. Nucl. Chem. Lett.*, 7, 447 (1971).
9. D. Brown, J. F. Easey e J. G. H. du Preez, *J. Chem. Soc. (A)*, 258 (1966).
10. D. Brown, J. Hill e C. E. F. Rickard, *J. Less-Common Met.*, 20, 57 (1970).
11. D. Brown, J. Hill e C. E. F. Rickard, *J. Chem. Soc. (A)*, 476 (1970).
12. D. Brown, J. Hill e C. E. F. Rickard, *J. Chem. Soc. (A)*, 497 (1970).
13. J. Goffart e G. Duyckaerts, *Anal. Chim. Acta*, 46, 91 (1969).
14. L. R. Melby, N. J. Rose, E. Abramson e J. C. Caris, *J. Am. Chem. Soc.*, 86, 5117 (1964).
15. F. A. Cotton, R. D. Barnes e E. Bannister, *J. Chem. Soc.*, 2199 (1960).
16. J. Goubeau e A. Lentz, *Spectrochim. Acta*, 27A, 1703 (1971).
17. Y. Gushikem, O. L. Alves, Y. Hase e Y. Kawano, *J. Coord. Chem.*, 6, 179 (1977).
18. P. Gans, "Vibrating Molecules - An introduction to the interpretation of infrared and Raman Spectra", Chapman & Hall, London, 191 (1971).
19. T. N. Naumova, T. S. Vvendenskaya e B. D. Stepin, *Russ. Chem. Rev.*, 41, 485 (1972).

20. I. Lindqvist, "Inorganic Adduct Molecules of Oxo-Compounds", Springer-Verlag, Berlin (1963).
21. L. O. Brockway e J. Y. Beach, J. Am. Chem. Soc., 60, 1836 (1938).
22. H. Rojhantab, J. W. Nibler e C. J. Wilkins, Spectrochim. Acta, 32A, 519 (1976).
23. P. O. Kinnel, I. Lindqvist e M. Zackrisson, Acta Chem. Scand., 13, 190 (1959).
24. M. Zackrisson e I. Lindqvist, J. Inorg. Nucl. Chem., 17, 69 (1961).
25. M. Zackrisson, Acta Chem. Scand., 15, 1784 (1961).
26. A. J. Carty, Canad. J. Chem., 44, 1881 (1966).
27. G. Kaufmann e M. J. F. Leroy, Bull. Soc. Chim. France, 402 (1967).
28. L. Brun e C. I. Bränden, Acta Cryst., 20, 749 (1966).
29. V. Guttmann, Coord. Chem. Rev., 15, 207 (1975).
30. H. Kietaibl, H. Vollenkle e A. Wittmann, Monatsh. Chem., 103, 1360 (1972).
31. C. G. Lagrange, M. T. Forel, Bull. Soc. Chim. France, 1329 (1971).
32. C. N. Rao, G. C. Chaturvedi, R. K. Gosavi, J. Mol. Spectrosc., 28, 526 (1968).
33. K. Nakamoto, "Infra-Red Spectra of Inorganic and Coordination Compounds", Wiley, New York (1963).
34. K. Ramaswamy e S. Jayaraman, J. Mol. Struct., 7, 470 (1971).
35. Y. Hermodsson, Acta Chem. Scand., 21, 1313 (1967).
36. M. W. Lister e L. E. Sutton, Trans Faraday. Soc., 35, 495 (1939).
37. D. M. Byler e D. F. Shriver, Inorg. Chem., 13, 2697 (1974).
38. M. Masson, Z. Payne, M. J. L. Leroy, Spectrochim. Acta, 33A, 37 (1977).
39. B. Swanson e D. F. Shriver, Inorg. Chem., 9, 1406 (1970).
40. R. J. Kern, J. Inorg. Nucl. Chem., 25, 5 (1963).
41. G. W. A. Fowles, K. F. Gadd, D. A. Rice, J. B. Tomkins e R. A. Walton, J. Mol. Struct., 6, 412 (1970).
42. G. W. A. Fowles e K. F. Gadd, J. Chem. Soc. (A), 2232 (1970).
43. K. Kawai e I. Kanesaka, Spectrochim. Acta, 25A, 263 (1969).

44. G. A. Ozin e R. A. Walton, J. Chem. Soc. (A), 2236 (1970).
45. Y. Hase, C. Airoldi, Y. Gushiken e Y. Kawano, Spect. Lett., 9, 177 (1976).
46. R. A. Walton, Quart. Rev., 19, 126 (1965).
47. K. F. Purcell e R. S. Drago, J. Am. Chem. Soc., 88, 919 (1966).
48. L. E. Sutton, "Interatomic Distances and Configuration in Molecules and Ions", Special Publication n° 18, The Chemical Society, London, 77s (1965).
49. D. M. Barnhardt, Inorg. Chem., 7, 1135 (1968).
50. M. Webster e H. E. Blayden, J. Chem. Soc. (A), 2443 (1969).
51. H. Binas, Z. anorg. allgem. Chem., 352, 271 (1967).
52. H. J. Coerver e C. Curran, J. Am. Chem. Soc., 80, 3522 (1958).
53. W. Gerrard, M. F. Lappert, H. Pyszora e J. W. Wallis, J. Chem. Soc., 2182 (1960).
54. S. M. Ohlberg, J. Am. Chem. Soc., 81, 811 (1959).
55. E. L. Wagner, J. Am. Chem. Soc., 85, 161 (1963).
56. V. Gutmann, "Coordination Chemistry in Non-Aqueous Solutions", Springer-Verlag, Wien (1968).
57. J. M. Friedt e G. K. Shenoy e M. Burgard, J. Chem. Phys., 59, 4468 (1973).
58. M. Burgard e E. A. C. Lucken, J. Mol. Struct., 14, 397 (1972).

## 6. SUMÁRIO

### 6.a. Sumário

Este trabalho descreve a síntese dos complexos de  $\text{SbCl}_5$  com O- e N-doadores de fórmula geral  $\text{SbCl}_5 \cdot L$  onde  $L = \text{OP}(\text{N}(\text{CH}_3)_2)_3$ ,  $\text{OP}(\text{N}(\text{CH}_3)_2)_2\text{Cl}$ ,  $\text{OP}(\text{N}(\text{CH}_3)_2\text{Cl}_2$ ,  $\text{OPCl}_3$ ,  $\text{OP}(\text{CH}_3)_3$ ,  $\text{OP}(\text{C}_6\text{H}_5)_3$ ,  $\text{OCN}(\text{CH}_3)_2\text{H}$ ,  $\text{OCN}(\text{CH}_3)_2\text{CH}_3$ ,  $\text{OC}(\text{N}(\text{CH}_3)_2)_2$ ,  $\text{OS}(\text{CH}_3)_2$ ,  $\text{O}_2\text{S}(\text{CH}_3)_2$ ,  $\text{OSeCl}_2$ ,  $\text{NOCH}_3$ ,  $\text{NC}(\text{C}_6\text{H}_5)$  e  $\text{NCCHCH}_2$ .

Os espectros vibracionais Raman e infra-vermelho destes complexos foram medidos, respectivamente, na região de freqüência de  $4000-50 \text{ cm}^{-1}$  e de  $4000-160 \text{ cm}^{-1}$ . As atribuições tentativa foram feitas considerando uma simetria  $C_{4v}$  para o  $\text{SbCl}_5\text{O}$  e  $\text{SbCl}_5\text{N}$  e, pela comparação das freqüências do ligante, antes e após a complexação.

Uma análise de coordenadas normais foi feita para o "esqueleto"  $\text{SbCl}_5\text{L}$  ( $L=\text{O}$  e  $\text{N}$ ) assumindo um modelo aproximado ( $C_{4v}$ ). Para reproduzir as freqüências observadas, as constantes de força foram ajustadas pelo método dos mínimos quadrados.

A influência do poder doador dos ligantes foi discutida em termos dos deslocamentos de freqüência do ligante e do "esqueleto". As constantes de força calculadas  $K(\text{ML})$ ,  $K(\text{MX})_{\text{ax}}$ ,  $K(\text{MX})_{\text{eq}}$  e  $I(\text{MX}, \text{ML})$ , foram correlacionadas com o "donor number" de Gutmann; as diferenças entre os sistemas  $\text{C}\equiv\text{N} \rightarrow \text{Sb}$  e  $\text{X}-\text{O} \rightarrow \text{Sb}$  ( $\text{X} = \text{P}, \text{C}, \text{S}$  e  $\text{Se}$ ), também foram analisadas.

### 6.b. Summary

This work describes the synthesis of the  $\text{SbCl}_5$  complexes with Oxo- and N- donors of general formula  $\text{SbCl}_5 \cdot \text{L}$  where L=  $\text{OP}(\text{N}(\text{CH}_3)_2)_3$ ,  $\text{OP}(\text{N}(\text{CH}_3)_2)_2\text{Cl}$ ,  $\text{OP}(\text{N}(\text{CH}_3)_2\text{Cl})_2$ ,  $\text{OPCl}_3$ ,  $\text{OP}(\text{CH}_3)_3$ ,  $\text{OP}(\text{C}_6\text{H}_5)_3$ ,  $\text{OCN}(\text{CH}_3)_2\text{H}$ ,  $\text{OCN}(\text{CH}_3)_2\text{CH}_3$ ,  $\text{OC}(\text{N}(\text{CH}_3)_2)_2$ ,  $\text{OS}(\text{CH}_3)_2$ ,  $\text{O}_2\text{S}(\text{CH}_3)_2$ ,  $\text{OSeCl}_2$ ,  $\text{NC}(\text{CH}_3)$ ,  $\text{NC}(\text{C}_6\text{H}_5)$  e  $\text{NOCHCH}_2$ .

The vibrational spectra Raman and infrared of these complexes were measured, respectively, in the frequency region from  $4000-50 \text{ cm}^{-1}$  and from  $4000-160 \text{ cm}^{-1}$ . The tentative assignments were made considering a  $\text{C}_{4v}$  symmetry to the  $\text{SbCl}_5\text{O}$  and  $\text{SbCl}_5\text{N}$ , and comparing the ligand frequencies before and after the complexation.

A normal coordinate analysis was carried out for the skeleton  $\text{SbCl}_5\text{L}$  ( $\text{L}= \text{O e N}$ ) assuming an approximate model ( $\text{C}_{4v}$ ). The force constants were adjusted by the least square method to reproduce the observed frequencies.

The influence of donor strength of the ligands was discussed in terms of ligand and skeleton frequency shifts. The calculated force constants  $K(\text{ML})$ ,  $K(\text{MX})_{\text{ax}}$ ,  $K(\text{MX})_{\text{eq}}$  and  $I(\text{MX}, \text{ML})$ , were correlated with Gutmann's donor number; the differences between the systems  $\text{C}\equiv\text{N} \longrightarrow \text{Sb}$  and  $\text{X}-\text{O} \longrightarrow \text{Sb}$  ( $\text{X}= \text{P, C, S e Se}$ ) were also discussed.

## APÊNDICE I

Neste apêndice são apresentados os espectros Raman dos complexos preparados nesta tese, na região de 260 a  $380 \text{ cm}^{-1}$ , onde temos as vibrações de estiramento antimônio-cloro. Nas linhas que seguem temos a lista - dos espectros.

- 
- |           |                                      |
|-----------|--------------------------------------|
| Figura 1  | $\text{SbCl}_5 \cdot \text{POCl}_3$  |
| Figura 2  | $\text{SbCl}_5 \cdot \text{DDP}$     |
| Figura 3  | $\text{SbCl}_5 \cdot \text{DMAP}$    |
| Figura 4  | $\text{SbCl}_5 \cdot \text{HMTP}$    |
| Figura 5  | $\text{SbCl}_5 \cdot \text{TMPO}$    |
| Figura 6  | $\text{SbCl}_5 \cdot \text{TTPO}$    |
| Figura 7  | $\text{SbCl}_5 \cdot \text{DMA}$     |
| Figura 8  | $\text{SbCl}_5 \cdot \text{TMU}$     |
| Figura 9  | $\text{SbCl}_5 \cdot \text{DMF}$     |
| Figura 10 | $\text{SbCl}_5 \cdot \text{DMSO}$    |
| Figura 11 | $\text{SbCl}_5 \cdot \text{DMSO}_2$  |
| Figura 12 | $\text{SbCl}_5 \cdot \text{SeOCl}_2$ |
| Figura 13 | $\text{SbCl}_5 \cdot \text{AN}$      |
| Figura 14 | $\text{SbCl}_5 \cdot \text{BN}$      |
| Figura 15 | $\text{SbCl}_5 \cdot \text{ACN}$     |
-

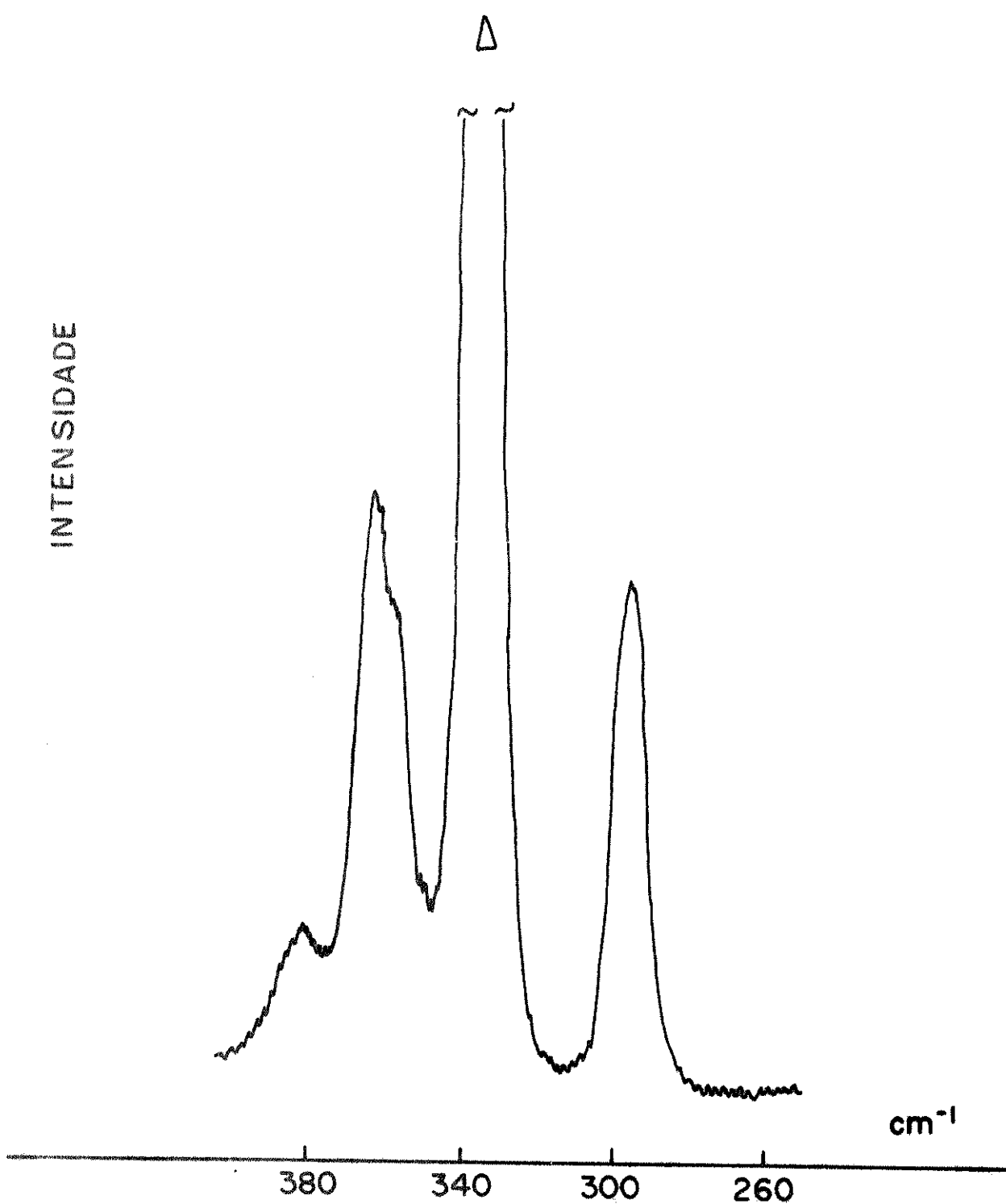


FIGURA 1  
Espectro Raman do complexo  $SbCl_5 \cdot POCl_3$   
Região de M-X

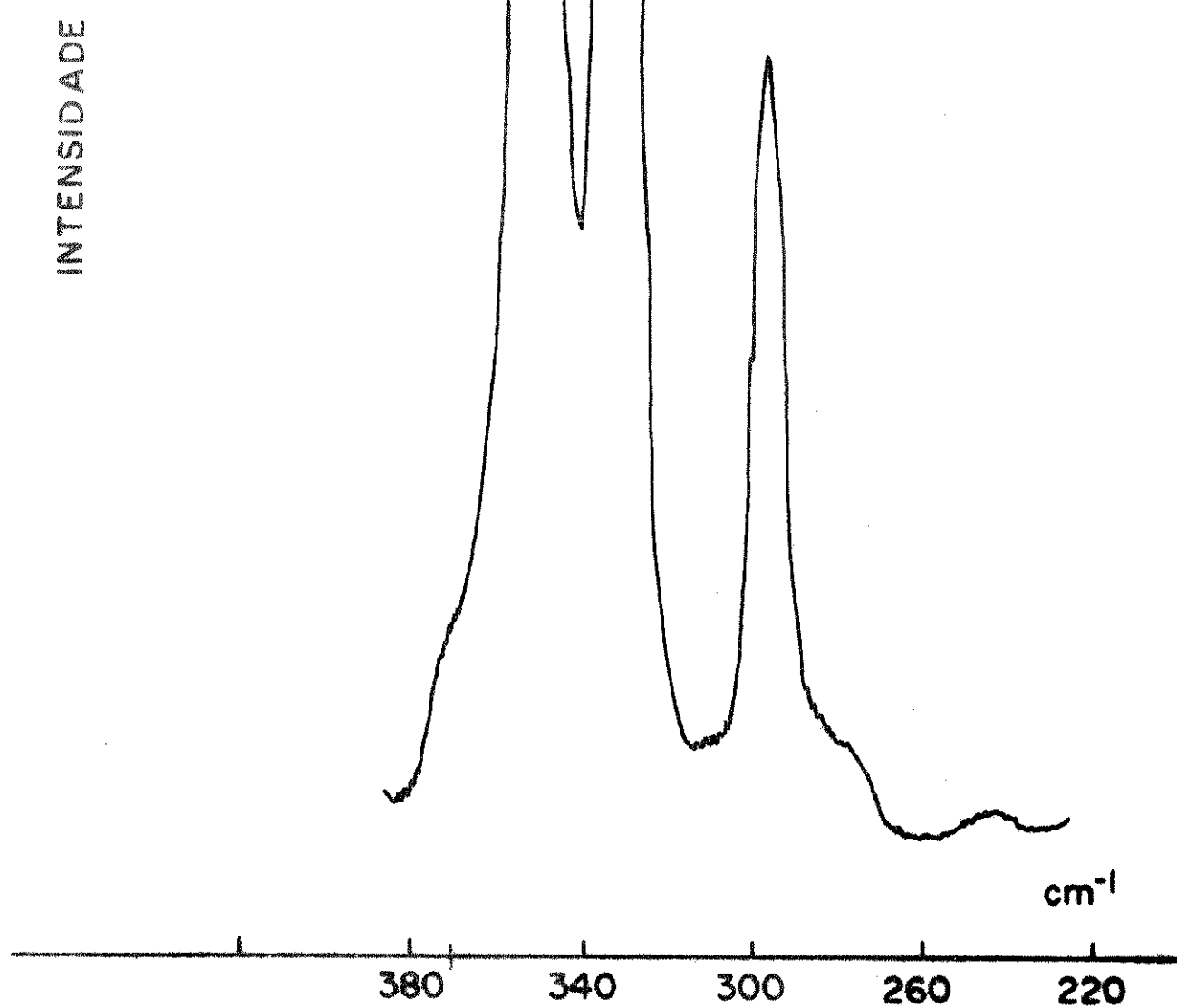


FIGURA 2

Espectro Raman do complexo  $\text{SbCl}_5$ . DDP  
Região de M-X

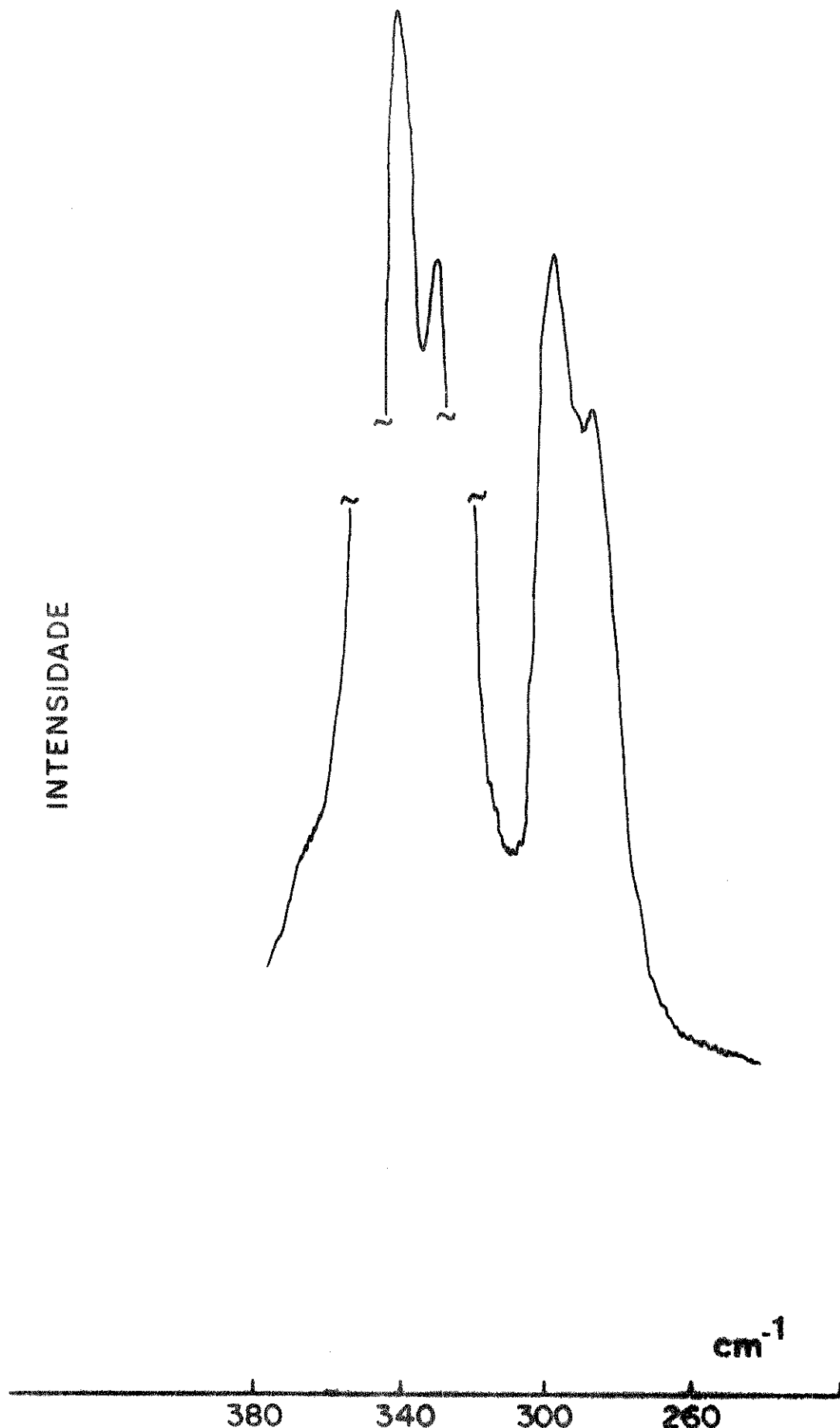


FIGURA 3  
Espectro Raman do complexo  $\text{SbCl}_5 \cdot \text{DMAP}$   
Região de M -X

INTENSIDADE

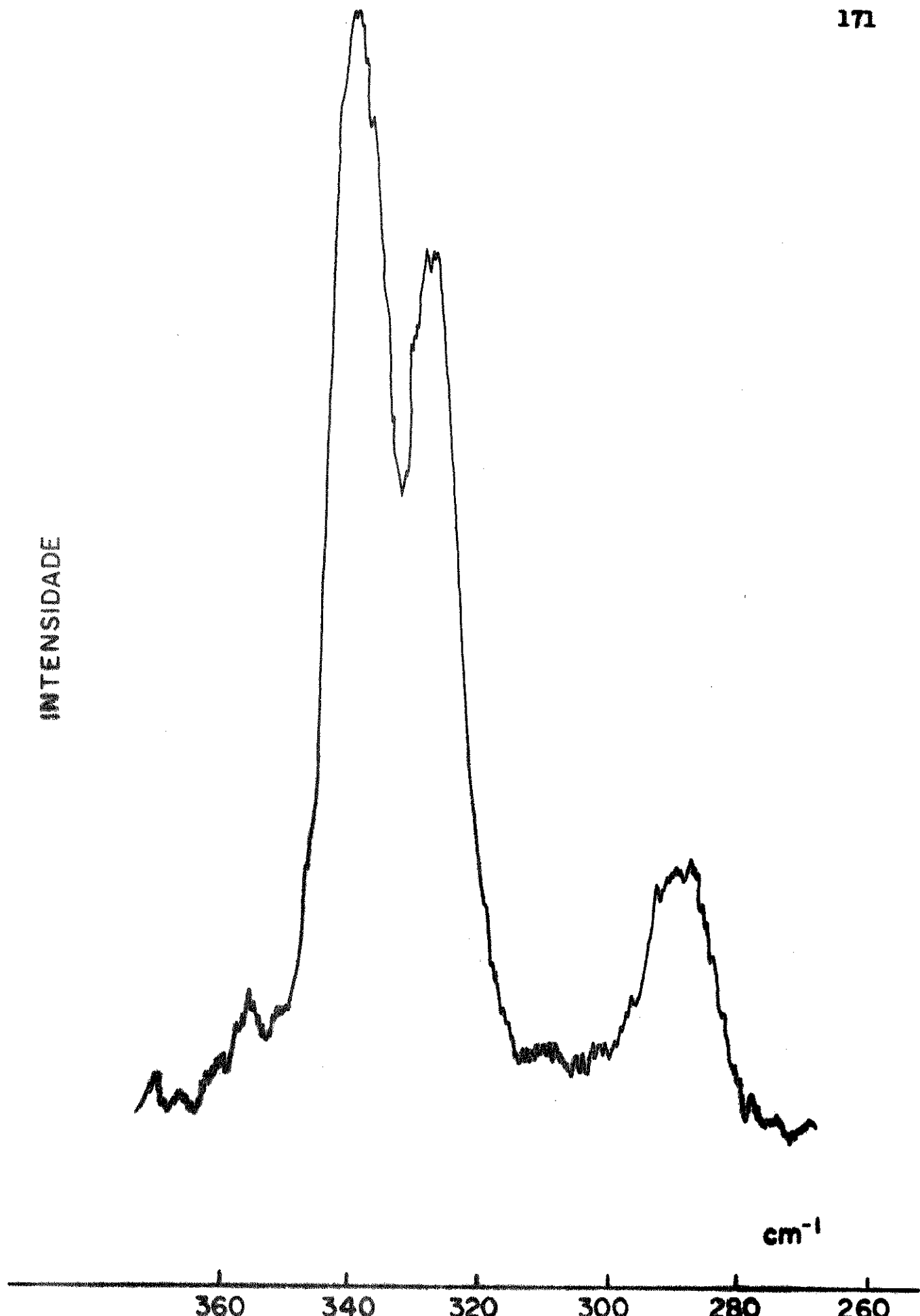


FIGURA 4  
Espectro Raman do complexo  $\text{SbCl}_5 \cdot \text{HMIP}$   
Região de M-X

INTENSIDADE

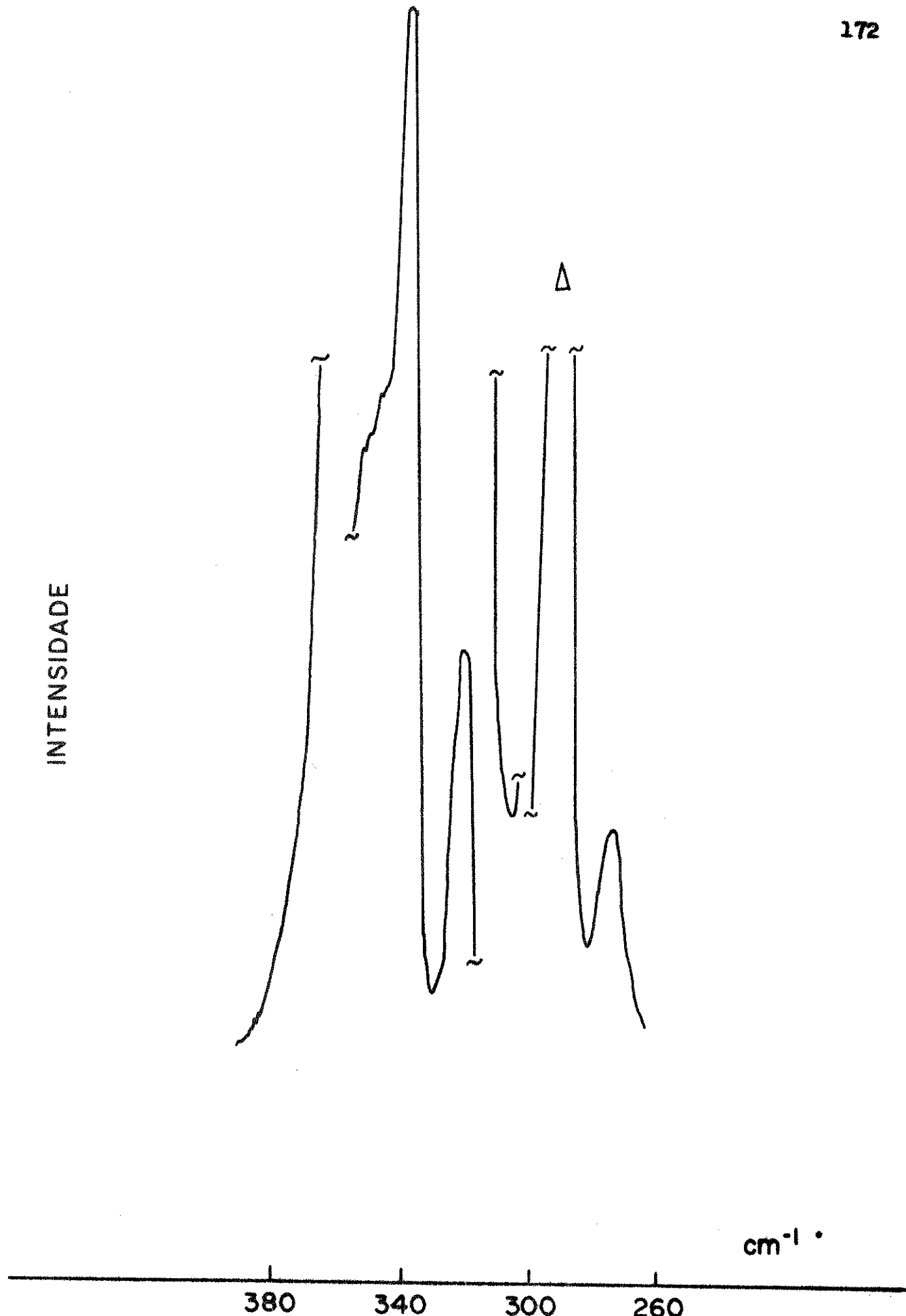


FIGURA 5

Espectro Raman do complexo  $\text{SbCl}_5 \cdot \text{TMPO}$   
Região de M-X

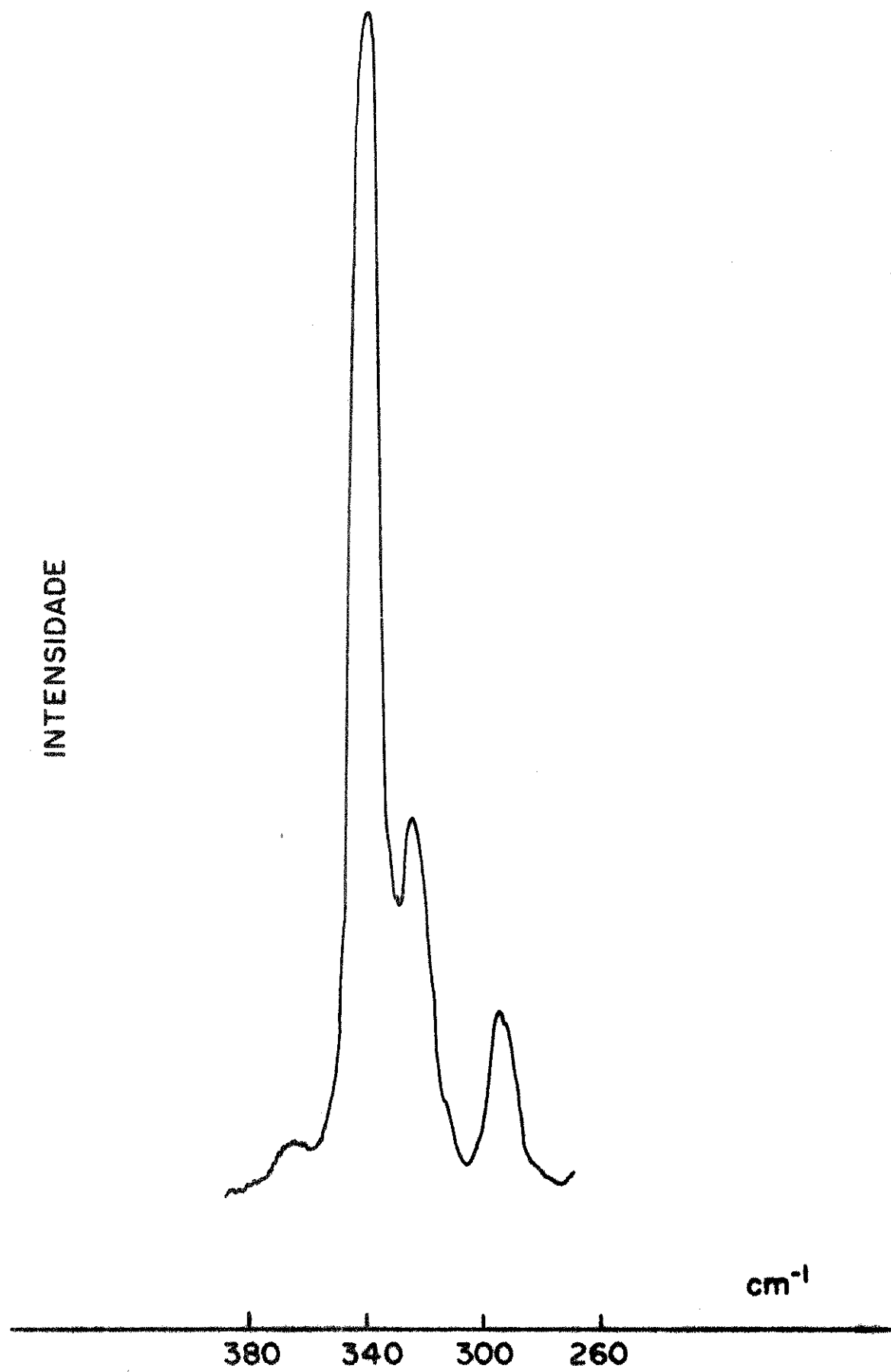


FIGURA 6  
Espectro Raman do complexo  $\text{SbCl}_5$ . TIPO  
Região de M-X

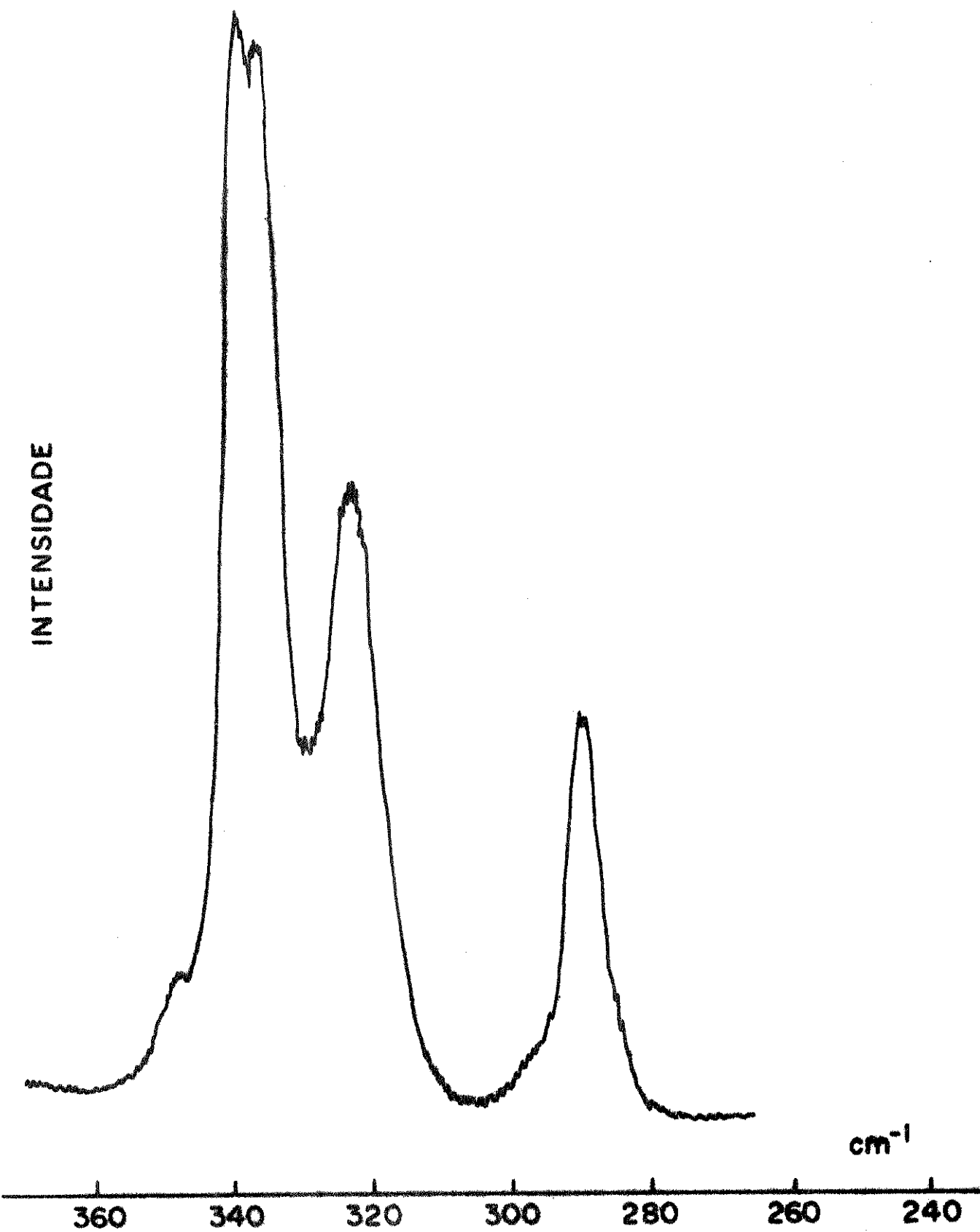


FIGURA 7  
Espectro Raman do complexo  $\text{SbCl}_5 \cdot \text{DMA}$   
Região de M-X

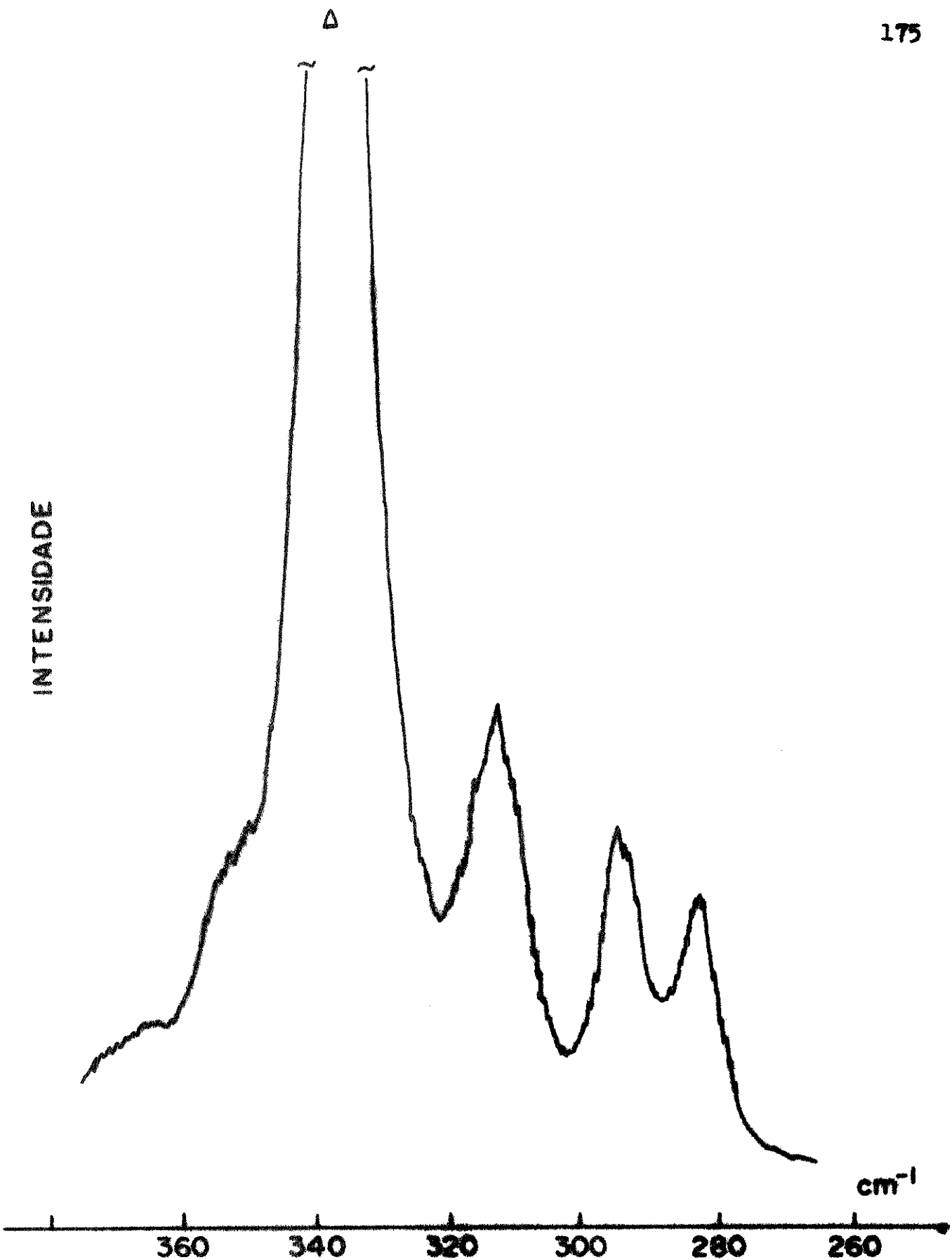


FIGURA 8  
Espectro Raman do complexo  $\text{SbCl}_5 \cdot \text{TMU}$   
Região de M-X

INTENSIDADE

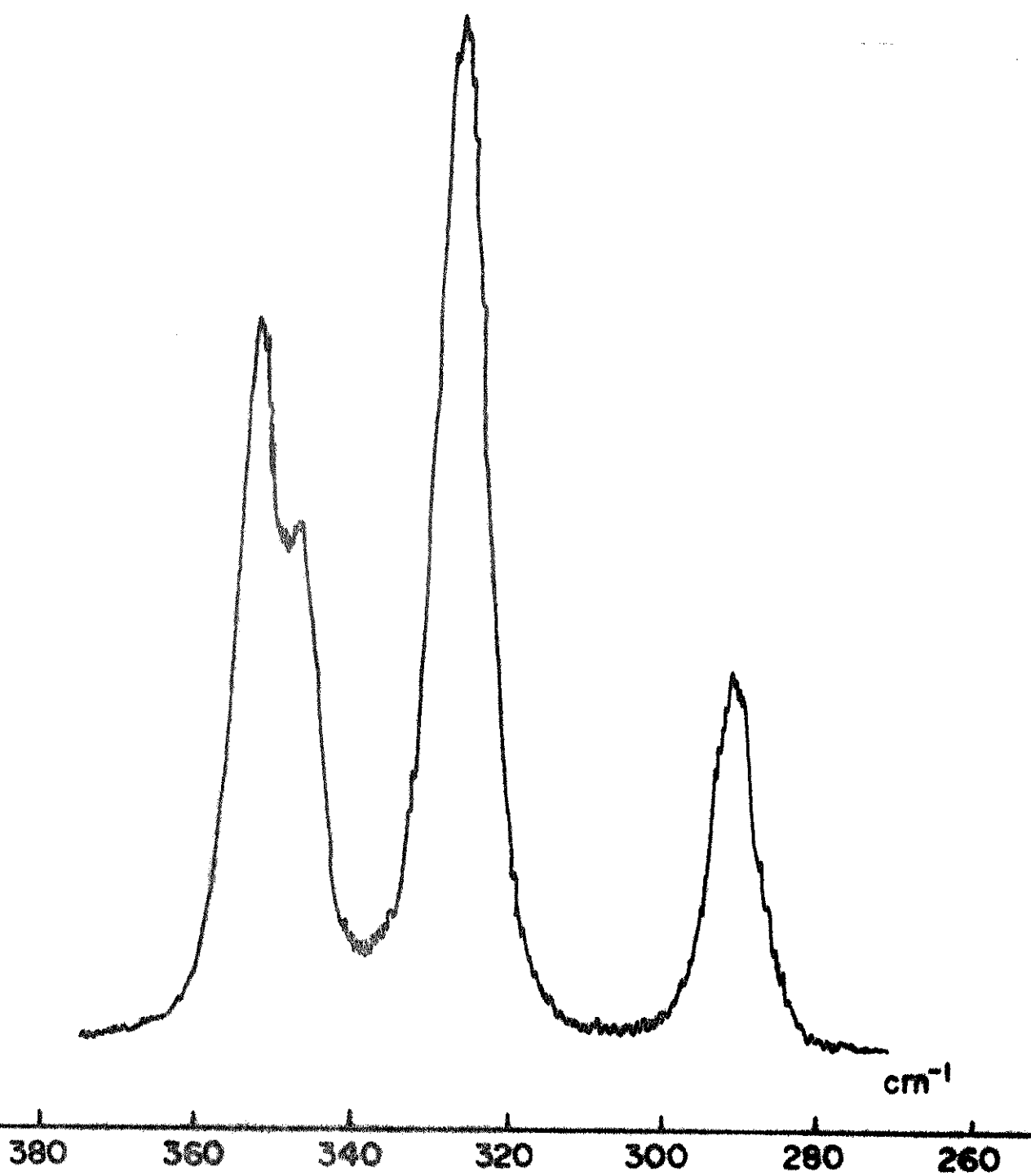


FIGURA 9

Espectro Raman do complexo  $\text{SbCl}_5 \cdot \text{DMF}$   
Região de M-X

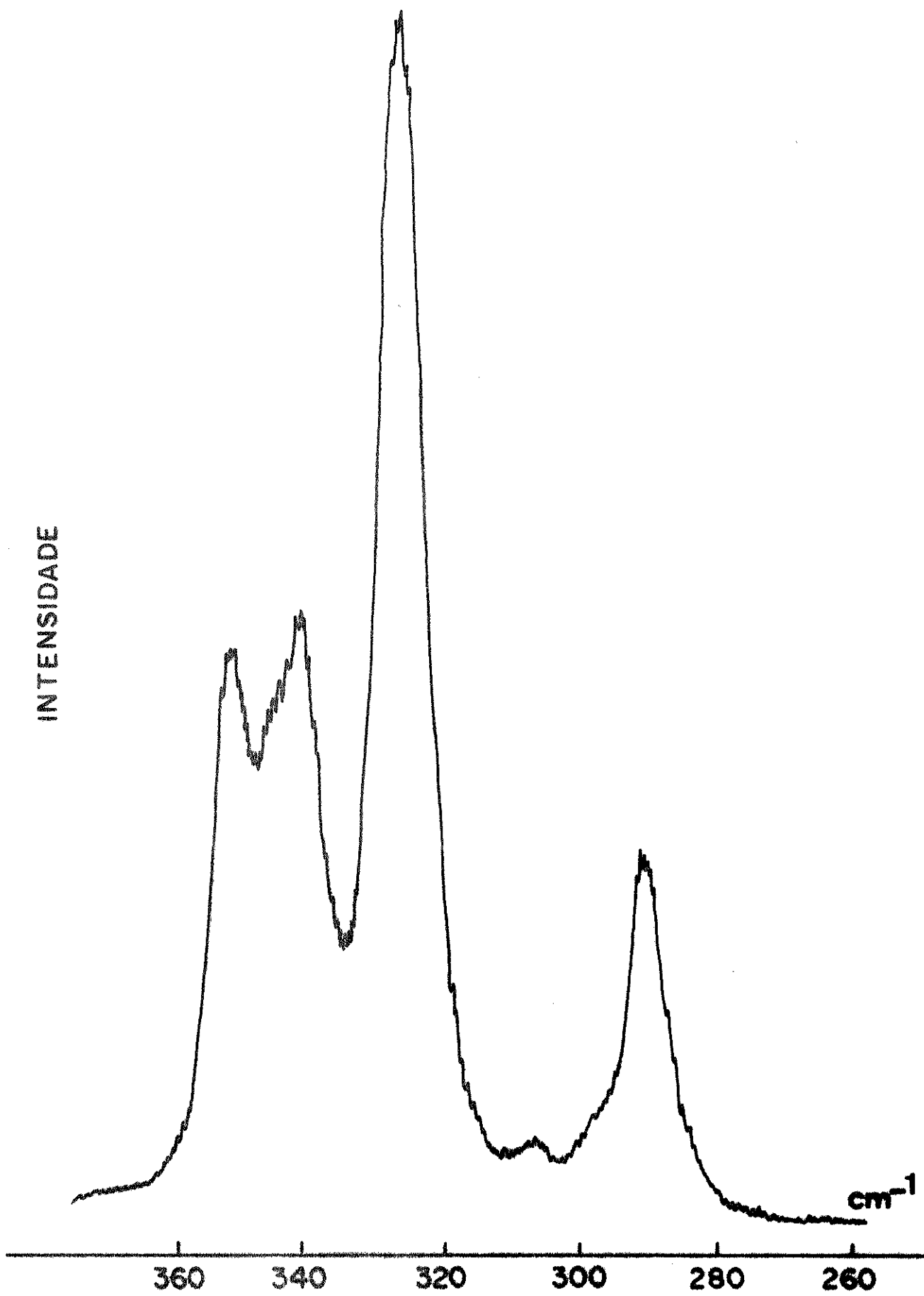


FIGURA 10  
Espectro Raman do complexo  $\text{SbCl}_5 \cdot \text{DMSO}$   
Região de M-X

INTENSIDADE

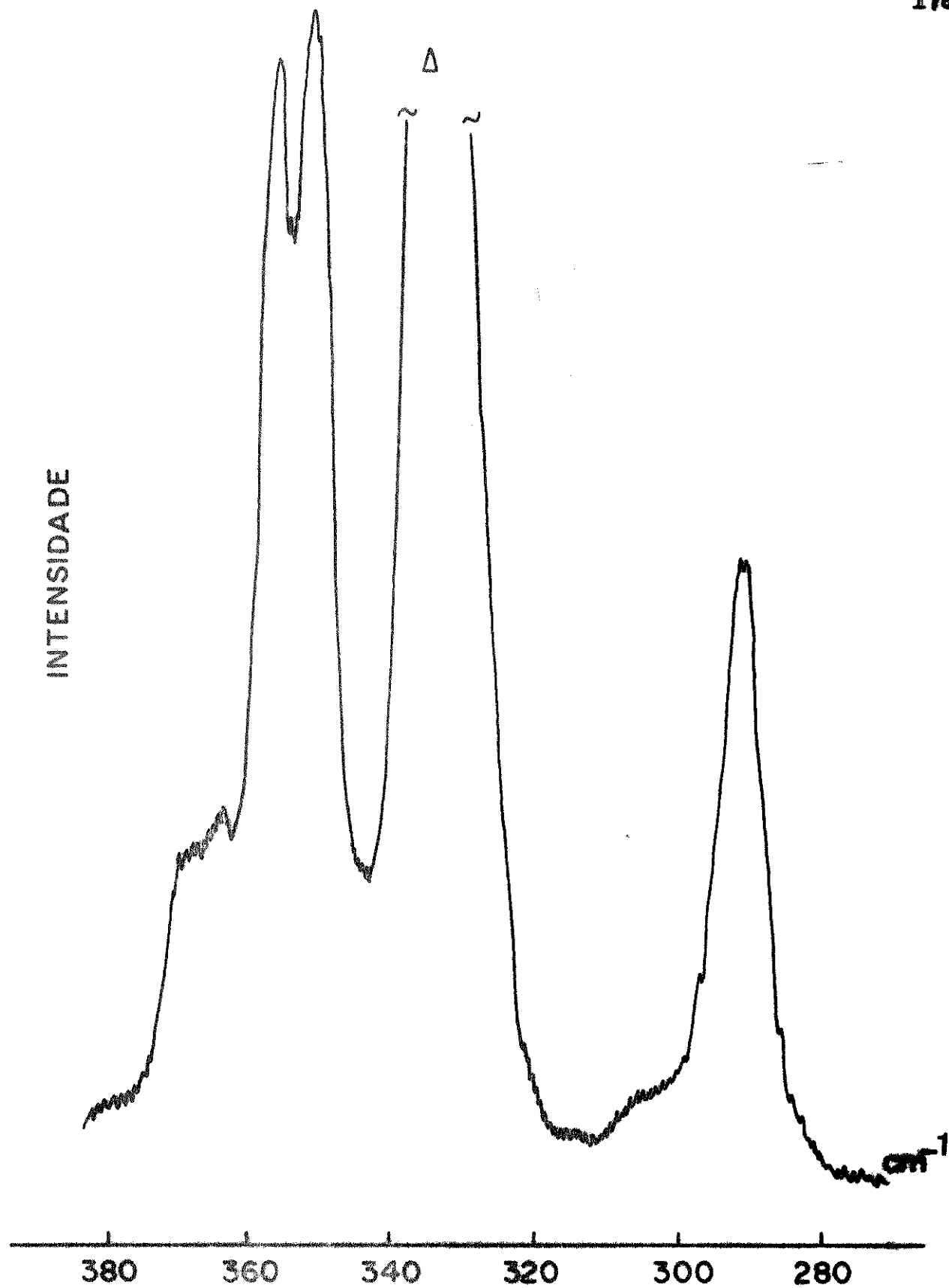


FIGURA 11

Espectro Raman do complexo  $\text{SbCl}_5 \cdot \text{DMSO}_2$   
Região de M-X

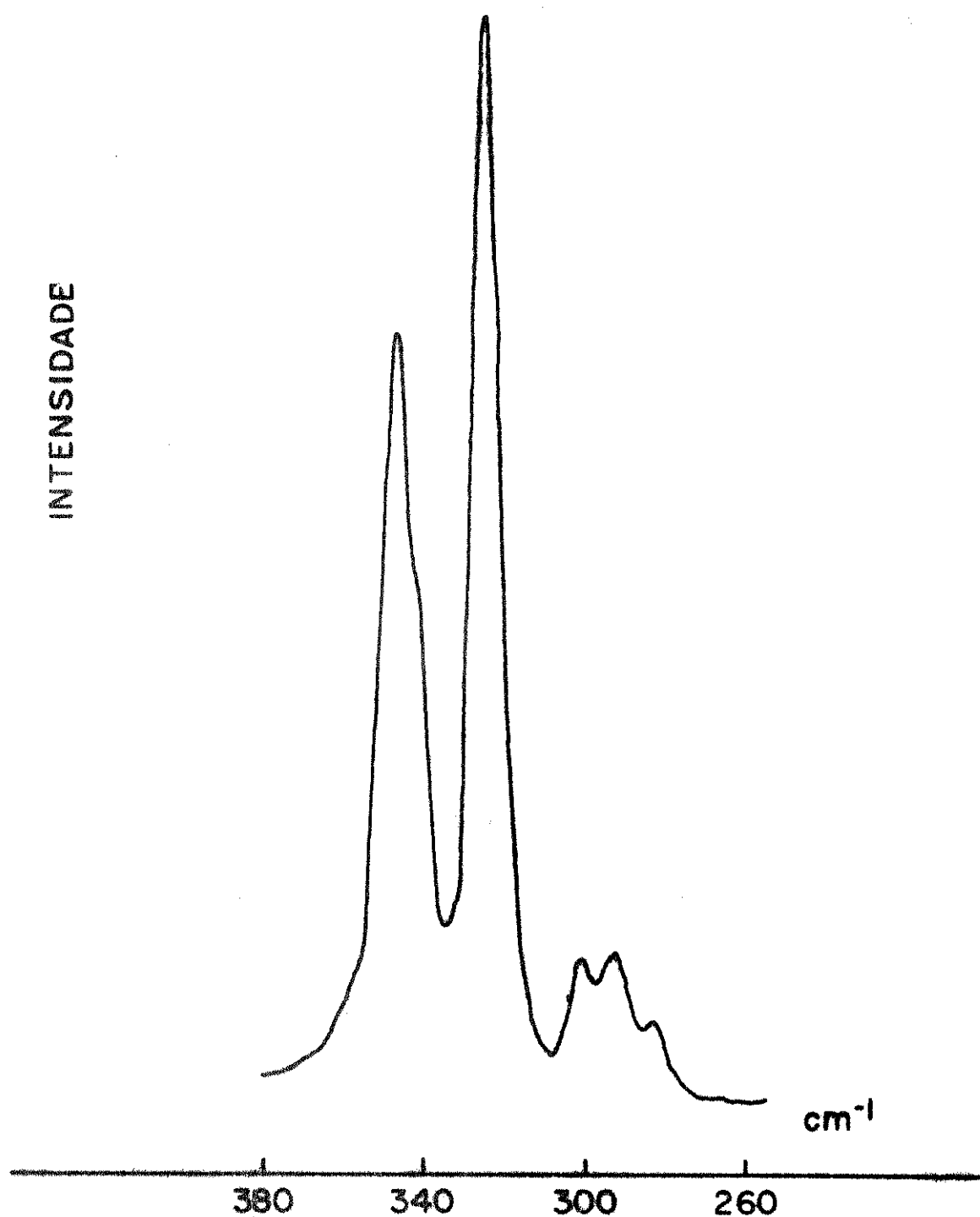


FIGURA 12  
Espectro Raman do complexo  $SbCl_5 \cdot SeOCl_2$   
Região de M-X

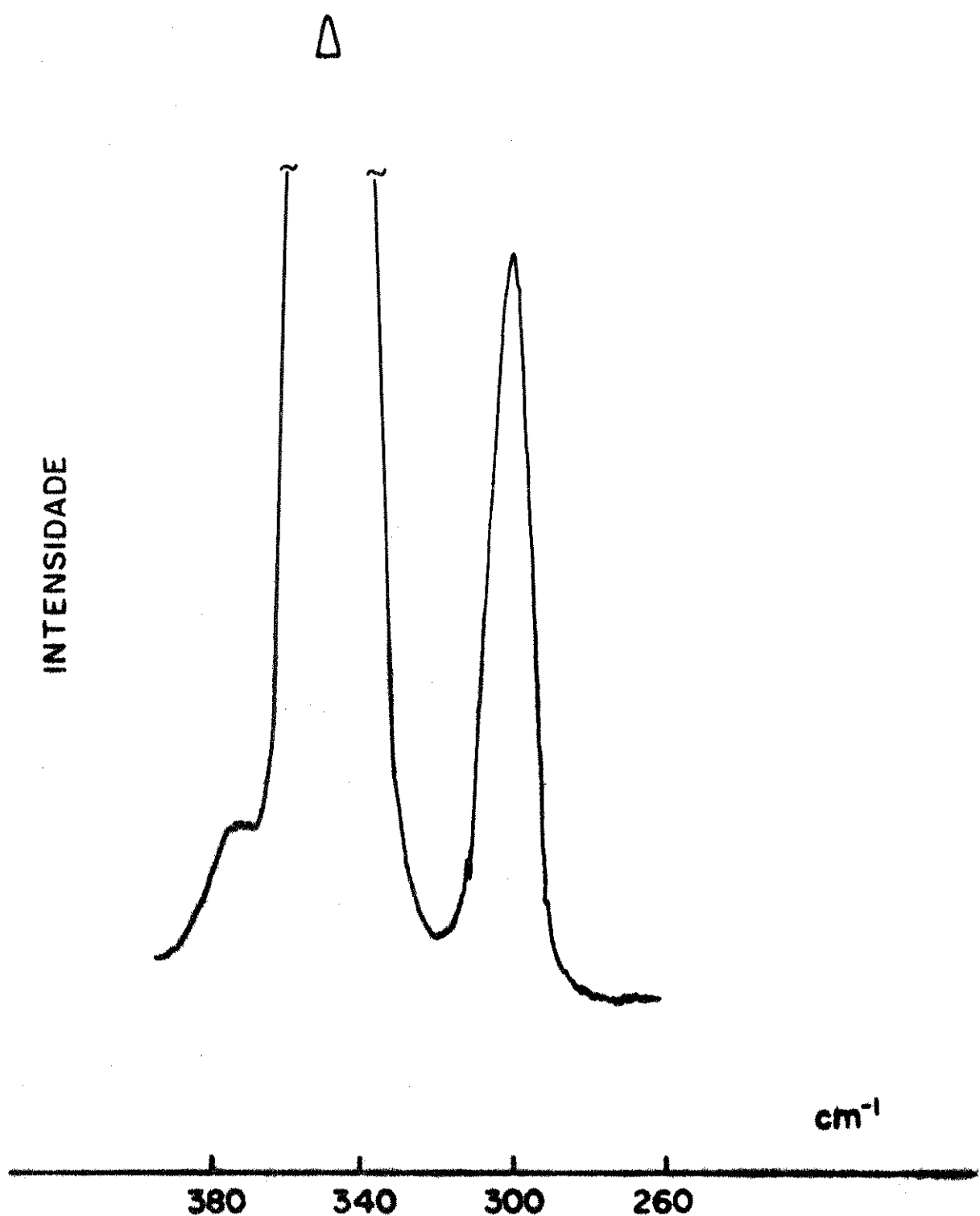


FIGURA 13  
Espectro Raman do complexo  $SbCl_5 \cdot AN$   
Região de M-X

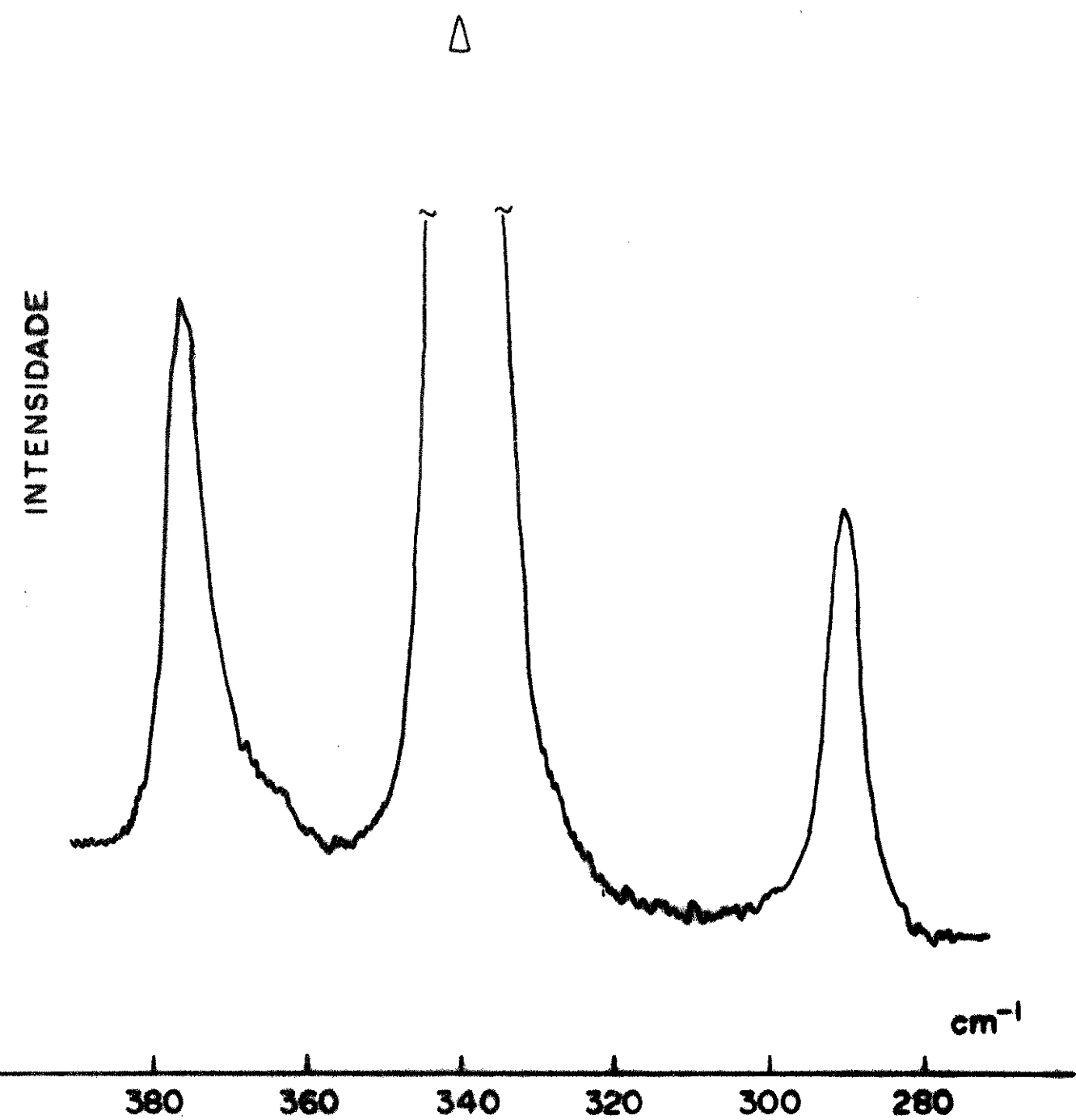


FIGURA 14  
Espectro Raman do complexo  $SbCl_5 \cdot BN$   
Região de M-X

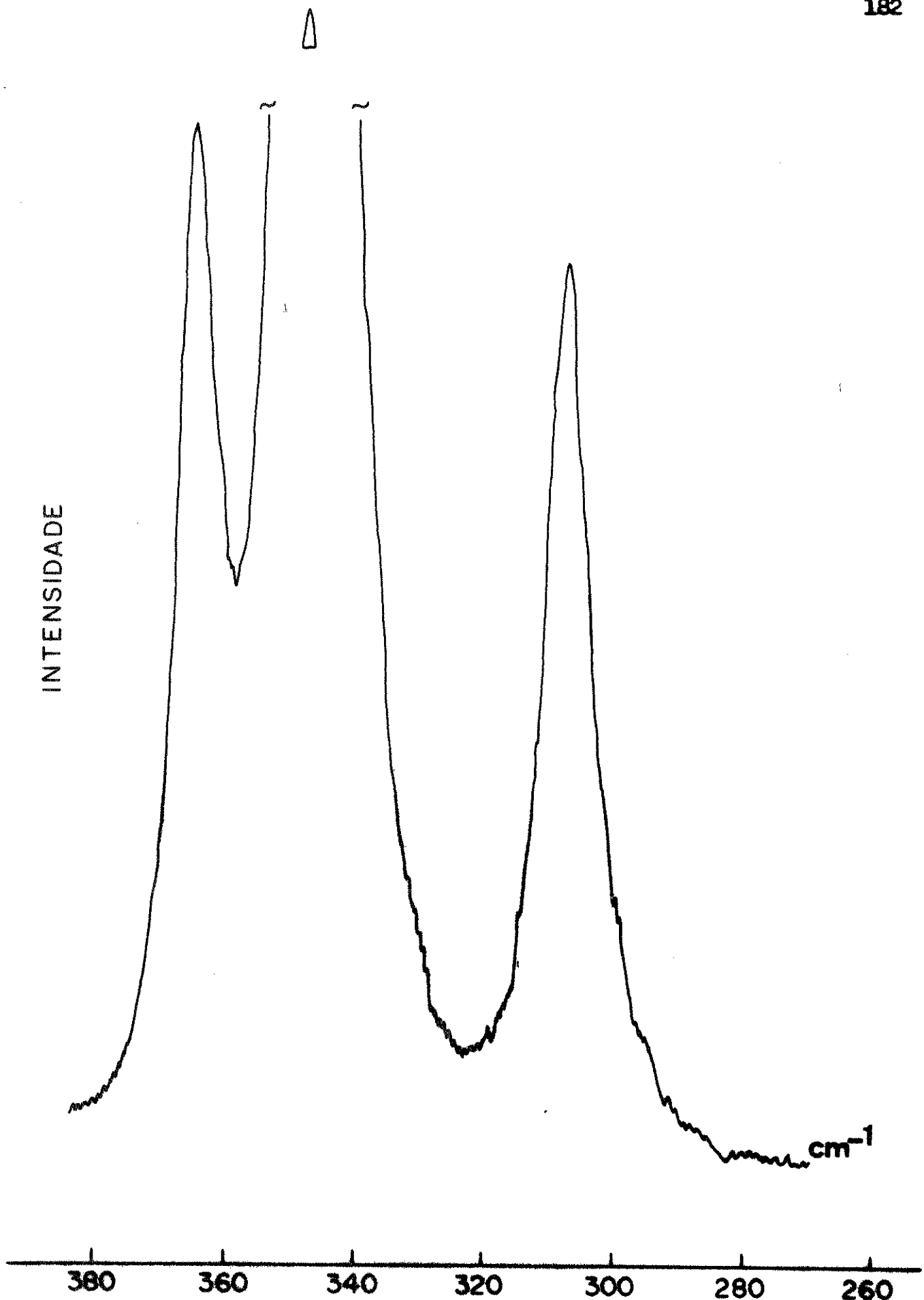


FIGURA 15  
Espectro Raman do complexo  $\text{SbCl}_5 \cdot \text{ACN}$   
Região de M-X

APÊNDICE II

Neste apêndice são apresentados os espectros infra-vermelho de alguns dos complexos preparados nesta tese, na região de 240 a 400  $\text{cm}^{-1}$ , onde temos as vibrações de estiramento antimônio-cloro. Não foram obtidos todos os espectros devido aos problemas já mencionados. Nas linhas que seguem temos a lista dos espectros.

- 
- |          |                             |
|----------|-----------------------------|
| Figura 1 | $\text{SbCl}_5\text{-DMAP}$ |
| Figura 2 | $\text{SbCl}_5\text{-HMTP}$ |
| Figura 3 | $\text{SbCl}_5\text{-TMPO}$ |
| Figura 4 | $\text{SbCl}_5\text{-TTPO}$ |
| Figura 5 | $\text{SbCl}_5\text{-DMA}$  |
| Figura 6 | $\text{SbCl}_5\text{-TMU}$  |
| Figura 7 | $\text{SbCl}_5\text{-DMF}$  |
| Figura 8 | $\text{SbCl}_5\text{-DMSO}$ |
-

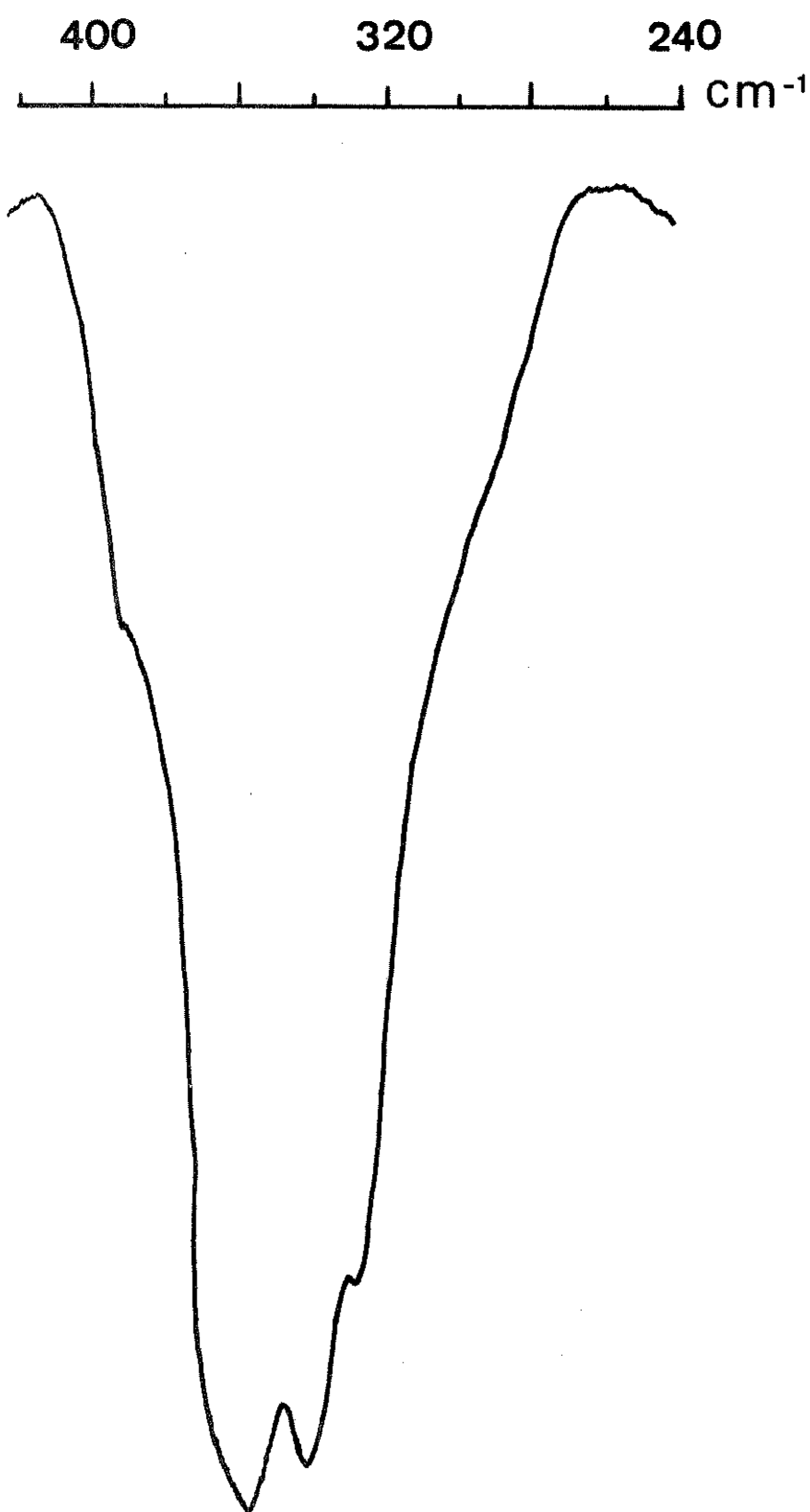


FIGURA 1  
Espectro Infra-vermelho do complexo  
 $\text{SbCl}_5 \cdot \text{DMAP}$  - Região de M-X



FIGURA 2  
Espectro Infra-vermelho do complexo  
 $\text{SbCl}_5 \cdot \text{HMP}$  - Região de M-X

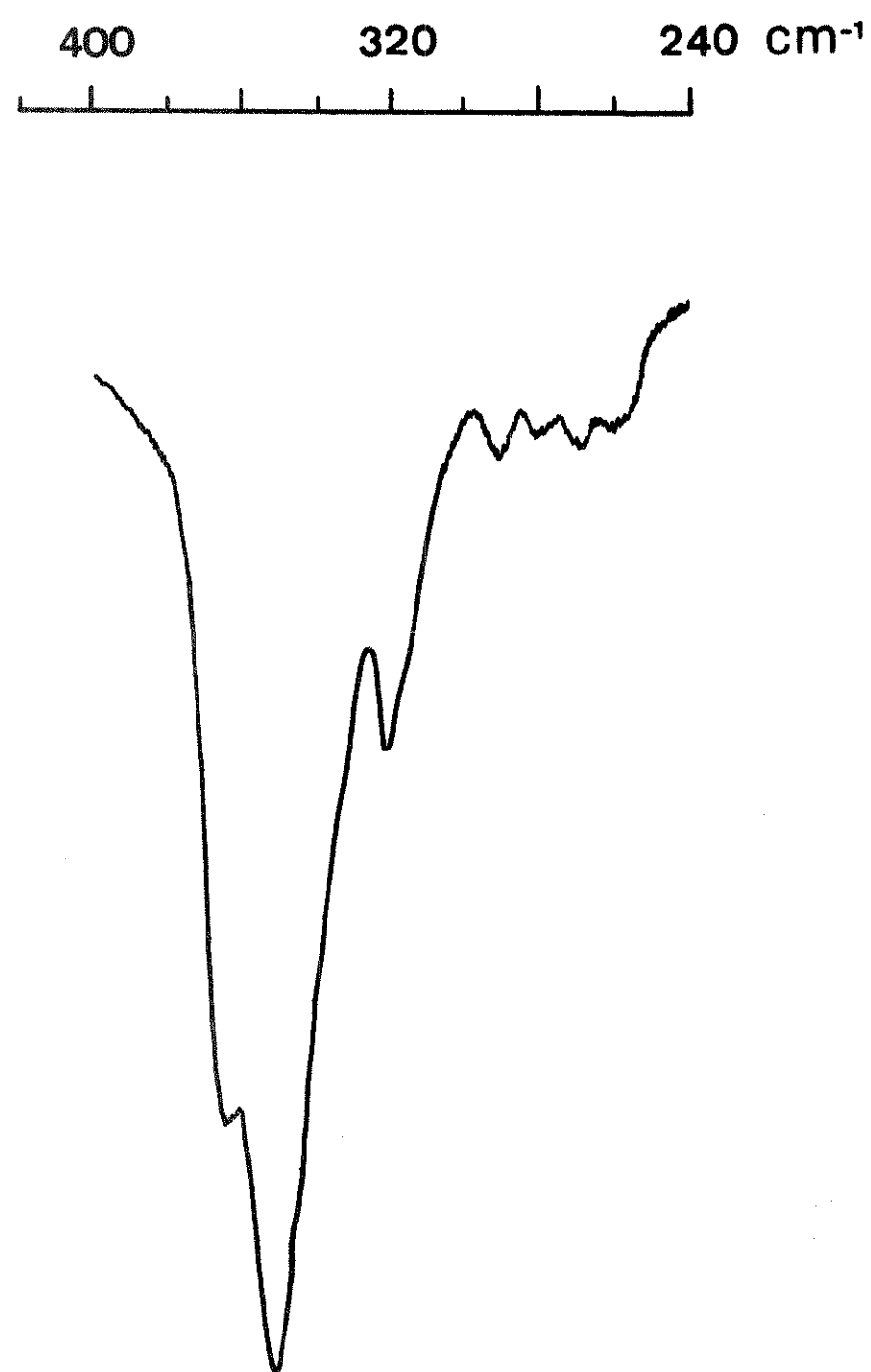


FIGURA 3  
Espectro Infra-vermelho do complexo  
 $SbCl_5 \cdot TMPO$  - Região de M-X

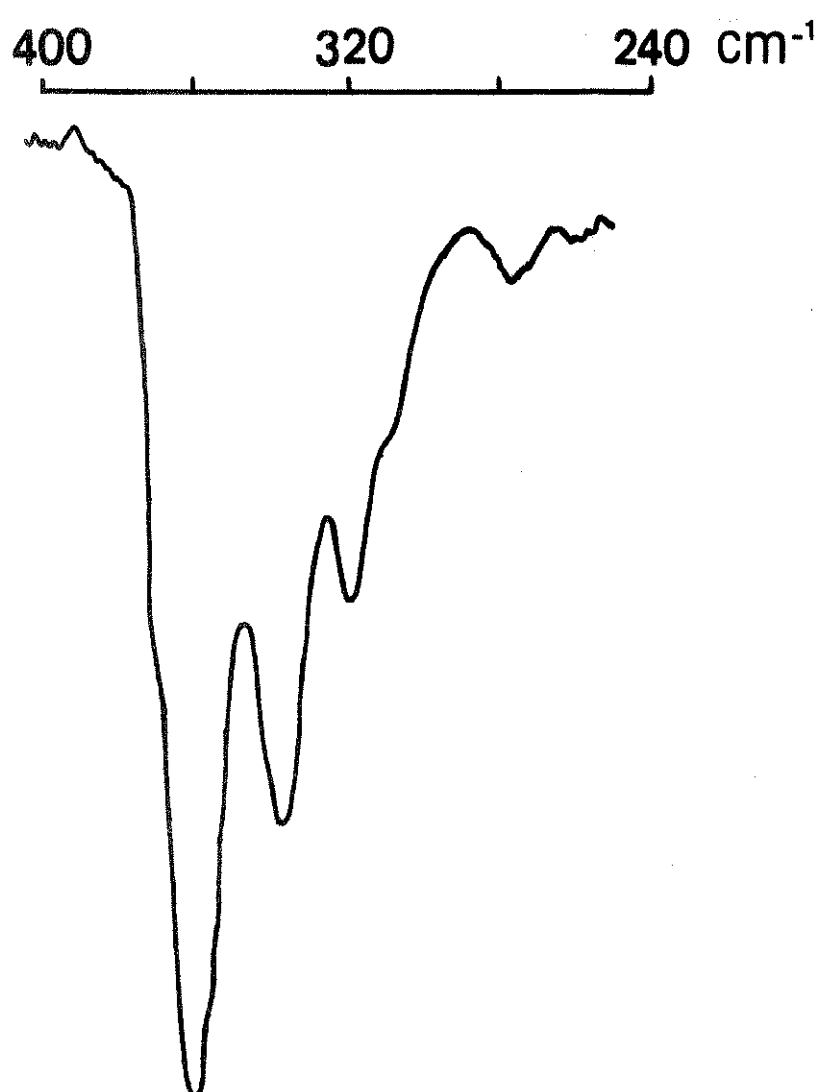


FIGURA 4  
Espectro Infra-vermelho do complexo  
 $\text{SbCl}_5 \cdot \text{TTPO}$  - Região de M-X



FIGURA 5  
Espectro Infra-vermelho do complexo  
 $\text{SbCl}_5 \cdot \text{DMA}$  - Região de M-X



FIGURA 6  
Espectro Infra-vermelho do complexo  
 $\text{SbCl}_5 \cdot \text{TMU}$  - Região de  $\text{M-X}$

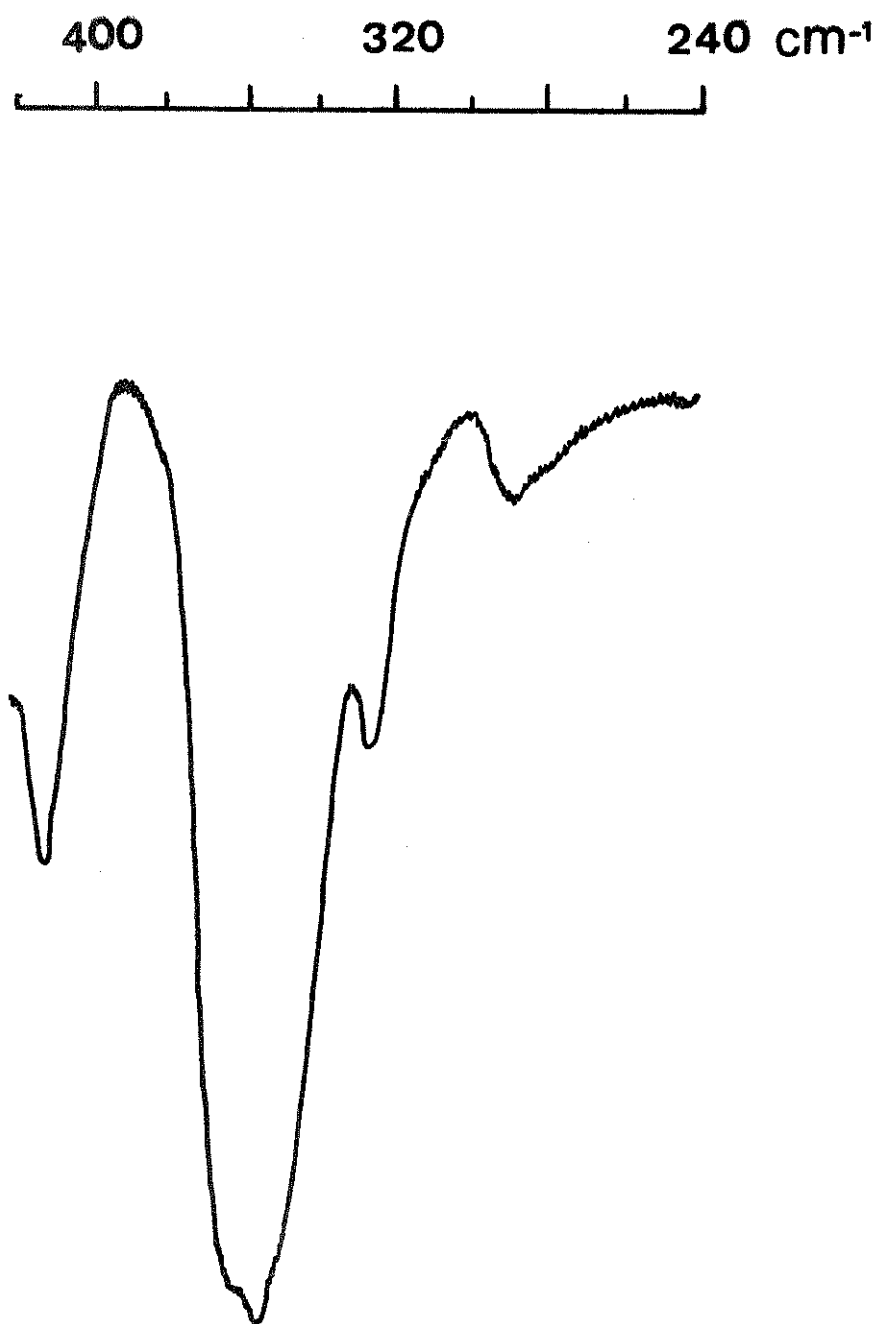


FIGURA 7  
Espectro Infra-vermelho do complexo  
 $\text{SbCl}_5 \cdot \text{DMD}$  - Região de M-X

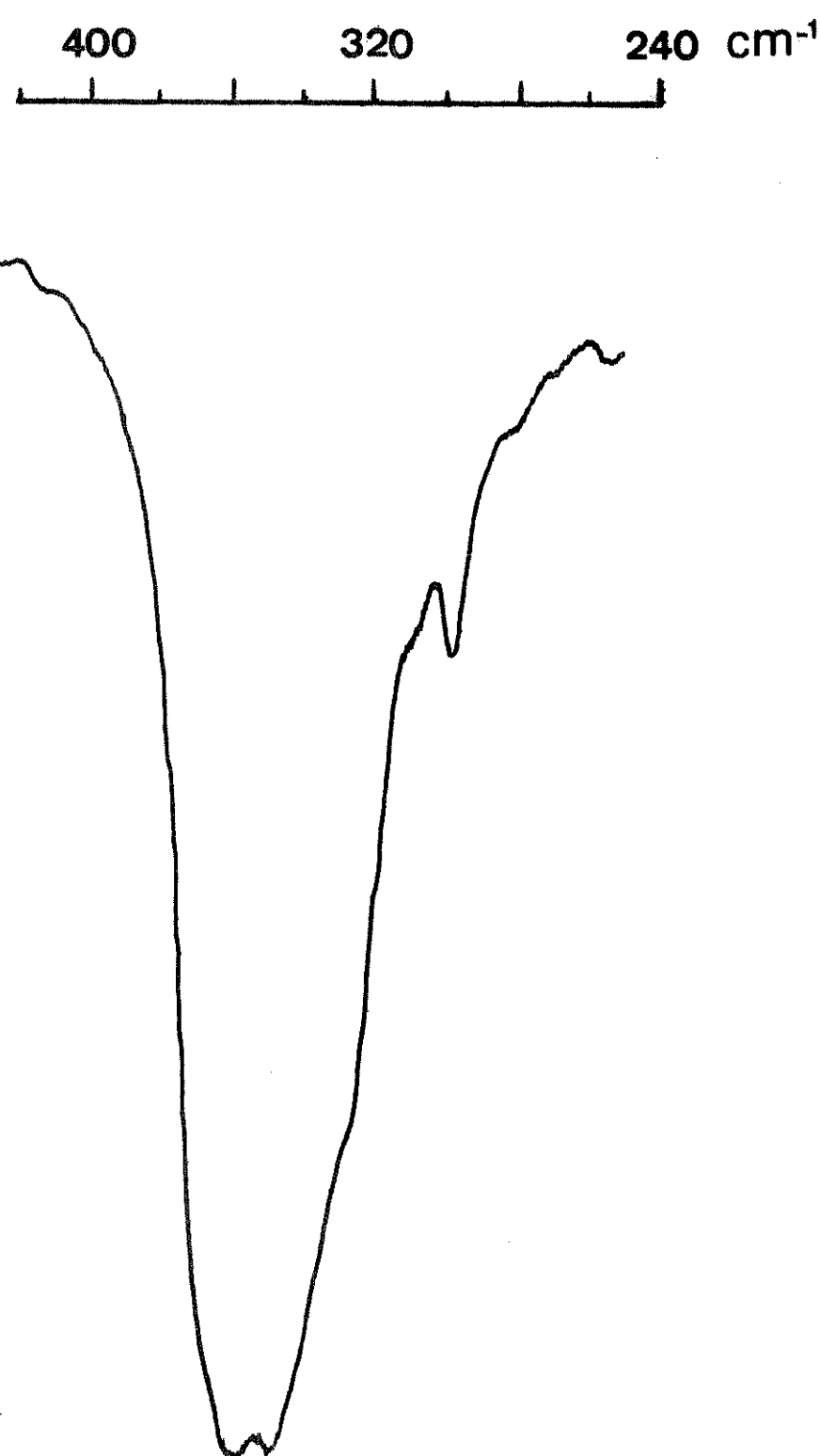


FIGURA 8  
Espectro Infra-vermelho do complexo  
 $SbCl_5 \cdot DMSO$  - Região de M-X